



TUGAS AKHIR – RC 141501

**PERENCANAAN KAPASITAS POMPA DAN PONDASI
BEBAN DINAMIS PADA RUMAH POMPA KREMBANGAN
UNTUK PROYEKSI KEBUTUHAN AIR TAHUN 2030**

GANDARJATI NUR P
NRP. 3114 105 029

Dosen Pembimbing :
Dr. Ir. Wasis Wardoyo, M.Sc.
Endah Wahyuni, ST., M.Sc., PhD

Jurusan Teknik Sipil
Fakultas Teknik Sipil dan Perencanaan
Institut Teknologi Sepuluh Nopember
Surabaya 2016



TUGAS AKHIR – RC 141501

**PERENCANAAN KAPASITAS POMPA DAN PONDASI
BEBAN DINAMIS PADA RUMAH POMPA KREMBANGAN
UNTUK PROYEKSI KEBUTUHAN AIR TAHUN 2030**

GANDARJATI NUR P
NRP. 3114 105 029

Dosen Pembimbing :
Dr. Ir. Wasis Wardoyo, M.Sc.
Endah Wahyuni, ST., M.Sc., PhD

Jurusan Teknik Sipil
Fakultas Teknik Sipil dan Perencanaan
Institut Teknologi Sepuluh Nopember
Surabaya 2016



FINAL PROJECT – RC 141501

PUMP CAPACITY PLANNING AND DYNAMIC LOADS OF FOUNDATION IN HOUSE PUMP KREMBANGAN FOR WATER REQUIREMENT PROJECTION YEAR 2030

GANDARJATI NUR P
NRP. 3114 105 029

Supervisor :
Dr. Ir. Wasis Wardoyo, M.Sc.
Endah Wahyuni, ST., M.Sc., PhD

Civil Engineering Department
Faculty of Civil Engineering and Planning
Sepuluh Nopember Institute of Technology
Surabaya 2016

LEMBAR PENGESAHAN

PERENCANAAN KAPASITAS POMPA DAN PONDASI BEBAN DINAMIS PADA RUMAH POMPA KREMBANGAN UNTUK PROYEKSI KEBUTUHAN AIR TAHUN 2030

TUGAS AKHIR

Diajukan Untuk Memenuhi Salah Satu Syarat
Memperoleh Gelar Sarjana Teknik
Pada

Program Studi Sarjana Lintas Jurusan Teknik Sipil
Fakultas Teknik Sipil dan Perencanaan
Institut Teknologi Sepuluh Nopember
Surabaya

Oleh :

GANDARJATI NUR PRAMARTHA
NRP 3114 105 029

Disetujui oleh Tim Pengawas Tugas Akhir :

1. Dr.Ir. Wasis Waridovo, M.Sc.
NIP 196109271987011001
2. Endah Wahyuni, ST., M.Si., PhD
NIP 197002011995122001

SURABAYA, JULI 2016

PERENCANAAN KAPASITAS POMPA DAN PONDASI BEBAN DINAMIS PADA RUMAH POMPA KREMBANGAN UNTUK PROYEKSI KEBUTUHAN AIR TAHUN 2030

**Nama Mahasiswa : Gandarjati Nur Pramartha
NRP : 3114 105 029
Jurusan : Teknik Sipil
Pembimbing : 1. Dr. Ir. Wasis Wardoyo, M.Sc.
2. Endah Wahyuni, ST, MSc, PhD**

Abstrak :

Perusahaan Daerah Air Minum (PDAM) Surya Sembada Kota Surabaya memasok kebutuhan air bersih hampir di seluruh Kota Surabaya. Seiring dengan pertumbuhan penduduk di seluruh wilayah, hal ini mengakibatkan juga pertumbuhan pelanggan pada daerah layanan. Melayani 95% dari penduduk surabaya juga menjadi target rencana perusahaan PDAM Surabaya. Semakin banyaknya pelanggan mengakibatkan kurangnya kapasitas reservoir dan efektifitas pompa yang harus menyalurkan air bersih kepada seluruh pelanggan. Diperlukan pengembangan pada rumah pompa baik dalam segi kuantitas dengan menambah kapasitas reservoir, ataupun kualitas dengan menambah pompa guna mengatasi masalah debit kebutuhan yang diperlukan. Oleh karena itu perlu direncanakan pertambahan kebutuhan air pelanggan, kebutuhan pompa dan pondasi beban dinamis dari pompa yang akan di kerjakan pada Tugas Akhir ini.

Pengerjaan Tugas Akhir ini dilakukan dengan metode statistika untuk menghitung proyeksi jumlah penduduk. Setelah itu digunakan acuan Petunjuk Teknis Perencanaan Penyediaan Air Minum DPU Cipta Karya untuk menghitung debit kebutuhan. Butuh analisa tentang koefisien pemakaian air bersih oleh pelanggan dalam periode waktu tertentu

melalui data debit pemakaian dari PDAM Surabaya. Setelah didapatkan kebutuhan debit dan periode pemakaian maka dapat dihitung kapasitas reservoir serta kebutuhan pompa. Setelah itu baru direncanakan dimensi reservoir sesuai lahan yang tersedia. Dan yang terakhir akan direncanakan pondasi beban dinamis pompa yang dibutuhkan.

Dari hasil Tugas Akhir ini diketahui berapa kebutuhan air bersih untuk pertambahan pelanggan sesuai target PDAM yaitu 95% pada proyeksi penduduk tahun 2030, kapasitas reservoir yang dibutuhkan, dimensi reservoir sesuai lahan yang ada, kebutuhan pompa untuk mendistribusikan kepada pelanggan, serta pondasi dinamis yang aman untuk menahan kebutuhan pompa.

Kata Kunci : pompa, pondasi beban dinamis

PUMP CAPACITY PLANNING AND DYNAMIC LOADS OF FOUNDATION IN HOUSE KREMBANGAN PUMP FOR WATER REQUIREMENT PROJECTION YEAR 2030

**Name of Student : Gandarjati Nur Pramartha
NRP : 3114 105 029
Department : Civil Engineering
Supervisor : 1. Dr. Ir. Wasis Wardoyo, M.Sc.
2. Endah Wahyuni, ST, MSc, PhD**

Abstract :

Perusahaan Daerah Air Minum (PDAM) Surya Sembada Surabaya supply clean water to almost all the city of Surabaya. Along with population growth throughout the region, it also resulted in subscriber growth in the service area. Serving 95% of the population of Surabaya also plan target company PDAM Surabaya. Increasing number of customers resulting in a lack of reservoir capacity and effectiveness of the pump should deliver clean water to all customers. Required the development of the pump housing both in terms of quantity by increasing the capacity of the reservoir, or the quality by increasing the pump discharge in order to overcome the problem of the necessary requirements. Therefore, it is necessary to plan the increase of the water needs of customers, the need for pumps and foundation dynamic load of the pump that will be done in this final project.

The execution of this final project is done with statistical methods to calculate population projections. After it is used benchmark Technical Guidelines for Drinking Water Supply Planning Human Settlements DPU to calculate the discharge requirements. Need analysis of the coefficients of clean water usage by customers in a certain period of time through the use of flow data from PDAM Surabaya. Having obtained the discharge needs and usage period are used to

determine the capacity of the reservoir as well as the need for pumps. After the planned new dimension corresponding reservoir of available land. And the last one planned foundation dynamic load pumps needed.

From the results of this final project known how much water needs to gain customers on target PDAM ie 95% on the projected population in 2030, the capacity of the reservoir is needed, dimension of reservoir suitable land available, the pump needs to distribute to customers, as well as the foundation of dynamic safety to resist the need for pumps.

Keywords: pump, foundation dynamic load

DAFTAR ISI

HALAMAN JUDUL

| | |
|--|-------------|
| HALAMAN PENGESAHAN | i |
| ABSTRAK..... | iii |
| KATA PENGANTAR | vii |
| DAFTAR ISI..... | ix |
| DAFTAR TABEL..... | xiii |
| DAFTAR GAMBAR..... | xv |
| BAB 1 PENDAHULUAN..... | 1 |
| 1.1 Latar Belakang..... | 1 |
| 1.2 Perumusan Masalah..... | 4 |
| 1.3 Batasan Masalah..... | 5 |
| 1.4 Tujuan..... | 5 |
| 1.5 Manfaat..... | 5 |
| BAB 2 TINJAUAN PUSTAKA | 7 |
| 2.1 Umum..... | 7 |
| 2.2 Periode Perencanaan..... | 7 |
| 2.3 Proyeksi Jumlah Penduduk..... | 8 |
| 2.3.1 Metode Linier | 8 |
| 2.3.1 Metode Bunga Berganda | 8 |
| 2.3.1 Metode Regresi Linier | 9 |
| 2.4 Kebutuhan Air | 10 |
| 2.4.1 Populasi | 10 |
| 2.4.2 Kebiasaan dan Cara Hidup | 11 |
| 2.4.3 Industri..... | 11 |
| 2.4.4 Kebutuhan Domestik | 11 |
| 2.4.5 Kebutuhan Non Domestik | 11 |
| 2.5 Beban Dinamis | 12 |
| 2.6 Metode Analisis Akibat Beban Dinamis | 12 |
| 2.6.1 <i>Linier Elastic Weightless Spring Method</i> | 12 |

| | | |
|--|--|----|
| 2.6.2 | Metode Elastis <i>Half-Space</i> | 13 |
| 2.6.3 | Metode <i>Lumped Parameter System</i> | 13 |
| 2.7 | Teori Getaran..... | 14 |
| 2.7.1 | Getaran Bebas (<i>Transient</i>)..... | 15 |
| 2.7.2 | <i>Forced Vibration</i> | 18 |
| 2.8 | Persyaratan Pondasi Mesin | 22 |
| 2.9 | Pondasi Mesin Untuk Beban Dinamis | 27 |
| 2.9.1 | Pondasi Dangkal | 27 |
| 2.9.2 | Pondasi Dalam..... | 29 |
| 2.9.3 | Derajat Kebebasan Pondasi | 29 |
| BAB 3 METODOLOGI..... | 31 | |
| 3.1 | Umum..... | 32 |
| 3.2 | Studi Literatur..... | 32 |
| 3.3 | Pengumpulan Data..... | 32 |
| 3.4 | Proyeksi Jumlah Penduduk..... | 33 |
| 3.5 | Perhitungan Debit..... | 33 |
| 3.6 | Analisa Fluktuasi Pemakaian..... | 33 |
| 3.7 | Perhitungan Volume Reservoir | 33 |
| 3.8 | Perencanaan Pompa..... | 33 |
| 3.9 | Perhitungan Pondasi Beban Dinamis Pompa | 34 |
| 3.10 | Penyusunan Laporan | 34 |
| BAB 4 PERENCANAAN KAPASITAS POMPA | 35 | |
| 4.1 | Konsep Umum..... | 35 |
| 4.2 | Prediksi Jumlah Penduduk Tahun 2030 | 37 |
| 4.2.1 | Jumlah Penduduk Wilayah Pelayanan | 38 |
| 4.2.2 | Analisa Metode Linier | 38 |
| 4.2.3 | Analisa Metode Bunga Berganda | 39 |
| 4.2.4 | Analisa Metode Regresi Linier..... | 40 |
| 4.3 | Perhitungan Kebutuhan Air Bersih..... | 43 |
| 4.4 | Fluktuasi Pemakaian Air | 46 |
| 4.5 | Volume Reservoir dan Debit Kebutuhan Air | 57 |
| 4.6 | Perhitungan Kebutuhan Pompa | 64 |

| | | |
|---|---|-----|
| 5.7 | Desain Reservoir | 65 |
| BAB 5 PERENCANAAN PONDASI DINAMIS POMPA..... | 69 | |
| 5.1 | Data Perencanaan | 69 |
| 5.1.1 | Data Pompa yang Digunakan | 69 |
| 5.2.2 | Data Perencanaan Pilecap | 70 |
| 5.2.3 | Data Perencanaan Pondasi Tiang Pancang..... | 71 |
| 5.2 | Pembebanan..... | 71 |
| 5.2.1 | Beban Mati | 71 |
| 5.2.2 | Beban Hidup | 72 |
| 5.3 | Dimensi Pilecap..... | 72 |
| 5.4 | Analisa Statis Pondasi Tiang Pancang..... | 73 |
| 5.4.1 | Daya Dukung Satu Tiang..... | 73 |
| 5.4.2 | Daya Dukung Ijin Tanah | 75 |
| 5.4.3 | Perencanaan Pondasi | 76 |
| 5.4.4 | Daya Dukung Tiang Kelompok..... | 78 |
| 5.5 | Modulus Geser..... | 79 |
| 5.6 | Analisa Dinamis Pondasi..... | 81 |
| 5.6.1 | Analisa Vertikal | 82 |
| 5.6.2 | Analisa Horizontal | 89 |
| 5.6.3 | Analisa Rocking | 99 |
| 5.7 | Perencanaan Poer..... | 99 |
| 5.8 | Kontrol Geser Ponds Poer | 99 |
| 5.9 | Perhitungan Penulangan Poer..... | 101 |
| 5.9.1 | Penulangan Arah X..... | 102 |
| 5.9.2 | Penulangan Arah Y..... | 104 |
| BAB 6 KESIMPULAN DAN SARAN | 107 | |
| 6.1 | Kesimpulan..... | 107 |
| 6.2 | Saran | 108 |

| | |
|---|-----|
| DAFTAR PUSTAKA..... | 109 |
| LAMPIRAN A DATA POMPA | 0 |
| LAMPIRAN B DATA PENDUDUK..... | 0 |
| LAMPIRAN C DATA TANAH | 0 |
| LAMPIRAN D DATA SPEK TIANG PANCANG..... | 0 |

DAFTAR TABEL

| | | |
|------------|--|----|
| Tabel 2.1 | Standar Perencanaan Pelayanan Kebutuhan Air..... | 10 |
| Tabel 2.2 | Faktor Layan | 26 |
| Tabel 2.3 | Batasan Kriteria Desain Pondasi Mesin..... | 26 |
| Tabel 4.1 | Jumlah Penduduk per Kecamatan Tahun 2010-2014 pada Wilayah Pelayanan..... | 38 |
| Tabel 4.2 | Perhitungan dengan Metode Linier..... | 39 |
| Tabel 4.3 | Perhitungan dengan Metode Bunga Berganda..... | 40 |
| Tabel 4.4 | Perhitungan dengan Metode Regresi Linier | 41 |
| Tabel 4.5 | Perhitungan dengan Metode Regresi Linier (Lanjutan) | 41 |
| Tabel 4.6 | Rekapitulasi Proyeksi Jumlah Penduduk Tahun 2030 | 42 |
| Tabel 4.7 | Standar Perencanaan Kebutuhan Air | 43 |
| Tabel 4.8 | Perhitungan Kebutuhan Air Wilayah Pelayanan | 44 |
| Tabel 4.9 | Perhitungan Koefisien Pemakaian Air di Kenjeran Wilayah Non Domestik (Industri)..... | 46 |
| Tabel 4.10 | Perhitungan Koefisien Pemakaian Air di Semampir Wilayah Domestik (Pemukiman) | 49 |
| Tabel 4.11 | Total Debit Kebutuhan (Outflow)..... | 54 |
| Tabel 4.12 | Mencari Volume Reservoir cara 1 | 57 |
| Tabel 4.13 | Mencari Volume Reservoir cara 2 | 61 |
| Tabel 4.14 | Jumlah dan Debit Pompa pada Sistem Transmisi Air Minum | 65 |
| Tabel 5.1 | Data Conus Tanah..... | 74 |
| Tabel 5.2 | Korelasi IP dengan nilai k..... | 80 |
| Tabel 5.3 | Perhitungan Tegangan Efektif Pondasi..... | 80 |
| Tabel 5.4 | <i>Boussinesq</i> (Tegangan minimum) Pondasi | 80 |
| Tabel 5.5 | Perhitungan $\Sigma \alpha_a$ | 84 |

| | | |
|-----------|---|----|
| Tabel 5.6 | <i>Frequency Independent Constants for Embedded Pile Cap with Side Resistance.....</i> | 86 |
| Tabel 5.7 | Parameter untuk getaran lateral dan rocking dengan $l/r_o > 25$ untuk tanah homogen | 93 |

DAFTAR GAMBAR

| | | |
|-------------|---|----|
| Gambar 1.1 | Daerah Layanan Distribusi RP. Krembangan | 1 |
| Gambar 1.2 | Cakupan Wilayah Pelayanan RP. Krembangan | 2 |
| Gambar 1.3 | Fluktuasi Pemakaian Air Bersih..... | 3 |
| Gambar 2.1 | Model <i>Lumped Parameter System</i> | 14 |
| Gambar 2.2 | Kurva getaran harmonik | 14 |
| Gambar 2.3 | Pemodelan sistem massa, pegas, redaman | 15 |
| Gambar 2.4 | Getaran bebas dengan <i>viscous damping</i> | 17 |
| Gambar 2.5 | Diagram vektor gaya, massa, pegas dan redaman | 18 |
| Gambar 2.6 | Plot pembesaran dinamis $M=X_{ok}/F_o$ vs. frequensi ratio r untuk getaran vertikal konstan | 20 |
| Gambar 2.7 | Plot M_{xo}/m_e vs. frequensi r untuk <i>rotating unbalance</i> | 21 |
| Gambar 2.8 | Batasan amplitudo vertikal..... | 23 |
| Gambar 2.9 | Batasan percepatan amplitudo..... | 24 |
| Gambar 2.10 | Respon spektrum untuk limit getaran..... | 25 |
| Gambar 2.11 | Fondasi Mesin Tipe Mat Slab | 27 |
| Gambar 2.12 | Pondasi Mesin Tipe Portal | 28 |
| Gambar 2.13 | Pondasi Mesin Tipe Blok | 28 |
| Gambar 2.14 | Derajat Kebebasan Mesin Tipe Blok | 29 |
| Gambar 3.1 | Diagram Alir Penyelesaian Tugas Akhir | 31 |
| Gambar 4.1 | Peta Layanan Distribusi RP. Krembangan | 35 |
| Gambar 4.2 | Daerah Layanan Distribusi Rumah Pompa Krembangan Pada Peta Pembagian Kecamatan Kota Surabaya | 36 |
| Gambar 4.3 | Sistem Distribusi dari Instalasi ke Rumah Pompa Krembangan | 37 |
| Gambar 4.4 | Grafik Fluktuasi Pemakaian Kebutuhan Non Domestik dan Domestik | 53 |
| Gambar 4.5 | Diagram Perhitungan Volume Reservoir dengan cara Debit Konstan. | 60 |

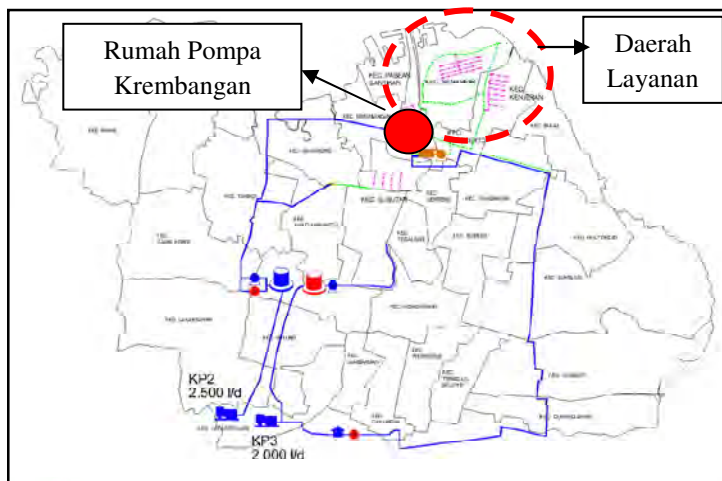
| | | |
|-------------|--|-----|
| Gambar 4.6 | Diagram Perhitungan Volume Reservoir dengan cara Debit Komulatif | 64 |
| Gambar 4.7 | Layout Rumah Pompa Kremlangan | 66 |
| Gambar 4.8 | Tambak Samping | 67 |
| Gambar 4.9 | Tampak Atas | 67 |
| Gambar 4.10 | Denah Tata Letak Reservoir Baro..... | 67 |
| Gambar 5.1 | Dimensi Pompa | 69 |
| Gambar 5.2 | Dimensi Pilecap | 70 |
| Gambar 5.3 | Rencana Pondasi | 77 |
| Gambar 5.4 | Rencana Perletakan Pondasi..... | 78 |
| Gambar 5.5 | Grafik <i>Stiffness and damping factors</i> | 82 |
| Gambar 5.6 | Rencana Pondasi Pile No.2 Sebagai Acuan | 83 |
| Gambar 5.7 | Grafik α_a as a function of pile lenght and spacing | 83 |
| Gambar 5.8 | Grafik Cek Syarat Keadaan Mesin dari Faktor Frekuensi dengan Amplitudo | 87 |
| Gambar 5.9 | Grafik Cek Syarat Keadaan Mesin dari Faktor Frekuensi dengan Kecepatan..... | 88 |
| Gambar 5.10 | Perencanaan Geser Ponds..... | 100 |
| Gambar 5.11 | Pembebatan Penulangan Arah X | 102 |
| Gambar 5.12 | Pembebatan Penulangan Arah Y | 104 |
| Gambar 5.13 | Hasil Penulangan Pondasi | 106 |

BAB I

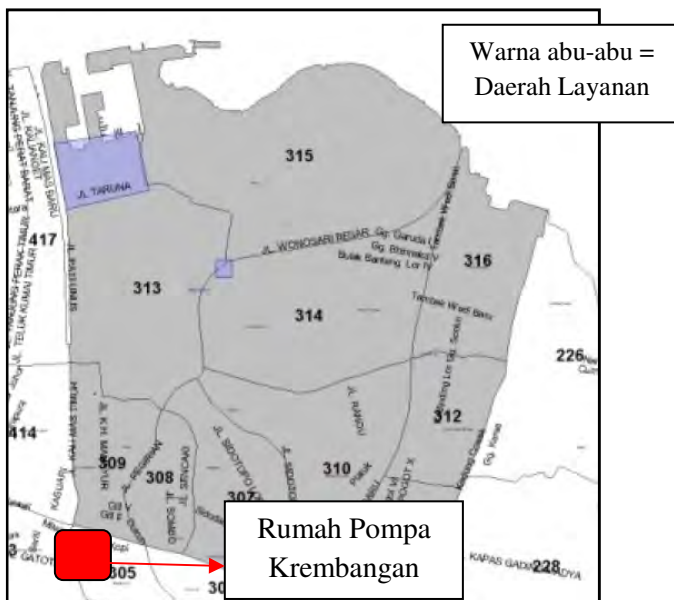
PENDAHULUAN

1.1 Latar Belakang

Seiring waktu pertumbuhan penduduk menjadi masalah yang harus diperhatikan. Hal tersebut menyebabkan masalah lain, salah satunya bertambahnya kebutuhan air bersih penduduk. PDAM Kota Surabaya yang melayani pasokan air bersih di hampir seluruh Surabaya harus mengembangkan kapasitas reservoir dan rumah pompanya. Banyak peningkatan pelanggan PDAM tiap tahunnya salah satunya pada Rumah Pompa di Kecamatan Kremlangan. Rumah Pompa di Kremlangan sendiri mendapat pasokan air bersih dari Instalasi Karang Pilang 2 (KP2) dan Karang Pilang 3 (KP3). Dari Rumah Pompa Kremlangan air bersih disalurkan kepada pelanggan wilayah pelayanan sekitarnya. Skema penyaluran air bersih dan cakupan wilayah pelayanan untuk wilayah Kremlangan dapat dilihat pada gambar 1.1 dan 1.2 berikut.



Gambar 1.1 Daerah Layanan Distribusi RP. Kremlangan
(Sumber: PDAM Surabaya, 2015)

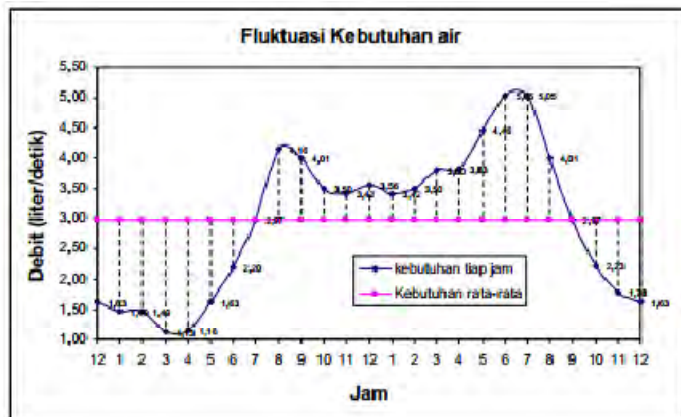


Gambar 1.2 Cakupan Wilayah Pelayanan RP. Krembangan
(Sumber: PDAM Surabaya, 2015)

Peningkatan permintaan pasokan air bersih terjadi baik dari warga maupun instansi swasta dan pemerintah. Peningkatan ini masih akan terus berlanjut karena masih terdapat lahan kosong untuk pembangunan perumahan dan perindustrian. Seiring dengan hal tersebut menyebabkan *supply* dan *demand* pada Rumah Pompa di Kecamatan Krempangan tidak seimbang yang dapat mengakibatkan masalah kedepannya. Hal ini akan berakibat pada pandangan masyarakat kepada pelayanan PDAM Surabaya yang dianggap kurang.

Reservoir sebagai salah satu bagian unit sistem penyediaan air minum (SPAM) mempunyai fungsi sebagai pengendali sistem supply pelayanan distribusi dimana mempunyai fluktuasi selama 24 jam, terjadi pemakaian minimum saat dimalam hari dan tengah hari sedangkan pada pagi hari dan sore hari terjadi pemakaian maximum. Dengan demikian

reservoir dapat menampung pada saat kebutuhan distribusi di bawah dari kapasitas produksi dan akan mensupply pada kebutuhan puncak di atas kapasitas produksi. Salah satu contoh fluktuasi pemakaian air dapat dilihat pada gambar 1.3 berikut.



Gambar 1.3 Fluktuasi Pemakaian Air Bersih
(Sumber: PDAM Surabaya, 2015)

Reservoir dan Rumah Pompa adalah satu kesatuan guna menstabilkan debit. Butuh perencanaan tersendiri untuk pompa terkait dari kapasitas reservoir dan debit yang keluar dari rumah pompa.

Pompa terbagi atas 2 kelompok besar yaitu pompa sentrifugal dan pompa aksial. Dari 2 kelompok tersebut masih dibagi lagi menurut kapasitas dan kegunaannya. Pompa yang banyak dipakai terutama di bidang perindustrian adalah pompa sentrifugal.

Pompa bekerja menghasilkan getaran pada daerah di sekitarnya. Untuk menanggulangi kerusakan akibat getaran yang dihasilkan pompa ini, maka diperlukan perencanaan khusus pada pondasinya. Pondasi yang menopang mesin pompa ini akan dipengaruhi oleh getaran yang disebabkan gaya dinamis dan juga oleh beban statis yang terjadi saat mesin bekerja. Getaran yang

berlebihan dan secara terus menerus akan menyebabkan mesin pompa rusak dan berefek negatif pada pondasi juga orang yang bekerja di dekat mesin pompa tersebut. Diperlukan perhatian khusus dalam perencanaan pondasi untuk pompa ini karena efek dari beban dinamis pompa.

1.2 Perumusan Masalah

Permasalahan yang dikemukakan dalam penelitian ini adalah:

1. Berapa kebutuhan air bersih prediksi pada proyeksi jumlah penduduk tahun 2030 untuk wilayah pelayanan pada Rumah Pompa Kremlangan yang harus dipenuhi?
2. Berapakah kapasitas reservoir baru yang harus dibangun untuk dapat memenuhi kebutuhan yang harus dipenuhi?
3. Bagaimana dimensi reservoir baru dengan keterbatasan lahan yang ada?
4. Bagaimana spesifikasi pompa yang harus direncanakan?
5. Bagaimana merencanakan pondasi dinamis pompa?

1.3 Batasan Masalah

Pada Penelitian ini pembahasan menggunakan beberapa batasan sebagai berikut:

1. Kualitas air bersih yang dialirkan tidak ditinjau.
2. Jaringan perpipaan pada pelanggan tidak dihitung.
3. Penentuan Spesifikasi Pompa yang dipakai pabrikan dari merk yang sering dipakai oleh PDAM Surya Sembada Kota Surabaya.
4. Tidak menghitung struktur reservoir.
5. Tidak menghitung RAB.

1.4 Tujuan

Tujuan dari Tugas Akhir ini adalah:

1. Menghitung kebutuhan rencana air bersih wilayah pelayanan Rumah Pompa Kremlangan proyeksi penduduk tahun 2030.
2. Menghitung kapasitas reservoir.
3. Merencanakan kebutuhan pompa yang diperlukan rumah pompa.
4. Merencanakan dimensi reservoir baru.
5. Merencanakan desain pondasi beban dinamis pompa.

1.5 Manfaat

Manfaat dari penelitian ini adalah:

1. Dapat merencanakan pengembangan reservoir dan rumah pompa untuk kedepannya.
2. Menjadi acuan dalam pengembangan reservoir dan rumah pompa PDAM Surya Sembada Kota Surabaya.

“Halaman ini sengaja dikosongkan”

BAB II

TINJAUAN PUSTAKA

2.1 Umum

PDAM Surya Sembada Kota Surabaya mempunyai rencana untuk terus meningkatkan pelayanan dalam memenuhi kebutuhan air bersih kepada seluruh pelanggannya. Berbagai macam peningkatan dilakukan. Baik dalam hal peningkatan kualitas dari air bersih itu sendiri maupun kuantitas dalam bentuk peningkatan volume untuk melayani pertambahan pelanggan setiap tahunnya. Peningkatan volume untuk menampung air bersih dimana selanjutnya akan didistribusikan kepada pelanggan ini realisasinya adalah dengan pembangunan reservoir beserta rumah pompanya.

Dalam pembangunan reservoir dan rumah pompa ini tentu saja banyak hal yang perlu diperhatikan. Untuk menghitung jumlah kebutuhan air bersih, perlu dilakukan perhitungan jumlah dan pertumbuhan pelanggan yang dipengaruhi oleh pertumbuhan penduduk di dalamnya. Setelah diketahui kebutuhan air bersih, lalu direncanakan tumpangannya yaitu reservoir serta rumah pompa untuk mendistribusikan kepada pelanggan. Pada perencanaan rumah pompa ini hal-hal yang perlu diperhatikan adalah:

1. Periode perencanaan;
2. Pertumbuhan penduduk yang dilayani;
3. Pola pemakaian air penduduk;
4. Jenis-jenis pompa yang akan dipakai;
5. Tipe dan perhitungan pondasi untuk mesin pompanya.

2.2 Periode Perencanaan

Periode perencanaan sistem distribusi air bersih biasanya adalah 10-25 tahun. Pada perencanaan ini ditetapkan waktu periode 15 tahun dari tahun 2015-2030.

2.3 Proyeksi Jumlah Penduduk

Kebutuhan akan air bersih semakin lama akan semakin meningkat sesuai dengan emakin berkembangnya jumlah penduduk di masa yang akan datang. Proyeksi jumlah penduduk dibutuhkan untuk merencanakan atau menanggulangi peningkatan kebutuhan air bersih.

2.3.1 Metode Linier

Metode ini mengasumsikan pertumbuhan penduduk yang jumlahnya konstan dari tahun ke tahun. Model persamaannya sebagai berikut:

$$P_n = P_0 + na \quad (2.1)$$

Sumber: Permen PU No. 18/PRT/M/2007

Dimana:

P_n = Jumlah penduduk pada tahun ke-n

P_0 = Jumlah penduduk pada tahun ke dasar pengamatan

n = Tambahan tahun terhitung dari tahun dasar

a = Jumlah pertambahan penduduk tiap tahunnya.

2.3.2 Metode Bunga Berganda

Metode Bunga Berganda mengasumsikan tingkat pertumbuhan penduduk tiap tahunnya akan selalu proporsional dengan jumlah penduduk tahun sebelumnya. Ada suatu variable yang bersifat konstan, yaitu laju pertumbuhan penduduk, bukan jumlah pertumbuhan penduduk. Model persamaannya sebagai berikut:

$$P_n = P_0 (1 + r)^n \quad (2.2)$$

Sumber: Permen PU No. 18/PRT

Dimana:

P_n = Jumlah penduduk pada tahun ke n

P_0 = Jumlah penduduk pada tahun dasar pengamatan

n = Periode pengamatan

r = Persentase laju pertumbuhan tiap tahun

2.3.3 Metode Regresi Linier

Asumsi dasar penggunaan regresi linier adalah adanya korelasi yang linier antara tahun pengamatan dengan jumlah penduduk pada tahun pengamatan tersebut. Model matematisnya sebagai berikut:

$$P = a + bx \quad (2.3)$$

Sumber: Permen PU No. 18/PRT/M/2007

Dimana:

P = Jumlah penduduk pada tahun ke x

x = Tambahan tahun terhitung dari tahun dasar

a, b = Konstanta dengan rumus sebagai berikut:

$$a = \frac{\sum P \cdot \sum x^2 - \sum x \cdot \sum Px}{N \cdot \sum x^2 - (\sum x)^2}$$

$$b = \frac{N \cdot \sum Px - \sum x \cdot \sum Px}{N \cdot \sum x^2 - (\sum x)^2}$$

2.4 Kebutuhan Air

Kebutuhan air adalah jumlah dari air yang dibutuhkan oleh pengguna air. Dalam suatu kota kebutuhan air untuk pemadam kebakaran ikut dipertimbangkan walau itu bersifat tidak selalu dibutuhkan tetapi tak terduga. Kebutuhan dasar dan kehilangan air pada suatu kota bersifat fluktuatif pada kurun waktu tertentu.

Untuk perencanaan kapasitas air mengacu pada buku Rekayasa Sumber Daya Air Karya Prof. Dr,Ir. Nadjadji Anwar, MSc. Perencanaan kapasitas air disini menggunakan metode:

1. Cara pengoperasioan
2. Cara lengkung “S”.

Untuk Perencanaan kebutuhan air digunakan Standar Perencanaan Pelayanan Kebutuhan Air dari Ditjen Cipta Karya,1998 sebagai acuan. Tabel tersebut dapat dilihat pada Tabel 2.1 berikut:

Tabel 2.1 Standar Perencanaan Pelayanan Kebutuhan Air

| No. | Parameter | Kota metro >1.000.000 (Jw/a) | Kota Besar 500.000-1.000.000 (Jw/a) | Kota Selang 100.000-500.000 (Jw/a) | Kota Kecil <100.000 (Jw/a) |
|-----|--|---|---|--|----------------------------------|
| 1 | Tingkat Pelayanan (target) | 100% | 100% | 100% | 100% |
| 2 | Tingkat pemenuhan air (liter/orang-hari) | | | | |
| | Sambungan Rumah(SR) Kran Umum(KU) | 120 30 | 170 30 | 150 30 | 130 30 |
| 3 | Kebutuhan Non domestik -Industri (l/dha) | | | | |
| | Berat | 0,50-1,000 | | | 15% - 30% x Kebutuhan Domestik |
| | Sedang | 0,25-0,50 | | | |
| | Ringan | 0,1-1,0 | | | |
| | -Komersial(l/dha) | | | | |
| | Pasar | 400 | | | |
| | Hotel | 1000 | | | |
| | -Sosial & Institusi | | | | |
| | Universitas(l/Mes/hr) | 20 | | | |
| | Sekolah (l/siswa/hari) | 15 | | | |
| | Mesjid (m2/luas unit) | 1-2 | | | |
| | Rumah Sakit(l/kamar hr) | 400 | | | |
| | Puskesmas(m2/luas unit) | 1-2 | | | |
| | Eskuter(l/di/lur) | 0,01 | | | |
| | Militer (m3/hr/ha) | 10 | | | |
| 4 | Jumlah Jw/a/SR Jumlah Jw/a ITU SR : HU | 5 100 50 : 50 s/d 80 : 20 | 5 100 50 : 50 s/d 80 : 20 | 5 100 80 : 20 | 6 100-200 70 : 30 |
| 4 | Kebutuhan hari rata-rata (Qr) | Kebutuhan Domestik (D) + Non Domestik (ND) + Kehilangan Air (KA) | | | |
| 5 | Kebutuhan hari maksimum (Qmax) | Kebutuhan rata-rata x 1,15-1,20 (faktor hari maksimum) | | | |
| 6 | Kehilangan air (KA) | | | | |
| | Sistem baru | 20% x Kebutuhan rata-rata | | | |
| | Sistem lama | 30%-50% x Kebutuhan rata-rata | | | |
| 7 | Kebutuhan jml Puncak | Kebutuhan rata-rata x faktor jml puncak 1,5 - 2 | | | |

(Sumber: Ditjen Cipta Karya, 1998)

Pemakaian air adalah besarnya penggunaan air oleh pengguna air pada kurun waktu tertentu. Besarnya konsumsi air yang digunakan bisa dipengaruhi oleh faktor-faktor berikut ini:

2.4.1 Populasi

Populasi atau pertumbuhan penduduk menjadi target utama dalam pelaksanaan tugas akhir ini. Karena kapasitas pelayanan dialokasikan untuk pemenuhan kebutuhan air di masa yang akan datang, maka perlu dibuat suatu estimasi jumlah penduduk untuk waktu yang ditentukan.

2.4.2 Kebiasaan dan cara hidup

Penggunaan air pada suatu kota juga dipengaruhi oleh kebiasaan dan cara hidup masyarakat di dalamnya. Misalnya: penggunaan air untuk mandi dalam sehari bisa dua atau tiga kali tergantung kebiasaan, air untuk berwudhu untuk masyarakat muslim, cara hidup masyarakat mewah yang butuh air untuk mencuci mobil dan yang lainnya.

2.4.3 Industri

Adanya industri cenderung menaikkan kebutuhan air, baik untuk proses industri itu sendiri maupun untuk konsumsi pekerjanya. Semakin banyak jumlah industri yang ada, maka penggunaan air akan meningkat.

2.4.4 Kebutuhan Domestik

Kebutuhan dasar domestik ditentukan oleh adanya konsumen domestik, yang dapat diketahui dari data penduduk yang ada. Kebutuhan domestik antara lain: mandi, minum, memasak dan lainnya.

2.4.5 Kebutuhan Non Domestik

Kebutuhan dasar non domestik ditentukan oleh banyaknya konsumen non domestik yang meliputi:

- Kebutuhan komersial
Yaitu kebutuhan air di pusat-pusat perdagangan seperti perkantoran, hotel , pencucian barang, dan lainnya.
- Kebutuhan umum
Yaitu jumlah air yang dipakai untuk melayani kebutuhan orang banyak yang bersifat sosial. Seperti sekolah , tempat ibadah, kamar mandi umum dan lainnya.

- Kebutuhan Industri
Biasanya kebutuhan industri ini ditentukan dari luas lahan yang digunakan maupun jenis industri tersebut.
- Kebutuhan Air Untuk Pemadam Kebakaran
Kebutuhan air untuk pemadam kebakaran bervariasi tergantung area pelayanan, konstruksi bangunan yang ada, dan jenis pemakaian gedung dan diutamakan ditujukan bagia area yang rawan akan terjadinya bahaya kebakaran. Besarnya kebutuhan air untuk pemadam kebakaran ini tidak fluktuatif karena terjadinya kebakaran tidak dapat ditentukan.

2.5 Beban Dinamis

Beban yang bergetar akan mempengaruhi lingkungan di sekitarnya, baik itu manusia maupun struktur bangunan di sekitarnya. Pada suatu struktur bangunan, beban yang bergetar merupakan masalah yang perlu diperhatikan. Salah satunya yaitu getaran pada mesin pompa pada rumah pompa yang akan direncanakan pada tugas akhir ini. Getaran akibat beban mesin pada pondasi bisa diumpamakan sebagai pegas dan peredam.

2.6 Metode Analisis Akibat Beban Dinamis

Metode analisis akibat beban dinamis dapat dibedakan menjadi 3 metode yaitu;

2.6.1 Metode *Linear Elastic Weightless Spring Method*.

Tanah dianggap sebagai pegas. Redaman dimasukkan sebagai nilai yang belum dicari, walaupun redaman tidak begitu mempengaruhi terhadap frekuensi resonansi dari sistem tapi redaman memberi pengaruh yg signifikan pada amplitudo saat resonansi. Selama zona resonansi dapat dihindarkan dalam perencanaan pondasi, pengaruh redaman pada amplitudo saat frekuensi juga kecil bila dibandingkan amplitudo saat resonansi.

2.6.2 Metode Elastic Half – Space

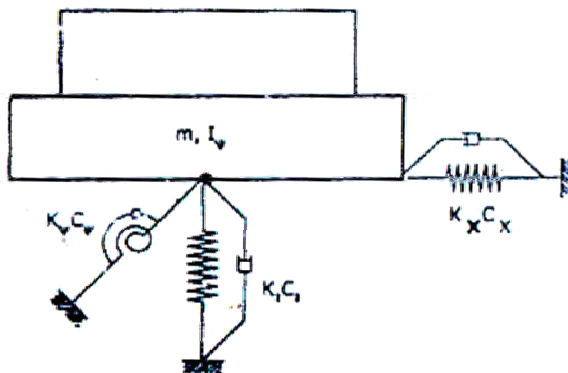
Teori elastisitas digunakan sebagai metode pendekatan, terlihat lebih rasional tetapi lebih rumit. Teori elastic half – space digunakan untuk amplitudo kecil. Dalam pemakaiannya untuk efek penanaman, kerusakan tanah yang terjadi akibat penggalian dan penimbunan, banyak massa tanah yang turut menyebabkan getaran dan ketidaklinearan dari tanah yang akan membuat perhitungan makin rumit. Teori ini menganggap pondasi sebagai homogen isotropik.

2.6.3 Metode Lumped Parameter System.

Metode Lumped Parameter System adalah pengembangan dari teori Elastic Half – Space dan harga suatu parameter didapatkan dengan cara tersebut. Teori Lumped Parameter System adalah sistem yang digunakan untuk memperkuat blok pondasi dengan menggunakan massa, pegas dan dashpot. Sistem ini menerapkan semua komponen massa, pegas dan redaman. Metode ini dikembangkan oleh Lysmer dan Richart (1966) yang bersumber dari “*Dynamic Boussinesq Problems*”. Metode ini dikembangkan untuk pondasi lingkaran dengan radius r_0 dengan kondisi pondasi berada diatas tanah. Teori Lumped Parameter System, respon dinamis tanah terhadap pondasi dan beban dinamis dapat dimodelkan sebagai berikut;

- a) Pegas / spring dengan harga kekakuan “ k ”.
- b) Dashpot / damping / redaman dengan harga koefisien damping “ c ”.

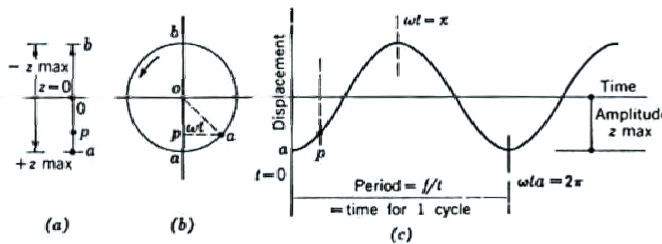
Model pegas dan damping dapat dimodelkan secara vertikal, horizontal, torsional maupun rocking. Berikut adalah permodelan sistem pondasi mesin dan tanah pada metode Lumped Parameter System.



**Gambar 2.1 Model Lumped Parameter System
(Wood, 1970)**

2.7 Teori Getaran

Getaran harmonik adalah perpindahan bolak balik suatu titik dalam suatu garis sedemikian rupa sehingga percepatan dari titik tersebut proporsional terhadap jarak dari suatu posisi setimbang dan selalu mengarah menuju posisi setimbang tersebut (Arya, 1981). Sesuai gambar dibawah ini.



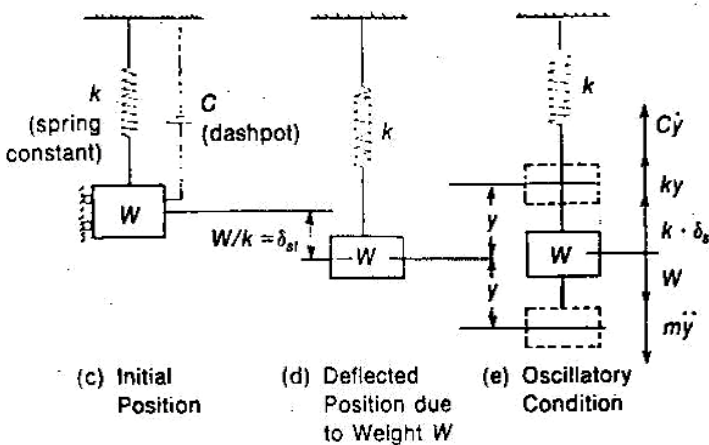
Ways of representing motion of weight... (a) Actual path of p moving in simple harmonic motion; (b) p determined from projection of equivalent circular motion of ω_0 ; (c) time-displacement curve for motion of p .

**Gambar 2.2 Kurva getaran harmonik
(Bowles, 1977)**

Jika suatu sistem massa-pegas oleh suatu gaya eksternal sehingga mengalami getaran harmonik, kemudian gaya tersebut dihilangkan maka sistem akan bergetar secara harmonik terus menerus dengan amplitudo dan frekuensi getaran yang sama. Getaran tersebut akan berkurang sedikit demi sedikit hingga berhenti bila pada sistem tersebut terdapat peredam.

2.7.1 Getaran Bebas (*Transient*)

Getaran bebas atau *transient vibration* adalah getaran tanpa gaya eksternal. Jika terdapat unsur peredam pada getaran ini, maka akan hilang perlambatan seiring berjalanannya waktu. Pernyataan tersebut sesuai gambar dibawah ini:



**Gambar 2.3 Pemodelan sistem massa, pegas, redaman
(Arya, 1981)**

Permodelan diatas menggambarkan W adalah berat sistem yang bergetar, k adalah koefisien pegas sedangkan c adalah koefisien redaman atau damping. Akibat berat W pegas mengalami peregangan sebesar $\delta_{st} = W/k$. Pada awalnya sistem berada pada posisi statis dengan berat W diimbangi dengan gaya pegas $k\delta_{st}$, kemudian sistem digetarkan dan bergetar bebas dengan amplitudo $\pm y$. getaran ini menimbulkan daya yang bekerja

pada sistem yaitu reaksi pegas k ($y + \delta_{st}$), reaksi peredam cy dan gaya inersia my. Sehingga muncul persamaan baru:

$$my + cy + k(y + \delta_{st}) = W \quad (2.4)$$

karena $k\delta_{st} = W$ maka persamaannya menjadi:

$$my + cy + ky = 0 \quad (2.5)$$

dimisalkan $y = e^{st}$ untuk s adalah konstan dan t adalah variable waktu sehingga $y = se^{st}$ dan $y = s^2e^{st}$ maka persamaannya menjadi:

$$(s^2 + s\frac{c}{m} + \frac{k}{m})e^{st} = 0 \quad (2.6)$$

Yang merupakan persamaan kuadrat s dengan akar – akarnya:

$$s_{1,2} = \frac{-\left(\frac{c}{m}\right) \pm \sqrt{\left(\frac{c}{m}\right)^2 - 4\left(\frac{k}{m}\right)}}{2} \quad (2.7)$$

Bila $(c^2 - 4(km)) = 0$, maka:

$$c = 2\sqrt{km} = c_c \text{ (Critical Damping)} \quad (2.8)$$

misal $D = \frac{c}{c_c}$ didefinisikan sebagai damping ratio atau rasio redaman, sehingga , $D = \frac{c}{2\sqrt{km}}$ dan $c = 2D\sqrt{km}$,

$$\text{maka } s_{1,2} = \omega_n (-D \pm \sqrt{D^2 - 1}) \quad (2.9)$$

$$\omega_n \text{ (frekuensi natural tanpa redaman)} = \sqrt{\frac{k}{m}} \quad (2.10)$$

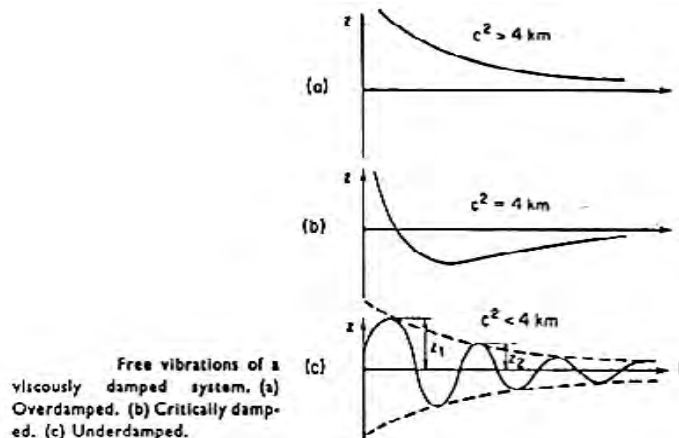
sedangkan natural frekuensi dengan redaman dirumuskan dengan:

$$\omega_{nd} = \omega_n(\sqrt{1 - D^2}) \quad (2.11)$$

Dari persamaan diatas terlihat bahwa getaran dipengaruhi oleh kondisi redamannya.

Hal ini menyebabkan setiap getaran memiliki satu dari tiga kondisi sebagai berikut:

1. Kondisi kritis ($D = 1$) getaran cepat berhenti. Kondisi ini terjadi bila $c^2 = 4\text{ km}$
2. Kondisi *under damped* ($D < 1$) masih ada getaran untuk selang waktu tertentu. Kondisi ini terjadi bila $c^2 < 4\text{ km}$.
3. Kondisi *over damped* ($D > 1$) tidak terjadi getaran. Kondisi ini terjadi bila $c^2 > 4\text{ km}$.



Gambar 2.4 Getaran bebas dengan *viscous damping*
(Richart, 1970)

Kondisi yang ideal untuk pondasi mesin adalah $D = 1$ tetapi dalam kenyataannya, semua pondasi masih memiliki $D < 1$.

2.7.2 Getaran dengan Gaya Penggerak (*Forced Vibration*)

Forced Vibration adalah getaran dengan gaya eksternal yang bekerja pada sistem. Getaran pada pondasi mesin merupakan *forced vibration*. Karena terdapat gaya eksternal yang bekerja maka persamaan 2.2 menjadi:

$$my + cy + ky = Fo \sin \omega t$$

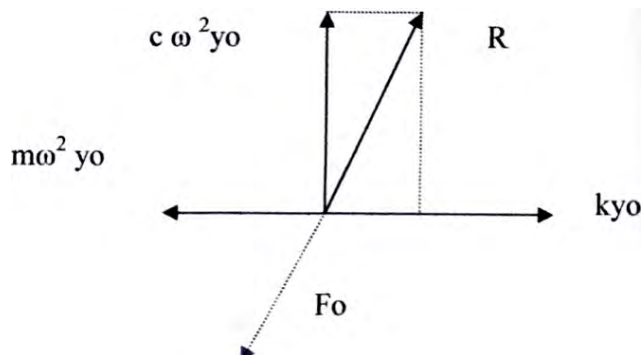
dimana ω adalah frekuensi kerja dari gaya.

misal : $y = yo \sin(\omega t - \varphi) = yo \sin(0^\circ + \omega t - \varphi)$, (2.12)

$$y = yo\omega \sin(\omega t - \varphi) = yo \sin(90^\circ + \omega t - \varphi), \quad (2.13)$$

$$y = -yo\omega^2 \sin(\omega t - \varphi) = yo\omega^2 \sin(180^\circ + \omega t - \varphi), \quad (2.14)$$

Persamaan diatas jika digambarkan dalam bentuk vektor maka akan seperti di bawah ini:



Gambar 2.5 Diagram Vektor Gaya, Massa, Pegas & Redaman (Thompson,1981).

Dari gambar di atas terlihat bahwa:

$$F_o = \sqrt{c y_o \omega^2 + (k y_o - m y_o \omega^2)} \quad (2.15)$$

$$F_o = k y_o \sqrt{\left(\frac{c\omega}{k}\right)^2 - 1 \left(\frac{m\omega^2}{k}\right)^2} \quad (2.16)$$

Sehingga amplitudo dinamis (yo) dirumuskan dengan:

$$yo = \frac{Fo}{\sqrt{c\omega^2 + (k-m\omega^2)}} \quad (2.17)$$

Jika amplitudo dinamis dibagi dengan amplitudo statis maka didapatkan nilai pembesaran dinamis M .

$$M = \frac{\Delta_{dinamis}}{\Delta_{statis}} = \frac{yo}{\frac{Fo}{k}} = \frac{1}{\sqrt{\left(\frac{c\omega}{k}\right)^2 + \left(k - \frac{m\omega^2}{k}\right)^2}} \quad (2.18)$$

Misalkan $r =$ ratio frekuensi, dimana $r = \frac{\omega}{\omega_n}$ maka:

$$r^2 = \frac{\omega^2}{\omega_n^2} = \frac{\omega^2}{\omega^2/m} = \frac{\omega^2}{k/m} = \frac{m\omega^2}{k} \quad (2.19)$$

$$\frac{c\omega}{k} = \frac{c}{c_c} \cdot \frac{c_c\omega}{m\omega_n^2} = \frac{2\sqrt{km}D\omega}{m\omega_n^2} \quad (2.20)$$

$$\text{Sedangkan, } \omega_n = \sqrt{\frac{k}{m}} = \sqrt{\frac{k \cdot m}{m^2}} = \frac{1}{m} \sqrt{km} \text{ sehingga,}$$

$$\sqrt{km} = m\omega_n \quad (2.21)$$

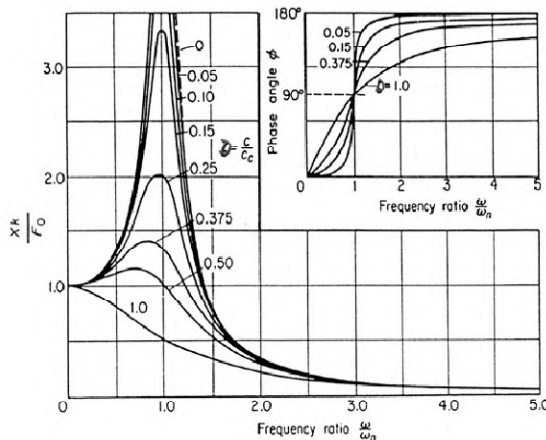
maka,

$$\frac{c\omega}{k} = \frac{2m\omega_n D\omega}{m\omega_n^2} = 2Dr \quad (2.22)$$

sehingga pembesaran dinamis:

$$M = \frac{1}{\sqrt{(2Dr^2) + (1-r^2)^2}} \quad (2.23)$$

Persamaan versus r digambarkan dalam grafik berikut:



Gambar 2.6 Plot pembesaran dinamis $M=X_o/F_o$ vs. frekuensi ratio r untuk getaran vertikal konstan (Thompson,1981)

Kondisi puncak pada grafik di atas adalah kondisi resonansi yaitu apabila $\omega = \omega_n$. Dalam suatu persamaan dengan sumbu koordinat x dan y, harga y_{max} akan diperoleh jika,

$$\frac{dy}{dx} = 0$$

$$\frac{d\frac{X_o}{F_o/k}}{dr} = 0 \text{ diperoleh harga } r \text{ agar } \frac{X_o}{F_o/k} \text{ maksimum yaitu:}$$

$$1 - \frac{\omega^2}{\omega n^2} - 2D^2 = 0 \text{ atau } \frac{\omega}{\omega n} = \sqrt{(1 - 2Dr^2)} = r \quad (2.24)$$

$$\omega_{res} = \omega n \sqrt{(1 - 2D^2)} \quad (2.25)$$

Jika gaya getar pada persamaan 2.6 berupa momen yang berasal dari massa eksentris yang berputar dengan frekuensi (*rotating unbalanced*) sehingga $F_o = m\omega^2$, maka persamaan 2.6 menjadi :

$$my + cy + ky = m\omega^2 \sin \omega t$$

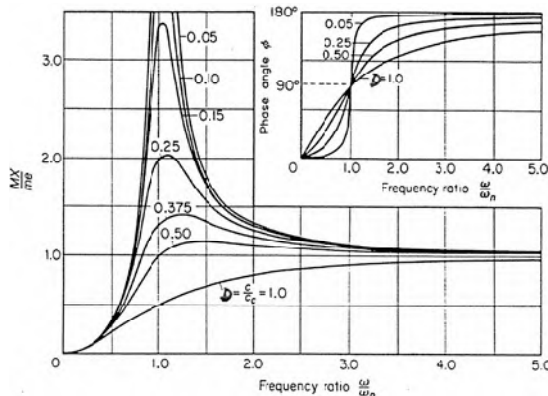
sehingga amplitudo dinamisnya menjadi:

$$X_o = \frac{(m\omega^2/k)}{\sqrt{(2Dr^2) + (1-r^2)^2}} \quad (2.26)$$

sehingga pembesaran dinamisnya $\frac{X_o}{(m\omega^2/k)} = \frac{1}{(2Dr^2) + (1-r^2)^2}$ atau

$$\frac{MtXo}{me} = \frac{r^2}{(2Dr^2) + (1-r^2)^2} \quad (2.27)$$

M adalah massa total dari sistem. Persamaan r digambarkan pada grafik berikut:



Gambar 2.7 Plot X_o/me vs. frekuensi r untuk *rotating unbalance* (Thompson, 1981)

2.8 Persyaratan Pondasi Mesin

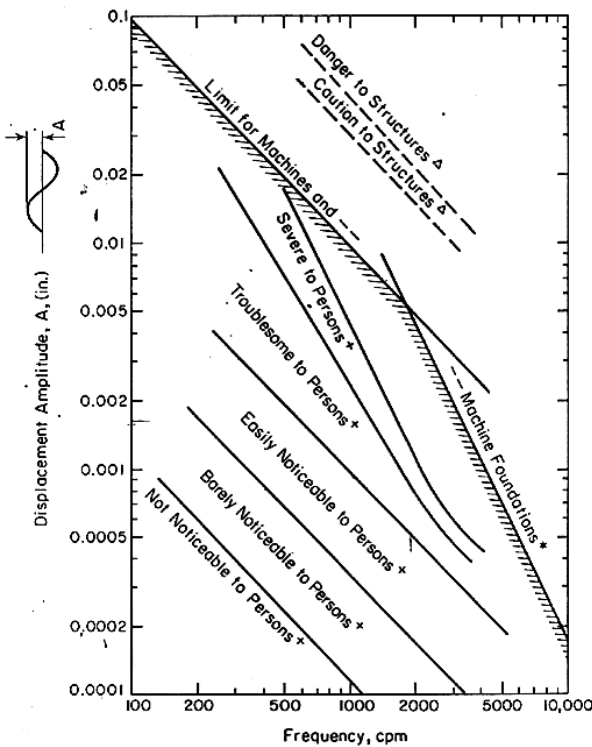
Pondasi didesain agar mesin berfungsi secara normal dan getaran tidak membahayakan (Prakash, 1981) untuk beban statis:

1. Mampu menahan dan memikul beban statis yang ditimbulkan oleh mesin tanpa menyebabkan keruntuhan geser atau keruntuhan total.
2. Penurunan pondasi akibat beban harus berada dalam batas – batas yang diijinkan.

Sedangkan untuk beban dinamis :

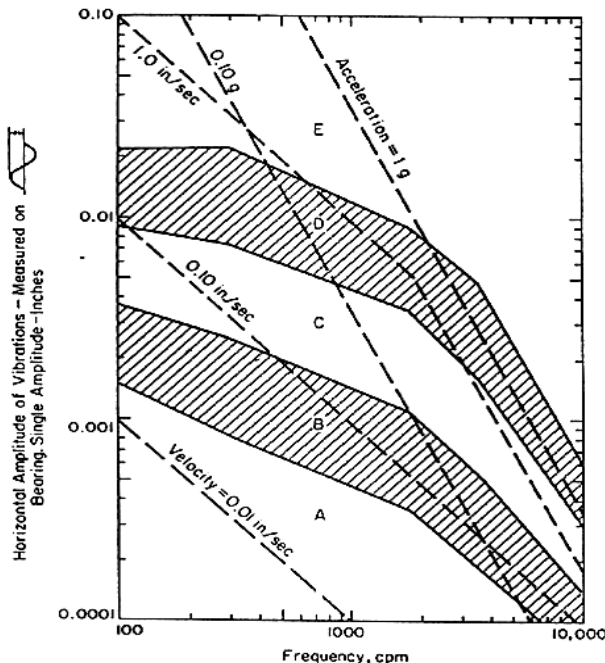
1. Tidak boleh terjadi resonansi, yaitu frekuensi natural sistem tanah-pondasi-mesin tidak boleh sama dengan frekuensi operasi mesin.
2. Amplitudo pada frekuensi operasi tidak boleh melebihi amplitudo batas yang umumnya ditentukan oleh pembuat mesin tersebut.
3. Bagian – bagian mesin yang bergerak atau bergetar harus sedapat mungkin setimbang untuk mengurangi ketidaksetimbangan dari gaya – gaya dan momen.
4. Getaran yang terjadi tidak boleh mengganggu orang – orang yang bekerja atau merusak mesin – mesin lainnya.

Kegagalan pondasi mesin terjadi ketika getaran melampaui batas yang sudah ditentukan. Batasan pondasi mesin ditentukan berdasarkan pada amplitudo dan kecepatan dari getaran pada operasi mesin. Berikut grafik batasan amplitudo pondasi mesin.



Gambar 2.8 Batasan amplitudo vertikal (Arya, 1981)

Batasan amplitudo vertikal dari grafik diatas, maksimal masuk zona “Troublesome to Persons”. Bukan hanya memperhatikan batasan – batasan amplitudo mesin, tetapi juga perlu memperhatikan batasan percepatan amplitudo. Seperti yang digambarkan pada grafik di bawah ini.



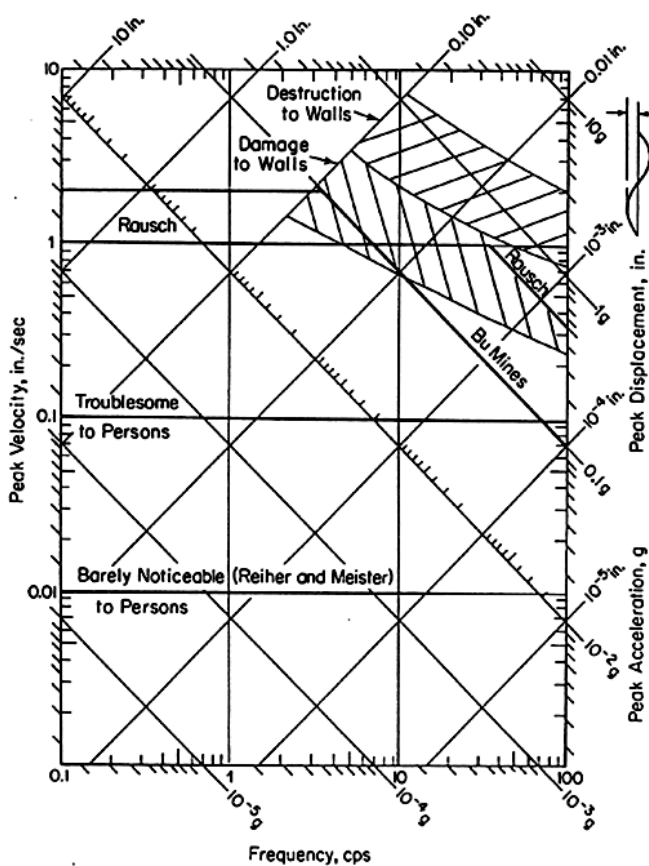
Explanation of cases-

- E Dangerous. Shut it down now to avoid danger.
- D Failure is near. Correct within two days to avoid breakdown.
- C Faulty. Correct within 10 days to save maintenance dollars.
- B Minor faults. Correction wastes dollars.
- A No faults. Typical new equipment.

Gambar 2.9 Batasan percepatan amplitudo (Arya, 1981)

Batasan percepatan amplitudo dari gambar 2.13, maksimal masuk zona B. kcepatan amplitudo dirumuskan dengan $v = 2f (\text{cps}) \times A$. Sedangkan percepatan amplitudo

$$a = 4f^2 \times A \cdot \pi 2\pi.$$



**Gambar 2.10 Respon spektrum untuk limit getaran
(Arya, 1981)**

Karena tingkat kepentingan dari setiap mesin berbeda-beda aka diperlukan angka keamanan untuk menjaga mesin dan pondasi. Angka keamanan didapatkan dengan cara mengalikan dengan amplitudo dan hasilnya digunakan untuk pembacaan grafik sebagai amplitudo.

Tabel 2.2 Faktor Layan

| | |
|--|-----|
| Single-stage centrifugal pump, electric motor, fan | 1 |
| Typical chemical processing equipment, noncritical | 1,6 |
| Turbine, turbogenerator, centrifugal compressor | 2 |
| Centrifugal, stiff-shaft: multistage centrifugal pump | 0,5 |
| Miscellaneous equipment, characteristics unknown | 0,3 |
| Centrifugal, shaft-suspended, on shaft near basket | |
| Centrifugas, link-suspended, slung | |
| Effective vibration = measured single amplitude vibration, in inches multiplied by the serve factor. Machine tools are excluded Values are for bolted-down equipment, when not bolted multiply the service factor by 0,4 and use the product as the service factor . Caution: Vibration measured on the beating boosing, except as stated. | |

(Sumber: Arya, 1981)

Pondasi mesin didesain sesuai batasan sebagai berikut:

Tabel 2.3 Batasan Kriteria Desain Pondasi Mesin

| Item | Kriteria |
|------------------------------|-----------------------------------|
| Daya dukung statis | 50% σ ijin |
| Daya dukung statis + dinamis | 75% σ ijin |
| Amplitudo | < Troublesome |
| Amplitudo mesin rotataing | Masuk A atau B |
| Pembesaran dinamis vertikal | < 1.5 |
| Resonansi | 20% frekuensi operasi |
| Kecepatan partikel tanah | $2\pi f$ (cps) x amplitudo < GOOD |

2.9 Pondasi Mesin Untuk Beban Dinamis

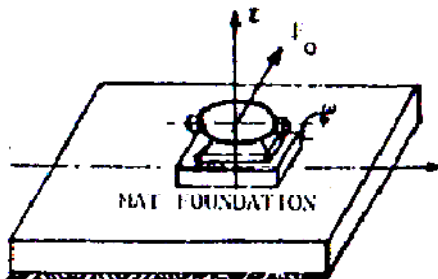
Pondasi mesin merupakan pondasi beban dinamis yang dirancang sebagai pondasi yang dapat menerima beban statis mesin berupa berat mati mesin dan beban dinamis yang berupa gerak alat. Meskipun beban dinamis yang bekerja cukup kecil namun bekerjanya berulang selama periode waktu tertentu sehingga membutuhkan perhatian khusus dalam perencanaannya. Untuk itu dalam merencanakan pondasi mesin ini, harus menyatukan antara beban dinamis dan statis dengan cara menganalisis setiap beban yang bekerja.

Pondasi mesin dibedakan menjadi 2 jenis, yaitu pondasi dangkal dan pondasi dalam. Berikut akan dijelaskan jenis-jenis dari pondasi mesin:

2.9.1 Pondasi Dangkal

- a) Pondasi Mesin Tipe Mat Slab

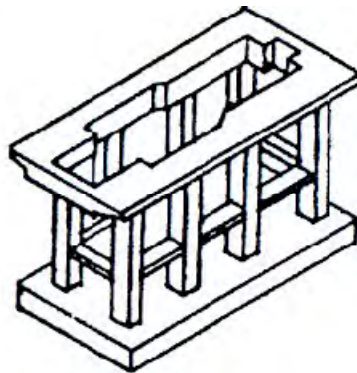
Fleksibel slab beton yang diletakkan diatas mesin.



**Gambar 2.11 Fondasi Mesin Tipe Mat Slab
(Arya, 1981)**

- b) Pondasi Mesin Tipe Meja

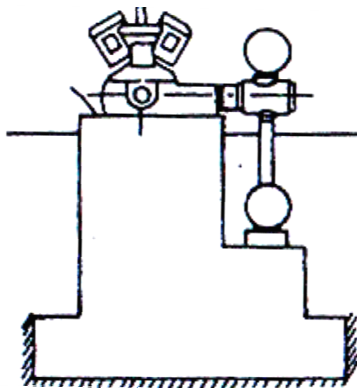
Pondasi berupa struktur kolom beton dengan ketinggian tertentu diatas tanah terdiri dari kolom yang ditumpu oleh pondasi slab. Bagian atas kolom disatukan dengan top slab sehingga membentuk lantai untuk meletakkan mesin.



Gambar 2.12 Pondasi Mesin Tipe Portal (Arya, 1981)

c) Pondasi Mesin Tipe Blok

Pondasi terdiri atas blok beton rigid dengan ketebalan tertentu sehingga dapat mengabaikan deformasi struktur.



Gambar 2.13 Pondasi Mesin Tipe Blok (Arya, 1981)

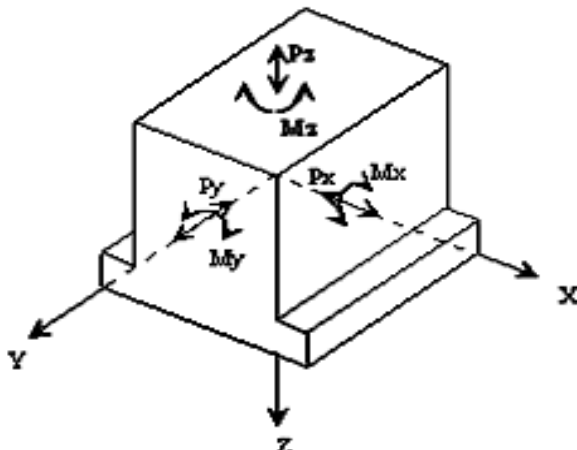
2.9.2 Pondasi Dalam

Pondasi dalam dibedakan menjadi 2 yaitu pondasi tiang pancang dan pondasi tiang bor. Fungsi pondasi dalam dapat dibedakan menjadi 2 yaitu pondasi tiang yang digunakan untuk memikul bahan pondasi akibat daya dukung tanah yang tidak mencukupi dan digunakan untuk meningkatkan kekakuan sehingga menaikkan frekuensi natural dan memperkecil amplitudo.

2.9.3 Derajat Kebebasan Pondasi

Beban dinamis yang bekerja pada pondasi dapat mengakibatkan pondasi mengalami getaran dalam 6 mode yaitu:

- Translasi searah sumbu x (lateral)
- Translasi searah sumbu y (longitudinal)
- Translasi searah sumbu z (vertical)
- Rotasi terhadap sumbu x (pitching)
- Rotasi terhadap sumbu y (rocking)
- Rotasi terhadap sumbu z (yawing)



**Gambar 2.14 Derajat Kebebasan Mesin Tipe Blok
(Arya, 1981)**

Setiap gerakan dari pondasi blok dapat dipecah dalam enam *displacement* secara terpisah. Oleh karena itu pondasi blok mempunyai enam derajat kebebasan dengan enam natural frekuensi.

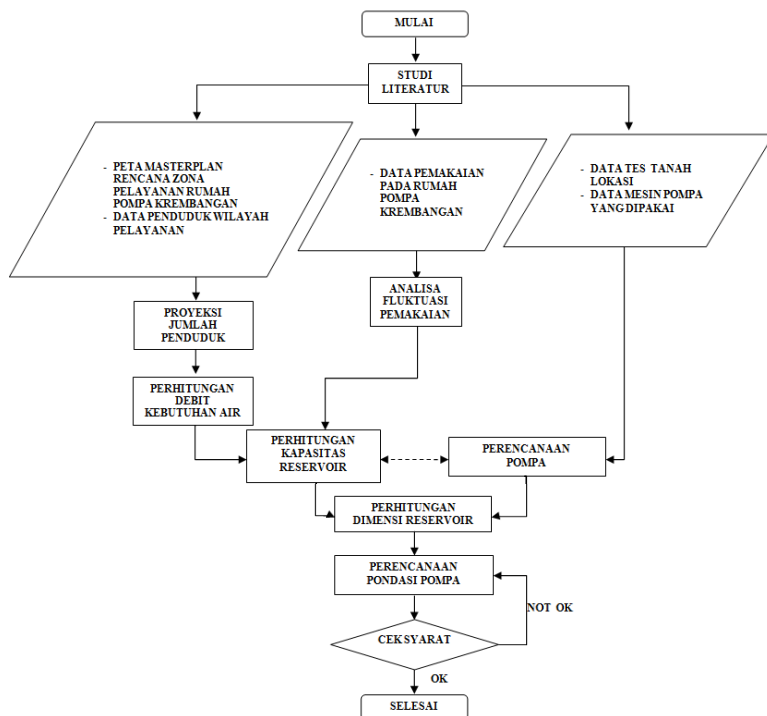
Dari keenam mode getaran, translasi arah sumbu z dan rotasi terhadap sumbu z dapat terjadi secara independent terpisah dari mode lainnya. Sedangkan translasi arah sumbu x dengan rotasi terhadap sumbu y atau translasi arah sumbu y dengan rotasi terhadap sumbu x selalu terjadi secara simultan dan saling mempengaruhi sehingga disebut *coupled mode*. Jadi pada kenyatannya pondasi blok memiliki empat mode getaran yaitu dua mode tunggal (vertikal dan yawing) dan dua mode kopel (rocking + lateral dan pitching + longitudinal).

BAB III

METODOLOGI

3.1 Umum

Metode perencanaan dibuat untuk mempermudah dalam pelaksanaan studi, sehingga didapatkan pemecahan masalah yang sesuai dengan tujuan yang telah ditetapkan. Dengan prosedur yang disusun sistematis, dan teratur diharapkan saat penggeraan tugas akhir tidak akan terjadi kekeliruan langkah. Tahapan penyelesaian tugas akhir ini dapat dilihat dalam diagram alir 3.1 berikut:



Gambar 3.1 Diagram Alir Penyelesaian Tugas Akhir

3.2 Studi Literatur

Mencari referensi dan menganalisa tentang teori-teori yang akan digunakan dalam perhitungan. Seperti didalamnya teori-teori tentang mencari proyeksi penduduk kedepan, kebutuhan air, analisa fluktuasi, perhitungan debit, perhitungan volume, perhitungan pondasi beban dinamis dan teori lain yang dipakai pada tugas akhir ini.

3.3 Pengumpulan Data

Pengumpulan data disini dikategorikan menjadi 2 yaitu data primer dan data sekunder.

a. Data Primer

Data primer didapatkan dari peninjauan langsung di lapangan atau wawancara langsung dengan pemilik data (pegawai) instansi terkait, meliputi:

- Wawancara langsung dengan pegawai PDAM Surya Sembada Kota Surabaya

b. Data Sekunder

Data sekunder didapatkan tanpa peninjauan langsung di lapangan. Data yang sudah ada dari instansi terkait ini didapatkan melalui perijinan terlebih dahulu, meliputi:

- Peta pelayanan Rumah Pompa Kremlangan
Data ini untuk mengetahui daerah mana saja yang dilayani oleh Rumah Pompa Kremlangan.
- Data penduduk wilayah pelayanan
Data ini digunakan untuk menghitung berapa jumlah penduduk yang dilayani dan menghitung proyeksi penduduk pada tahun 2030.
- Data debit pelanggan
Untuk analisa perilaku pemakaian (fluktuasi pemakaian) air oleh pelanggan tiap hari nya.
- Data pompa

- Untuk merencanakan pompa yang akan dipakai, dan merencanakan pondasi dari pompa tersebut.
- Data tanah lokasi
Untuk merencanakan pondasi dimana data ini merupakan faktor penting dalam hitungan perencanaan nantinya.

3.4 Proyeksi Jumlah Penduduk

Metode proyeksi yang akan digunakan adalah dengan metode linier, bunga berganda dan regresi linier untuk 15 tahun kedepan (2030).

3.5 Perhitungan Debit

Data jumlah penduduk pada proyeksi 2030 yang telah dihitung digunakan untuk mencari debit air dengan menggunakan tabel petunjuk teknis perencanaan rencana induk dan studi kelayakan sistem penyediaan air minum, DPU Dirjen Cipta Karya, 1998.

3.6 Analisa Fluktuasi Pemakaian

Dari data pemakaian air yang sudah ada dianalisa untuk mendapatkan pola pemakaian air. Pada tahap ini akan diketahui pada jam dan hari apa pemakaian air paling tinggi oleh penduduk.

3.7 Perhitungan Volume Reservoir

Dari hasil perhitungan debit kebutuhan (Q_{butuh}) dan fluktuasi pemakaian air digunakan untuk menghitung volume reservoir dengan metode *Reservoir Routing*.

3.8 Perencanaan Pompa

Perencanaan pompa dihitung sesuai kebutuhan debit yang akan disalurkan kepada pelanggan di daerah pelayanan. Banyak pilihan pompa yang dapat digunakan. Untuk data pilihan pompa sendiri didapat dari rekanan penyedia pompa PDAM.

3.9 Perhitungan Pondasi Beban Dinamis Pompa

Pada tahap ini diperlukan data tanah lokasi dan data pompa yang telah direncanakan untuk merencanakan pondasi beban dinamis pompa. Untuk perencanaan elemen struktur pondasi mesin pompa ini harus sesuai dengan persyaratan keamanan serta SNI 03-2847-2002.

3.10 Penyusunan Laporan

Penyusunan laporan dapat dilakukan setelah sub pekerjaan selesai. Untuk cara penyusunan sesuai dengan ketentuan penyusunan tugas akhir yang ada.

BAB IV

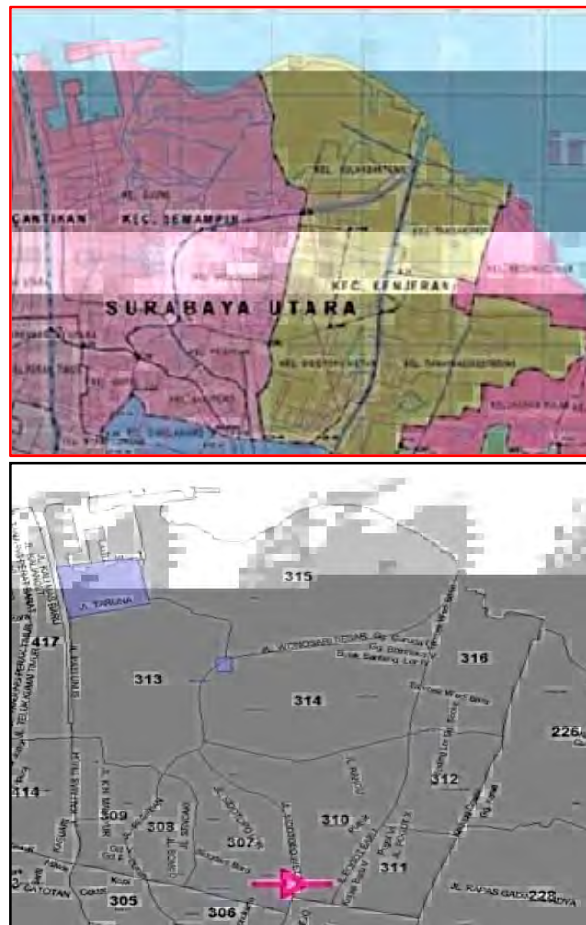
PERENCANAAN KAPASITAS POMPA

4.1 Konsep Umum

Menurut peta pembagian zona pelayanan PDAM Surya Sembada Kota Surabaya wilayah yang dialiri Rumah Pompa Krembangan termasuk didalamnya adalah subzone 307, 308, 309, 310, 311, 312, 313, 314, 315, 316 (gambar 4.1). Berdasarkan pembagian kecamatannya yang termasuk didalam Kecamatan Kenjeran adalah subzone 311, 312, 314, 315 dan 316. Sedangkan yang termasuk di Kecamatan Sempapir adalah subzone 307, 308, 309, 310, dan 313. Untuk lebih jelasnya dapat dilihat pada gambar 4.2.



Gambar 4.1 Peta Layanan Distribusi RP. Krembangan
(Sumber: PDAM Surabaya, 2015)



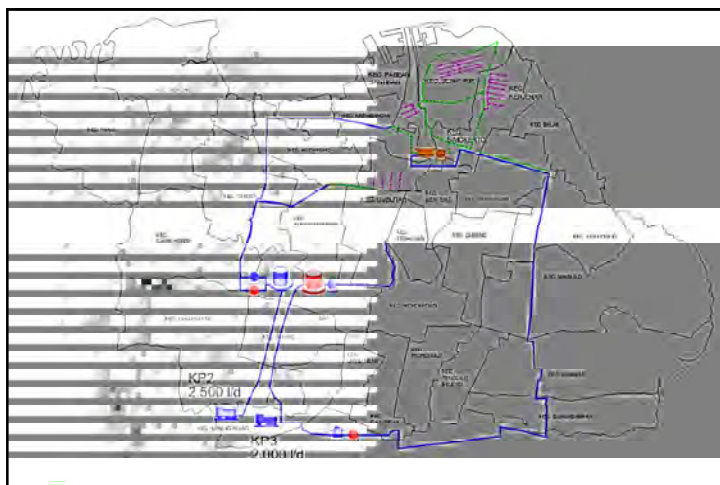
**Gambar 4.2 Daerah Layanan Distribusi RP. Krembangan pada Peta Pembagian Kecamatan Kota Surabaya
(Sumber: PDAM Surabaya, 2015)**

Wilayah pelayanan di Kecamatan Kenjeran dan Semampir berada di Surabaya Utara. Kecamatan Kenjeran mempunya luas $7,77 \text{ Km}^2$, Sedangkan Kecamatan Semampir

mempunyai luas 8,76 Km². Berikut batas wilayah pelayanan Rumah Pompa Kremlangan pada Kecamatan tersebut:

- Utara : Laut Jawa
 - Timur : Jalan Kedung Cowek
 - Selatan : Jalan Kapasari dan Jalan Kenjeran
 - Barat : Jalan Kalimas

Untuk sistem distribusi air bersih dari Instalasi ke Rumah Pompa Krembangan bisa dilihat pada gambar berikut 4.3:



Gambar 4.3 Sistem Distribusi Instalasi ke RP. Krembangan
(Sumber: PDAM Surabaya, 2015)

4.2 Prediksi Jumlah Penduduk Tahun 2030

Untuk menghitung prediksi jumlah penduduk, diperlukan data-data penduduk yang bisa didapat dari Badan Pusat Statistik (BPS) setempat. Setelah itu digunakan analisa statistika untuk menghitung prediksinya.

4.2.1 Jumlah Penduduk Wilayah Pelayanan

Untuk menghitung analisa proyeksi penduduk tahun 2030 digunakan data penduduk per kecamatan yang ditinjau selama 5 tahun, yaitu mulai tahun 2010 sampai dengan tahun 2014 (Tabel 4.1).

Tabel 4.1 Jumlah Penduduk per Kecamatan Tahun 2010-2014 pada Wilayah Pelayanan

| Nama Kecamatan | Luas Wilayah (Km ²) | Jumlah Penduduk | | | | |
|----------------|------------------------------------|-----------------------|-----------------|-----------------|-----------------|-----------------|
| | | 2010 (Orang) | 2011 (Orang) | 2012 (Orang) | 2013 (Orang) | 2014 (Orang) |
| | | Surabaya Utara | | | | |
| Semampir | 8,76 | 154.455 | 162.130 | 167.787 | 175.866 | 182.531 |
| Kenjeran | 7,77 | 131.857 | 135.312 | 138.456 | 143.457 | 146.757 |

Sumber: BPS Kota Surabaya

4.2.2 Analisa Proyeksi Penduduk Metode Linier

Analisa metode ini dihitung dengan asumsi pertumbuhan penduduk yang konstan dari tahun ke tahun. Sesuai dengan rumus (2.1) berikut:

$$P_n = P_0 + na \quad (2.1)$$

Sumber: Permen PU No. 18/PRT/M/2007

Dimana:

P_n = Jumlah penduduk pada tahun ke-n

P₀ = Jumlah penduduk pada tahun ke dasar pengamatan

n = Tambahan tahun terhitung dari tahun dasar

a = Jumlah pertambahan penduduk tiap tahunnya.

Dari rumus di atas bila proyeksi jumlah penduduk dihitung dengan metode tersebut maka akan dihasilkan seperti pada tabel berikut (Tabel 4.2).

Tabel 4.2 Perhitungan dengan Metode Linier

| Tahun | n | Jumlah Penduduk (Po) | | A | | $P_n = P_0 + na$ | | $P_n - P_{n-1}$ | |
|-------|-----|----------------------|----------|----------|----------|------------------|----------|-----------------|----------|
| | | Semampir | Kenjeran | Semampir | Kenjeran | Semampir | Kenjeran | Semampir | Kenjeran |
| (1) | (2) | (3) | | (4) | | (5) | | (6) | |
| 2010 | 0 | 154.455 | 131.857 | - | - | 154.455 | 131.857 | - | - |
| 2011 | 1 | 162.130 | 135.312 | 7.675 | 3.455 | 161.474 | 135.582 | 7.019 | 3.725 |
| 2012 | 2 | 167.787 | 138.456 | 5.657 | 3.144 | 168.493 | 139.307 | 7.019 | 3.725 |
| 2013 | 3 | 175.866 | 143.457 | 8.079 | 5.001 | 175.512 | 143.032 | 7.019 | 3.725 |
| 2014 | 4 | 182.531 | 146.757 | 6.665 | 3.300 | 182.531 | 146.757 | 7.019 | 3.725 |
| | | Jumlah | 28.076 | 14.900 | | | | | |
| | | Rata ² | 7.019 | 3.725 | | | | | |

4.2.3 Analisa Proyeksi Penduduk Metode Bunga Berganda

Metode ini berasumsi tingkat pertumbuhan penduduk akan selalu proporsional tiap tahunnya dengan jumlah penduduk tahun sebelumnya. Variabel laju pertumbuhan penduduk disini bersifat konstan, bukan jumlah pertumbuhan penduduk. Metode ini dihitung dengan rumus (2.2) sebagai berikut:

$$P_n = P_0 (1 + r)^n \quad (2.2)$$

Sumber: Permen PU No. 18/PRT

Dimana:

P_n = Jumlah penduduk pada tahun ke n

P_0 = Jumlah penduduk pada tahun dasar pengamatan

n = Periode pengamatan

r = Persentase laju pertumbuhan tiap tahun

Berikut hasil perhitungan proyeksi penduduk dengan metode bunga berganda sesuai dengan persamaan (Tabel 4.3).

Tabel 4.3 Perhitungan dengan Metode Bunga Berganda

| Tahun | n | Jumlah Penduduk (P_0) | | r | | $P_n = P_0(1+r)^n$ | | Pn - Pn-1 | |
|-------|-----|---------------------------|----------|----------|----------|--------------------|----------|-----------|----------|
| | | Semampir | Kenjeran | Semampir | Kenjeran | Semampir | Kenjeran | Semampir | Kenjeran |
| (1) | (2) | (3) | | (4) | | (5) | | (6) | |
| 2010 | 0 | 154.455 | 131.857 | 0 | 0 | 154.455 | 131.857 | | |
| 2011 | 1 | 162.130 | 135.312 | 0,047 | 0,026 | 160.769 | 135.338 | 6.314 | 3.481 |
| 2012 | 2 | 167.787 | 138.456 | 0,034 | 0,023 | 167.340 | 138.910 | 6.572 | 3.573 |
| 2013 | 3 | 175.866 | 143.457 | 0,046 | 0,035 | 174.181 | 142.577 | 6.840 | 3.667 |
| 2014 | 4 | 182.531 | 146.757 | 0,037 | 0,022 | 181.301 | 146.341 | 7.120 | 3.764 |
| | | Jumlah | 0,164 | 0,1056 | | | | | |
| | | Rata-rata | 0,041 | 0,0264 | | | | | |

4.2.4 Analisa Proyeksi Penduduk Metode Regresi Linier

Metode Regresi Linier berasumsi bahwa adanya korelasi yang linier antara tahun pengamatan dengan jumlah penduduk pada tahun pengamatan tersebut. Model matematisnya sesuai rumus (2.3) sebagai berikut:

$$P = a + bx \quad (2.3)$$

Sumber: Permen PU No. 18/PRT/M/2007

Dimana:

P = Jumlah penduduk pada tahun ke x

x = Tambahan tahun terhitung dari tahun dasar

a, b = Konstanta dengan rumus sebagai berikut:

$$a = \frac{\sum P \cdot \sum x^2 - \sum x \cdot \sum Px}{N \cdot \sum x^2 - (\sum x)^2}$$

$$b = \frac{N \cdot \sum Px - \sum x \cdot \sum Px}{N \cdot \sum x^2 - (\sum x)^2}$$

Berikut hasil perhitungan proyeksi penduduk dengan metode bunga berganda sesuai dengan persamaan di atas (Tabel 4.4 & Tabel 4.5).

Tabel 4.4 Perhitungan dengan Metode Regresi Linier

| Tahun | Jumlah Penduduk (Po) | | x | | x ² | | Px | |
|--------|----------------------|----------|----------|----------|----------------|----------|-----------|-----------|
| | Semampir | Kenjeran | Semampir | Kenjeran | Semampir | Kenjeran | Semampir | Kenjeran |
| | (1) | (2) | (3) | | (4) | | (5) | |
| 2010 | 154.455 | 131.857 | 0 | 0 | 0 | 0 | - | - |
| 2011 | 162.130 | 135.312 | 1 | 1 | 1 | 1 | 162.130 | 135.312 |
| 2012 | 167.787 | 138.456 | 2 | 2 | 4 | 4 | 335.574 | 276.912 |
| 2013 | 175.866 | 143.457 | 3 | 3 | 9 | 9 | 527.598 | 430.371 |
| 2014 | 182.531 | 146.757 | 4 | 4 | 16 | 16 | 730.124 | 587.028 |
| Jumlah | 842.769 | 695.839 | 10 | 10 | 30 | 30 | 1.755.426 | 1.429.623 |

**Tabel 4.5 Perhitungan dengan Metode Regresi Linier
(Lanjutan)**

| Tahun | Konstanta a | | Konstanta b | | Pn | | Pn - Pn-1 | |
|-------|-------------|----------|-------------|----------|----------|----------|-----------|----------|
| | Semampir | Kenjeran | Semampir | Kenjeran | Semampir | Kenjeran | Semampir | Kenjeran |
| | (1) | (6) | (7) | | (8) | | (9) | |
| 2010 | 154.576 | 131.579 | 6.989 | 3.795 | 154.576 | 131.579 | | |
| 2011 | | | | | 161.565 | 135.373 | 6.989 | 3.795 |
| 2012 | | | | | 168.554 | 139.168 | 6.989 | 3.795 |
| 2013 | | | | | 175.543 | 142.962 | 6.989 | 3.795 |
| 2014 | | | | | 182.531 | 146.757 | 6.989 | 3.795 |

Perhitungan proyeksi penduduk dengan menggunakan ketiga metode dapat dilihat pada (Tabel 4.6). Proyeksi jumlah penduduk yang dipilih dari ketiga metode tersebut diambil proyeksi yang terbesar.

Menurut *Corporate Plan* tahun 2014-2018 PDAM Surya Sembada Surabaya, salah satu indikator utama pelayanan air minum adalah tingkat cakupan pelayanan terhadap penduduk pada wilayah pelayanan. PDAM Surya Sembada telah diberikan target bahwa pada tahun 2015 tingkat pelayanan air minum di kota Surabaya minimum 95%.

Sedangkan Perusahaan Daerah Air Minum (PDAM) Surya Sembada Kota Surabaya saat ini kondisi eksisting mempunyai kapasitas produksi terpasang sebesar 10.830 liter/detik dengan jumlah pelanggan sebanyak 507.557 SR.

Cakupan pelayanan (service coverage) mencapai 90,02% dimana tingkat *Non Revenue Water* (NRW) sebesar 28,96%. Dengan cakupan pelayanan sudah mencapai 90,02% maka kekurangan dianggap **5%** dari masing-masing daerah pelayanan untuk mencapai target 95% pelayanan.

Dengan ketentuan *Corporate Plan* tahun 2014-2018 PDAM Surya Sembada tersebut maka perhitungannya menjadi sebagai berikut:

Tabel 4.6 Rekapitulasi Proyeksi Jumlah Penduduk Tahun 2030

| Nama Kecamatan | Proyeksi Penduduk Tahun 2030 | | | | Persentase Pelayanan | Jumlah Pelanggan Proyeksi 2030 | Percentase Per Kecamatan dari Total |
|-----------------------|------------------------------|------------------|-------------------|---------|----------------------|--------------------------------|-------------------------------------|
| | M.Linier | M.Bunga Berganda | M.Regres i Linier | Maks | | Orang | |
| | Orang | Orang | Orang | Orang | | Orang | |
| Surabaya Utara | | | | | | | |
| Semampir | 294.835 | 344.181 | 294.352 | 344.181 | 95% | 326.972 | 61% |
| Kenjeran | 206.357 | 222.029 | 207.469 | 222.029 | 95% | 210.928 | 39% |
| | | | | | Total | 537.900 | |

4.3 Perhitungan Kebutuhan Air Bersih

Untuk perhitungan kebutuhan air bersih pada wilayah pelayanan akan dihitung mengacu pada Petunjuk Teknis Rencana Induk dan Studi Kelayakan Penyediaan Air Minum, DPU Dirjen Cipta Karya, 1998. Tabel standar perhitungannya dapat dilihat pada tabel berikut ini (Tabel 4.7):

Tabel 4.7 Standar Perencanaan Kebutuhan Air

| No. | Parameter | Kota metro > 1.000.000 (Jw) | Kota Besar 500.000-1.000.000 (Jw) | Kota Sedang 100.000-500.000 (Jw) | Kota Kecil < 100.000 (Jw) |
|-----|--|---|-----------------------------------|----------------------------------|---------------------------|
| 1 | Tingkat Pelayanan (target) | 100% | 100% | 100% | 100% |
| 2 | Tingkat pemakaian air (liter/orang/hari) | | | | |
| | Sambungan Rumah (SR) | 190 | 170 | 150 | 130 |
| | Kran Umum (KU) | 30 | 30 | 30 | 30 |
| 3 | Kebutuhan Non domestik -Industri (l/d/ha) | | | | |
| | Berat | 0,50-1,000 | | | |
| | Sedang | 0,25-0,50 | | | |
| | Ringan | 0,1 - 1,0 | | | |
| | -Komersial(l/d/ha) | | | | |
| | Pasar | 400 | | | |
| | Hotel | 1000 | | | |
| | - Sosial & Institusi: | | | | |
| | Universitas(1/Mhs.hari) | 20 | | | |
| | Sekolah (1/Siswa/hari) | 15 | | | |
| | Mesjid (m3/hr/unit) | 1 - 2 | | | |
| | Rumah Sakit(1/kmr/hr) | 400 | | | |
| | Puskesmas(m3/hr/unit) | 1 + 2 | | | |
| | Kantor(1/di hr) | 0,01 | | | |
| | Militir (m3/hr/ha) | 10 | | | |
| 4 | Jumlah Jiwa/SR | 5 | 5 | 5 | 6 |
| | Jumlah Jiwa/HU | 100 | 100 | 100 | 100 - 200 |
| | SR : HU | 50 : 50 s/d 80 : 20 | 50 : 50 s/d 80 : 20 | 80 : 20 | 70 : 30 |
| 4 | Kebutuhan hari rata-rata (Qr) | Kebutuhan Domestik (D) + Non Domestik (ND) + Kehilangan Air (KA) | | | |
| 5 | Kebutuhan hari maksimum (Qmaks) | Kebutuhan rata-rata x 1,15 - 1,20 (faktor hari maksimum) | | | |
| 6 | Kehilangan air (KA) | | | | |
| | Sistem baru | 20% x Kebutuhan rata-rata | | | |
| | Sistem lama | 30%-50% x Kebutuhan rata-rata | | | |
| 7 | Kebutuhan jauh Puncak | Kebutuhan rata-rata x faktor jauh puncak 1,5 - 2 | | | |

Sumber : Petunjuk Teknis Perencanaan, Induk dan Studi Kelayakan Penyediaan Air Minum, DPU Dirjen Cipta Karya 1998

Dengan jumlah penduduk 537.900 orang maka dikategorikan sebagai kota Besar. Pada tabel di atas dapat dihitung kebutuhan air bersih untuk keperluan sambungan rumah, kran umum, kebutuhan non domestik (industri, komersial & sosial). Pada Kebutuhan Non Domestik disini dihitung dengan menggunakan 30% Kebutuhan Domestik dikarenakan jumlah Bangunan Non Domestik yang tidak terlalu banyak.

Berikut perhitungan kebutuhan air bersih (tabel 4.8) dengan patokan tabel standar perencanaan kebutuhan air:

Tabel 4.8 .Perhitungan Kebutuhan Air Wilayah Pelayanan

| Parameter | Uraian | | | Jumlah | |
|-----------------------------------|--------------------------------------|-----|---------------------------------|--------------------------------------|--|
| Kebutuhan Domestik | | | | | |
| Sambungan Rumah (SR) | 537.900 | org | x 170 | lt/org/hari 91.443.047 lt/hari | |
| Kran Umum | 537.900 | org | x 30 | lt/org/hari 16.137.008 lt/hari | |
| | | | Total Kebutuhan Domestik (Qd) = | 107.580.056 lt/hari | |
| Kebutuhan Non Domestik | | | | | |
| Industri | | | | | |
| Komersial | | | | | |
| Sosial dan Institusi | | | | | |
| Universitas | 30% | x | Total Kebutuhan Domestik | 32.274.017 lt/hari | |
| Sekolah | | | | | |
| Masjid | | | | | |
| Rumah Sakit | | | | | |
| Puskesmas | | | | | |
| Militer | | | | | |
| | Total Kebutuhan Non Domestik (Qnd) = | | | 32.274.017 lt/hari | |
| | Total Qd + Qnd = | | | 138.854.072 lt/hari | |
| Kehilangan air (KA) | 20% x(Qd + Qnd) | | | 27.970.814 lt/hari | |
| Kebutuhan harian rata-rata (Qr) | (Qd + Qnd + KA) | | | 167.824.887 lt/hari | |
| | | | | = 1.942 lt/dt | |
| Kebutuhan harian maksimum (Qmaks) | Qrx1,15 | | | 192.998.620 lt/hari | |
| | | | | = 2.234 lt/dt | |
| Kebutuhan jam puncak | Qrx1,5 | | | 251.737.330 lt/hari = 2.914 lt/dt | |

4.4 Fluktuasi Pemakaian Air

Untuk mengetahui pola pemakaian air di wilayah rencana maka dilakukan studi kasus fluktuasi pemakaian air di wilayah perencanaan. Dalam hal ini untuk pemakaian domestik dipakai pola pemakaian air di wilayah subzone 313 di Kecamatan Semampir karena menurut data BPS Surabaya wilayah tersebut terdapat banyak pemukiman dibanding industri. Sedangkan untuk pemakaian Industri dipakai pola pemakaian di wilayah subzone 314 di Kecamatan Kenjeran dikarenakan menurut data BPS wilayah tersebut terdapat beberapa industri kelas sedang dan industri kelas kecil. Pola pemakaian air di kedua wilayah tersebut diasumsikan mewakili sebagai pola pemakaian air di wilayah perencanaan. Semua data fluktuasi pemakaian tersebut didapat dari PDAM Surabaya sesuai dengan kondisi lapangan.

Analisa fluktuasi pemakaian air dapat dilihat pada tabel 4.9 (industri) dan 4.10 (pemukiman). Dan setelah diketahui debit pemakaiannya dihitung debit kebutuhannya (*Outflow*).

**Tabel 4.9 Perhitungan Koefisien Pemakaian Air di Kenjeran
Wilayah Non Domestik (Industri)**

| Jam | ΔT | Debit Pemakaian | Debit Rata-rata | Koefisien Pemakaian |
|------------|---|----------------------------|--------------------------|--------------------------------|
| | | menit | I/dt | I/dt |
| (1) | (2) = $(I_n) - (I_{n-1})$ | (3) | (4) = AVERAGE(3) | (5)=(3)/(4) |
| 0:00:00 | 15 | 144,68 | 171,86 | 0,84 |
| 0:15:00 | 15 | 140,92 | 171,86 | 0,82 |
| 0:30:00 | 15 | 139,69 | 171,86 | 0,81 |
| 0:45:00 | 15 | 140,61 | 171,86 | 0,82 |
| 1:00:00 | 15 | 137,19 | 171,86 | 0,80 |
| 1:15:00 | 15 | 136,88 | 171,86 | 0,80 |
| 1:30:00 | 15 | 137,81 | 171,86 | 0,80 |
| 1:45:00 | 15 | 137,19 | 171,86 | 0,80 |
| 2:00:00 | 15 | 132,50 | 171,86 | 0,77 |
| 2:15:00 | 15 | 125,04 | 171,86 | 0,73 |
| 2:30:00 | 15 | 125,66 | 171,86 | 0,73 |
| 2:45:00 | 15 | 127,51 | 171,86 | 0,74 |
| 3:00:00 | 15 | 128,46 | 171,86 | 0,75 |
| 3:15:00 | 15 | 129,08 | 171,86 | 0,75 |
| 3:30:00 | 15 | 142,19 | 171,86 | 0,83 |
| 3:45:00 | 15 | 136,26 | 171,86 | 0,79 |
| 4:00:00 | 15 | 122,54 | 171,86 | 0,71 |
| 4:15:00 | 15 | 100,09 | 171,86 | 0,58 |
| 4:30:00 | 15 | 126,89 | 171,86 | 0,74 |
| 4:45:00 | 15 | 126,58 | 171,86 | 0,74 |
| 5:00:00 | 15 | 134,38 | 171,86 | 0,78 |
| 5:15:00 | 15 | 136,88 | 171,86 | 0,80 |
| 5:30:00 | 15 | 133,77 | 171,86 | 0,78 |
| 5:45:00 | 15 | 126,27 | 171,86 | 0,73 |
| 6:00:00 | 15 | 120,66 | 171,86 | 0,70 |
| 6:15:00 | 15 | 131,89 | 171,86 | 0,77 |
| 6:30:00 | 15 | 133,12 | 171,86 | 0,77 |
| 6:45:00 | 15 | 130,01 | 171,86 | 0,76 |
| 7:00:00 | 15 | 151,53 | 171,86 | 0,88 |
| 7:15:00 | 15 | 156,83 | 171,86 | 0,91 |
| 7:30:00 | 15 | 161,18 | 171,86 | 0,94 |
| 7:45:00 | 15 | 173,36 | 171,86 | 1,01 |
| 8:00:00 | 15 | 171,17 | 171,86 | 1,00 |

| Jam | ΔT | Debit Pemakaian | Debit Rata-rata | Koefisien Pemakaian |
|----------|---------------------|-----------------|------------------|---------------------|
| | menit | I/dt | I/dt | |
| (1) | $(I_n) - (I_{n-1})$ | (3) | (4) = AVERAGE(3) | (5)=(3)/(4) |
| 8:15:00 | 15 | 181,47 | 171,86 | 1,06 |
| 8:30:00 | 15 | 207,65 | 171,86 | 1,21 |
| 8:45:00 | 15 | 197,04 | 171,86 | 1,15 |
| 9:00:00 | 15 | 194,55 | 171,86 | 1,13 |
| 9:15:00 | 15 | 196,74 | 171,86 | 1,14 |
| 9:30:00 | 15 | 199,85 | 171,86 | 1,16 |
| 9:45:00 | 15 | 198,92 | 171,86 | 1,16 |
| 10:00:00 | 15 | 186,13 | 171,86 | 1,08 |
| 10:15:00 | 15 | 161,83 | 171,86 | 0,94 |
| 10:30:00 | 15 | 187,70 | 171,86 | 1,09 |
| 10:45:00 | 15 | 196,43 | 171,86 | 1,14 |
| 11:00:00 | 15 | 198,92 | 171,86 | 1,16 |
| 11:15:00 | 15 | 189,58 | 171,86 | 1,10 |
| 11:30:00 | 15 | 198,31 | 171,86 | 1,15 |
| 11:45:00 | 15 | 195,81 | 171,86 | 1,14 |
| 12:00:00 | 15 | 212,03 | 171,86 | 1,23 |
| 12:15:00 | 15 | 206,73 | 171,86 | 1,20 |
| 12:30:00 | 15 | 208,27 | 171,86 | 1,21 |
| 12:45:00 | 15 | 195,19 | 171,86 | 1,14 |
| 13:00:00 | 15 | 206,73 | 171,86 | 1,20 |
| 13:15:00 | 15 | 205,15 | 171,86 | 1,19 |
| 13:30:00 | 15 | 199,23 | 171,86 | 1,16 |
| 13:45:00 | 15 | 207,96 | 171,86 | 1,21 |
| 14:00:00 | 15 | 199,85 | 171,86 | 1,16 |
| 14:15:00 | 15 | 204,23 | 171,86 | 1,19 |
| 14:30:00 | 15 | 195,19 | 171,86 | 1,14 |
| 14:45:00 | 15 | 201,73 | 171,86 | 1,17 |
| 15:00:00 | 15 | 202,35 | 171,86 | 1,18 |
| 15:15:00 | 15 | 177,40 | 171,86 | 1,03 |
| 15:30:00 | 15 | 190,51 | 171,86 | 1,11 |
| 15:45:00 | 15 | 196,43 | 171,86 | 1,14 |
| 16:00:00 | 15 | 186,44 | 171,86 | 1,08 |
| 16:15:00 | 15 | 195,81 | 171,86 | 1,14 |
| 16:30:00 | 15 | 184,28 | 171,86 | 1,07 |
| 16:45:00 | 15 | 188,32 | 171,86 | 1,10 |

| Jam | ΔT | Debit Pemakaian | Debit Rata-rata | Koefisien Pemakaian |
|----------|---------------------------|-----------------|------------------|---------------------|
| | menit | I/dt | I/dt | |
| (1) | $(2) = (I_n) - (I_{n-1})$ | (3) | (4) = AVERAGE(3) | (5)=(3)/(4) |
| 17:00:00 | 15 | 193,31 | 171,86 | 1,12 |
| 17:15:00 | 15 | 194,24 | 171,86 | 1,13 |
| 17:30:00 | 15 | 196,12 | 171,86 | 1,14 |
| 17:45:00 | 15 | 187,08 | 171,86 | 1,09 |
| 18:00:00 | 15 | 182,09 | 171,86 | 1,06 |
| 18:15:00 | 15 | 185,20 | 171,86 | 1,08 |
| 18:30:00 | 15 | 193,00 | 171,86 | 1,12 |
| 18:45:00 | 15 | 190,51 | 171,86 | 1,11 |
| 19:00:00 | 15 | 187,39 | 171,86 | 1,09 |
| 19:15:00 | 15 | 183,63 | 171,86 | 1,07 |
| 19:30:00 | 15 | 195,81 | 171,86 | 1,14 |
| 19:45:00 | 15 | 205,15 | 171,86 | 1,19 |
| 20:00:00 | 15 | 206,08 | 171,86 | 1,20 |
| 20:15:00 | 15 | 208,89 | 171,86 | 1,22 |
| 20:30:00 | 15 | 209,84 | 171,86 | 1,22 |
| 20:45:00 | 15 | 194,86 | 171,86 | 1,13 |
| 21:00:00 | 15 | 199,85 | 171,86 | 1,16 |
| 21:15:00 | 15 | 194,24 | 171,86 | 1,13 |
| 21:30:00 | 15 | 178,97 | 171,86 | 1,04 |
| 21:45:00 | 15 | 167,13 | 171,86 | 0,97 |
| 22:00:00 | 15 | 169,94 | 171,86 | 0,99 |
| 22:15:00 | 15 | 169,94 | 171,86 | 0,99 |
| 22:30:00 | 15 | 171,79 | 171,86 | 1,00 |
| 22:45:00 | 15 | 154,95 | 171,86 | 0,90 |
| 23:00:00 | 15 | 155,57 | 171,86 | 0,91 |
| 23:15:00 | 15 | 150,91 | 171,86 | 0,88 |
| 23:30:00 | 15 | 159,02 | 171,86 | 0,93 |
| 23:45:00 | 15 | 159,64 | 171,86 | 0,93 |
| | Total = | 16498,78 | | |

Tabel 4.10 Perhitungan Koefisien Pemakaian Air di Semampir Wilayah Domestik(Pemukiman)

| Jam | ΔT | Debit Pemakaian | Debit Rata-rata | koefisien Pemakaian |
|---------|---------------------------|-----------------|------------------|---------------------|
| | menit | I/dt | I/dt | |
| (1) | (2) = $(I_n) - (I_{n-1})$ | (3) | (4) = AVERAGE(3) | (5)=(3)/(4) |
| 0:00:00 | 15 | 23,88 | 47,28 | 0,51 |
| 0:15:00 | 15 | 23,48 | 47,28 | 0,50 |
| 0:30:00 | 15 | 23,52 | 47,28 | 0,50 |
| 0:45:00 | 15 | 22,53 | 47,28 | 0,48 |
| 1:00:00 | 15 | 23,04 | 47,28 | 0,49 |
| 1:15:00 | 15 | 22,90 | 47,28 | 0,48 |
| 1:30:00 | 15 | 21,18 | 47,28 | 0,45 |
| 1:45:00 | 15 | 19,68 | 47,28 | 0,42 |
| 2:00:00 | 15 | 19,68 | 47,28 | 0,42 |
| 2:15:00 | 15 | 20,60 | 47,28 | 0,44 |
| 2:30:00 | 15 | 20,78 | 47,28 | 0,44 |
| 2:45:00 | 15 | 22,86 | 47,28 | 0,48 |
| 3:00:00 | 15 | 23,74 | 47,28 | 0,50 |
| 3:15:00 | 15 | 24,58 | 47,28 | 0,52 |
| 3:30:00 | 15 | 27,76 | 47,28 | 0,59 |
| 3:45:00 | 15 | 32,21 | 47,28 | 0,68 |
| 4:00:00 | 15 | 32,28 | 47,28 | 0,68 |
| 4:15:00 | 15 | 37,32 | 47,28 | 0,79 |
| 4:30:00 | 15 | 45,50 | 47,28 | 0,96 |
| 4:45:00 | 15 | 49,92 | 47,28 | 1,06 |
| 5:00:00 | 15 | 55,14 | 47,28 | 1,17 |
| 5:15:00 | 15 | 56,13 | 47,28 | 1,19 |
| 5:30:00 | 15 | 57,92 | 47,28 | 1,22 |
| 5:45:00 | 15 | 59,97 | 47,28 | 1,27 |
| 6:00:00 | 15 | 59,89 | 47,28 | 1,27 |
| 6:15:00 | 15 | 59,42 | 47,28 | 1,26 |
| 6:30:00 | 15 | 60,37 | 47,28 | 1,28 |
| 6:45:00 | 15 | 61,86 | 47,28 | 1,31 |
| 7:00:00 | 15 | 61,32 | 47,28 | 1,30 |
| 7:15:00 | 15 | 58,91 | 47,28 | 1,25 |
| 7:30:00 | 15 | 60,04 | 47,28 | 1,27 |
| 7:45:00 | 15 | 60,15 | 47,28 | 1,27 |

| Jam | ΔT | Debit Pemakaian | Debit Rata-rata | koefisien Pemakaian |
|----------|---------------------------|-----------------|------------------|---------------------|
| | menit | I/dt | I/dt | |
| (1) | $(2) = (I_n) - (I_{n-1})$ | (3) | (4) = AVERAGE(3) | (5)=(3)/(4) |
| 8:00:00 | 15 | 59,86 | 47,28 | 1,27 |
| 8:15:00 | 15 | 60,00 | 47,28 | 1,27 |
| 8:30:00 | 15 | 59,42 | 47,28 | 1,26 |
| 8:45:00 | 15 | 57,41 | 47,28 | 1,21 |
| 9:00:00 | 15 | 58,80 | 47,28 | 1,24 |
| 9:15:00 | 15 | 56,90 | 47,28 | 1,20 |
| 9:30:00 | 15 | 55,84 | 47,28 | 1,18 |
| 9:45:00 | 15 | 55,95 | 47,28 | 1,18 |
| 10:00:00 | 15 | 59,60 | 47,28 | 1,26 |
| 10:15:00 | 15 | 59,31 | 47,28 | 1,25 |
| 10:30:00 | 15 | 57,12 | 47,28 | 1,21 |
| 10:45:00 | 15 | 55,04 | 47,28 | 1,16 |
| 11:00:00 | 15 | 56,64 | 47,28 | 1,20 |
| 11:15:00 | 15 | 53,57 | 47,28 | 1,13 |
| 11:30:00 | 15 | 54,01 | 47,28 | 1,14 |
| 11:45:00 | 15 | 51,86 | 47,28 | 1,10 |
| 12:00:00 | 15 | 52,55 | 47,28 | 1,11 |
| 12:15:00 | 15 | 51,02 | 47,28 | 1,08 |
| 12:30:00 | 15 | 50,32 | 47,28 | 1,06 |
| 12:45:00 | 15 | 50,76 | 47,28 | 1,07 |
| 13:00:00 | 15 | 51,16 | 47,28 | 1,08 |
| 13:15:00 | 15 | 50,65 | 47,28 | 1,07 |
| 13:30:00 | 15 | 51,60 | 47,28 | 1,09 |
| 13:45:00 | 15 | 51,86 | 47,28 | 1,10 |
| 14:00:00 | 15 | 50,98 | 47,28 | 1,08 |
| 14:15:00 | 15 | 51,53 | 47,28 | 1,09 |
| 14:30:00 | 15 | 53,32 | 47,28 | 1,13 |
| 14:45:00 | 15 | 51,09 | 47,28 | 1,08 |
| 15:00:00 | 15 | 53,68 | 47,28 | 1,14 |
| 15:15:00 | 15 | 57,70 | 47,28 | 1,22 |
| 15:30:00 | 15 | 56,50 | 47,28 | 1,19 |
| 15:45:00 | 15 | 56,93 | 47,28 | 1,20 |
| 16:00:00 | 15 | 58,18 | 47,28 | 1,23 |
| 16:15:00 | 15 | 55,95 | 47,28 | 1,18 |
| 16:30:00 | 15 | 58,43 | 47,28 | 1,24 |

| Jam | ΔT | Debit Pemakaian | Debit Rata-rata | koefisien Pemakaian |
|----------|---------------------------|-----------------|------------------|---------------------|
| | menit | I/dt | I/dt | |
| (1) | (2) = $(I_n) - (I_{n-1})$ | (3) | (4) = AVERAGE(3) | (5)=(3)/(4) |
| 16:45:00 | 15 | 58,87 | 47,28 | 1,25 |
| 17:00:00 | 15 | 61,13 | 47,28 | 1,29 |
| 17:15:00 | 15 | 59,27 | 47,28 | 1,25 |
| 17:30:00 | 15 | 59,16 | 47,28 | 1,25 |
| 17:45:00 | 15 | 58,21 | 47,28 | 1,23 |
| 18:00:00 | 15 | 57,08 | 47,28 | 1,21 |
| 18:15:00 | 15 | 56,35 | 47,28 | 1,19 |
| 18:30:00 | 15 | 54,56 | 47,28 | 1,15 |
| 18:45:00 | 15 | 54,34 | 47,28 | 1,15 |
| 19:00:00 | 15 | 53,25 | 47,28 | 1,13 |
| 19:15:00 | 15 | 52,19 | 47,28 | 1,10 |
| 19:30:00 | 15 | 49,78 | 47,28 | 1,05 |
| 19:45:00 | 15 | 48,32 | 47,28 | 1,02 |
| 20:00:00 | 15 | 47,15 | 47,28 | 1,00 |
| 20:15:00 | 15 | 46,96 | 47,28 | 0,99 |
| 20:30:00 | 15 | 45,72 | 47,28 | 0,97 |
| 20:45:00 | 15 | 47,37 | 47,28 | 1,00 |
| 21:00:00 | 15 | 44,85 | 47,28 | 0,95 |
| 21:15:00 | 15 | 46,16 | 47,28 | 0,98 |
| 21:30:00 | 15 | 42,51 | 47,28 | 0,90 |
| 21:45:00 | 15 | 41,71 | 47,28 | 0,88 |
| 22:00:00 | 15 | 43,42 | 47,28 | 0,92 |
| 22:15:00 | 15 | 39,40 | 47,28 | 0,83 |
| 22:30:00 | 15 | 39,00 | 47,28 | 0,82 |
| 22:45:00 | 15 | 35,50 | 47,28 | 0,75 |
| 23:00:00 | 15 | 35,72 | 47,28 | 0,76 |
| 23:15:00 | 15 | 31,41 | 47,28 | 0,66 |
| 23:30:00 | 15 | 27,79 | 47,28 | 0,59 |
| 23:45:00 | 15 | 28,05 | 47,28 | 0,59 |
| Total = | | 4539,33 | | |

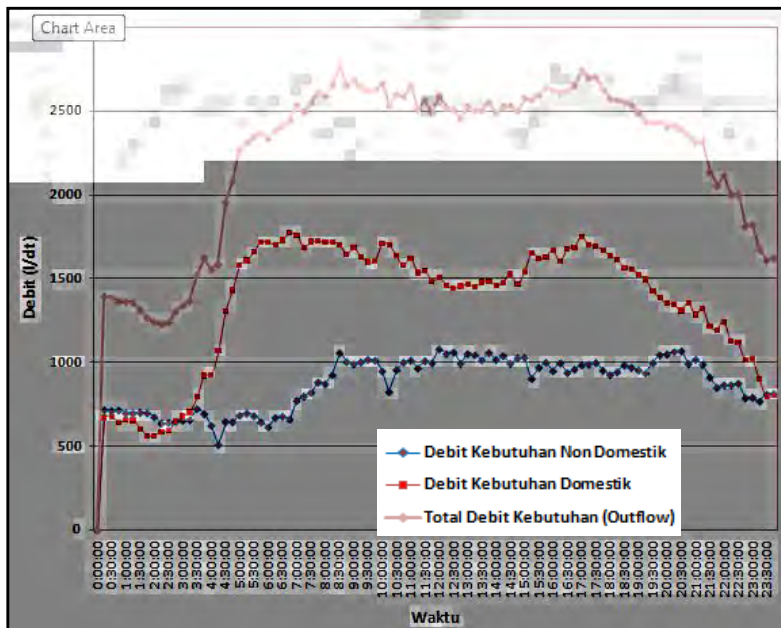
Dengan mengalikan debit kebutuhan air dengan koefisien pemakaian air, diharapkan hasil perhitungan debit kebutuhan air pelanggan akan mendekati keadaan lapangan. Perhitungannya sebagai berikut:

Tabel 4.11 Total Debit Kebutuhan (*Outflow*)

| Jam | Debit Maksimum Rata-rata | Domestik (Pemukiman) | | Non Domestik (Industri) | | Total Debit Kebutuhan (Outflow) |
|---------|--------------------------------|------------------------------------|-----------------------------|---|---------------------------------|---------------------------------------|
| | | koefisien Pemakaian Domestik | Debit Kebutuhan Domestik | koefisien Pemakaian Non Domestik | Debit Kebutuhan Non Domestik | |
| | | | lt/dt | | lt/dt | |
| (1) | (2) | (3) | (4)=(2)x(3)x0,61 | (5) | (6)=(2)x(5)x0,39 | (7)=(4)+(6) |
| 0:00:00 | 0 | 0 | 0 | 0 | 0 | 0 |
| 0:15:00 | 2.234 | 0,50 | 674,32 | 0,82 | 718,25 | 1.392,57 |
| 0:30:00 | 2.234 | 0,50 | 675,37 | 0,81 | 711,95 | 1.387,32 |
| 0:45:00 | 2.234 | 0,48 | 647,06 | 0,82 | 716,67 | 1.363,73 |
| 1:00:00 | 2.234 | 0,49 | 661,74 | 0,80 | 699,22 | 1.360,96 |
| 1:15:00 | 2.234 | 0,48 | 657,54 | 0,80 | 697,65 | 1.355,19 |
| 1:30:00 | 2.234 | 0,45 | 608,25 | 0,80 | 702,37 | 1.310,62 |
| 1:45:00 | 2.234 | 0,42 | 565,26 | 0,80 | 699,22 | 1.264,48 |
| 2:00:00 | 2.234 | 0,42 | 565,26 | 0,77 | 675,34 | 1.240,60 |
| 2:15:00 | 2.234 | 0,44 | 591,47 | 0,73 | 637,30 | 1.228,77 |
| 2:30:00 | 2.234 | 0,44 | 596,72 | 0,73 | 640,44 | 1.237,16 |
| 2:45:00 | 2.234 | 0,48 | 656,49 | 0,74 | 649,88 | 1.306,38 |
| 3:00:00 | 2.234 | 0,50 | 681,66 | 0,75 | 654,74 | 1.336,41 |
| 3:15:00 | 2.234 | 0,52 | 705,78 | 0,75 | 657,89 | 1.363,68 |
| 3:30:00 | 2.234 | 0,59 | 797,02 | 0,83 | 724,68 | 1.521,70 |
| 3:45:00 | 2.234 | 0,68 | 924,97 | 0,79 | 694,50 | 1.619,47 |
| 4:00:00 | 2.234 | 0,68 | 927,06 | 0,71 | 624,57 | 1.551,63 |
| 4:15:00 | 2.234 | 0,79 | 1071,79 | 0,58 | 510,15 | 1.581,94 |
| 4:30:00 | 2.234 | 0,96 | 1306,70 | 0,74 | 646,74 | 1.953,43 |
| 4:45:00 | 2.234 | 1,06 | 1433,59 | 0,74 | 645,16 | 2.078,75 |
| 5:00:00 | 2.234 | 1,17 | 1583,56 | 0,78 | 684,92 | 2.268,48 |
| 5:15:00 | 2.234 | 1,19 | 1611,87 | 0,80 | 697,65 | 2.309,52 |
| 5:30:00 | 2.234 | 1,22 | 1663,26 | 0,78 | 681,78 | 2.345,03 |
| 5:45:00 | 2.234 | 1,27 | 1721,99 | 0,73 | 643,59 | 2.365,58 |
| 6:00:00 | 2.234 | 1,27 | 1719,89 | 0,70 | 614,99 | 2.334,88 |
| 6:15:00 | 2.234 | 1,26 | 1706,26 | 0,77 | 672,19 | 2.378,45 |
| 6:30:00 | 2.234 | 1,28 | 1733,52 | 0,77 | 678,49 | 2.412,01 |
| 6:45:00 | 2.234 | 1,31 | 1776,52 | 0,76 | 662,61 | 2.439,13 |
| 7:00:00 | 2.234 | 1,30 | 1760,79 | 0,88 | 772,31 | 2.533,10 |
| 7:15:00 | 2.234 | 1,25 | 1691,57 | 0,91 | 799,34 | 2.490,91 |
| 7:30:00 | 2.234 | 1,27 | 1724,08 | 0,94 | 821,51 | 2.545,59 |
| 7:45:00 | 2.234 | 1,27 | 1727,23 | 1,01 | 883,58 | 2.610,81 |

| Jam | Debit Maksimum Rata-rata | Domestik (Pemukiman) | | Non Domestik (Industri) | | Total Debit Kebutuhan (Outflow) |
|---------|--------------------------------|------------------------------------|-----------------------------|---|---------------------------------|---------------------------------------|
| | | koefisien Pemakaian Domestik | Debit Kebutuhan Domestik | koefisien Pemakaian Non Domestik | Debit Kebutuhan Non Domestik | |
| | | | lt/dt | | lt/dt | |
| (1) | (2) | (3) | (4)=(2)x(3)x0,61 | (5) | (6)=(2)x(5)x0,39 | (7)=(4)+(6) |
| 8:00:00 | 2.234 | 1,27 | 1718,84 | 1,00 | 872,42 | 2.591,26 |
| 8:15:00 | 2.234 | 1,27 | 1723,04 | 1,06 | 924,91 | 2.647,95 |
| 8:30:00 | 2.234 | 1,26 | 1706,26 | 1,21 | 1058,35 | 2.764,60 |
| 8:45:00 | 2.234 | 1,21 | 1648,58 | 1,15 | 1004,29 | 2.652,86 |
| 9:00:00 | 2.234 | 1,24 | 1688,43 | 1,13 | 991,56 | 2.679,98 |
| 9:15:00 | 2.234 | 1,20 | 1633,90 | 1,14 | 1002,71 | 2.636,61 |
| 9:30:00 | 2.234 | 1,18 | 1603,48 | 1,16 | 1018,59 | 2.622,07 |
| 9:45:00 | 2.234 | 1,18 | 1606,63 | 1,16 | 1013,87 | 2.620,50 |
| 10:00:0 | 2.234 | 1,26 | 1711,50 | 1,08 | 948,65 | 2.660,15 |
| 10:15:0 | 2.234 | 1,25 | 1703,11 | 0,94 | 824,80 | 2.527,91 |
| 10:30:0 | 2.234 | 1,21 | 1640,19 | 1,09 | 956,66 | 2.596,85 |
| 10:45:0 | 2.234 | 1,16 | 1580,41 | 1,14 | 1001,14 | 2.581,55 |
| 11:00:0 | 2.234 | 1,20 | 1626,55 | 1,16 | 1013,87 | 2.640,42 |
| 11:15:0 | 2.234 | 1,13 | 1538,46 | 1,10 | 966,24 | 2.504,70 |
| 11:30:0 | 2.234 | 1,14 | 1551,05 | 1,15 | 1010,72 | 2.561,77 |
| 11:45:0 | 2.234 | 1,10 | 1489,17 | 1,14 | 997,99 | 2.487,17 |
| 12:00:0 | 2.234 | 1,11 | 1509,10 | 1,23 | 1080,66 | 2.589,76 |
| 12:15:0 | 2.234 | 1,08 | 1465,05 | 1,20 | 1053,63 | 2.518,68 |
| 12:30:0 | 2.234 | 1,06 | 1445,13 | 1,21 | 1061,49 | 2.506,62 |
| 12:45:0 | 2.234 | 1,07 | 1457,71 | 1,14 | 994,85 | 2.452,56 |
| 13:00:0 | 2.234 | 1,08 | 1469,25 | 1,20 | 1053,63 | 2.522,87 |
| 13:15:0 | 2.234 | 1,07 | 1454,57 | 1,19 | 1045,62 | 2.500,18 |
| 13:30:0 | 2.234 | 1,09 | 1481,83 | 1,16 | 1015,44 | 2.497,27 |
| 13:45:0 | 2.234 | 1,10 | 1489,17 | 1,21 | 1059,92 | 2.549,09 |
| 14:00:0 | 2.234 | 1,08 | 1464,00 | 1,16 | 1018,59 | 2.482,59 |
| 14:15:0 | 2.234 | 1,09 | 1479,73 | 1,19 | 1040,90 | 2.520,63 |
| 14:30:0 | 2.234 | 1,13 | 1531,12 | 1,14 | 994,85 | 2.525,97 |
| 14:45:0 | 2.234 | 1,08 | 1467,15 | 1,17 | 1028,17 | 2.495,32 |
| 15:00:0 | 2.234 | 1,14 | 1541,61 | 1,18 | 1031,32 | 2.572,92 |
| 15:15:0 | 2.234 | 1,22 | 1656,97 | 1,03 | 904,17 | 2.561,14 |
| 15:30:0 | 2.234 | 1,19 | 1622,36 | 1,11 | 970,96 | 2.593,32 |
| 15:45:0 | 2.234 | 1,20 | 1634,94 | 1,14 | 1001,14 | 2.636,08 |
| 16:00:0 | 2.234 | 1,23 | 1670,60 | 1,08 | 950,22 | 2.620,82 |

| Jam | Debit Maksimum Rata-rata | Domestik (Pemukiman) | | Non Domestik (Industri) | | Total Debit Kebutuhan (Outflow) |
|---------|--------------------------------|------------------------------------|-----------------------------|---|---------------------------------|---------------------------------------|
| | | koefisien Pemakaian Domestik | Debit Kebutuhan Domestik | koefisien Pemakaian Non Domestik | Debit Kebutuhan Non Domestik | |
| | | | It/dt | | It/dt | |
| (1) | (2) | (3) | (4)=(2)x(3)x0,61 | (5) | (6)=(2)x(5)x0,39 | (7)=(4)+(6) |
| 16:15:0 | 2.234 | 1,18 | 1606,63 | 1,14 | 997,99 | 2.604,62 |
| 16:30:0 | 2.234 | 1,24 | 1677,94 | 1,07 | 939,21 | 2.617,15 |
| 16:45:0 | 2.234 | 1,25 | 1690,53 | 1,10 | 959,81 | 2.650,33 |
| 17:00:0 | 2.234 | 1,29 | 1755,55 | 1,12 | 985,26 | 2.740,81 |
| 17:15:0 | 2.234 | 1,25 | 1702,06 | 1,13 | 989,98 | 2.692,05 |
| 17:30:0 | 2.234 | 1,25 | 1698,92 | 1,14 | 999,57 | 2.698,48 |
| 17:45:0 | 2.234 | 1,23 | 1671,65 | 1,09 | 953,51 | 2.625,16 |
| 18:00:0 | 2.234 | 1,21 | 1639,14 | 1,06 | 928,06 | 2.567,19 |
| 18:15:0 | 2.234 | 1,19 | 1618,16 | 1,08 | 943,93 | 2.562,10 |
| 18:30:0 | 2.234 | 1,15 | 1566,78 | 1,12 | 983,69 | 2.550,47 |
| 18:45:0 | 2.234 | 1,15 | 1560,49 | 1,11 | 970,96 | 2.531,45 |
| 19:00:0 | 2.234 | 1,13 | 1529,02 | 1,09 | 955,09 | 2.484,11 |
| 19:15:0 | 2.234 | 1,10 | 1498,61 | 1,07 | 935,92 | 2.434,53 |
| 19:30:0 | 2.234 | 1,05 | 1429,40 | 1,14 | 997,99 | 2.427,39 |
| 19:45:0 | 2.234 | 1,02 | 1387,45 | 1,19 | 1045,62 | 2.433,07 |
| 20:00:0 | 2.234 | 1,00 | 1353,89 | 1,20 | 1050,34 | 2.404,23 |
| 20:15:0 | 2.234 | 0,99 | 1348,65 | 1,22 | 1064,64 | 2.413,28 |
| 20:30:0 | 2.234 | 0,97 | 1312,99 | 1,22 | 1069,50 | 2.382,49 |
| 20:45:0 | 2.234 | 1,00 | 1360,18 | 1,13 | 993,13 | 2.353,31 |
| 21:00:0 | 2.234 | 0,95 | 1287,82 | 1,16 | 1018,59 | 2.306,41 |
| 21:15:0 | 2.234 | 0,98 | 1325,57 | 1,13 | 989,98 | 2.315,56 |
| 21:30:0 | 2.234 | 0,90 | 1220,70 | 1,04 | 912,18 | 2.132,88 |
| 21:45:0 | 2.234 | 0,88 | 1197,63 | 0,97 | 851,83 | 2.049,46 |
| 22:00:0 | 2.234 | 0,92 | 1246,92 | 0,99 | 866,13 | 2.113,05 |
| 22:15:0 | 2.234 | 0,83 | 1131,56 | 0,99 | 866,13 | 1.997,69 |
| 22:30:0 | 2.234 | 0,82 | 1120,03 | 1,00 | 875,57 | 1.995,59 |
| 22:45:0 | 2.234 | 0,75 | 1019,35 | 0,90 | 789,76 | 1.809,10 |
| 23:00:0 | 2.234 | 0,76 | 1025,64 | 0,91 | 792,90 | 1.818,54 |
| 23:15:0 | 2.234 | 0,66 | 901,89 | 0,88 | 769,16 | 1.671,05 |
| 23:30:0 | 2.234 | 0,59 | 798,07 | 0,93 | 810,49 | 1.608,56 |
| 23:45:0 | 2.234 | 0,59 | 805,41 | 0,93 | 813,64 | 1.619,05 |
| | | | | | Total | 213.019,64 |



Gambar 4.4Grafik Fluktuasi Pemakaian Air

Dari perhitungan diplotkan menjadi grafik sehingga dapat dilihat pada gambar 4.4 di atas. Pada grafik terlihat perbedaan penggunaan air pada jam tertentu mengalami fluktuasi.

4.5 Volume Reservoir

Mencari volume *reservoir* yang akan dibuat dilakukan dengan 2 cara. Perhitungan yang pertama dengan cara pengoperasian (tabel 4.12) lalu dibuat diagramnya (gambar 4.5).

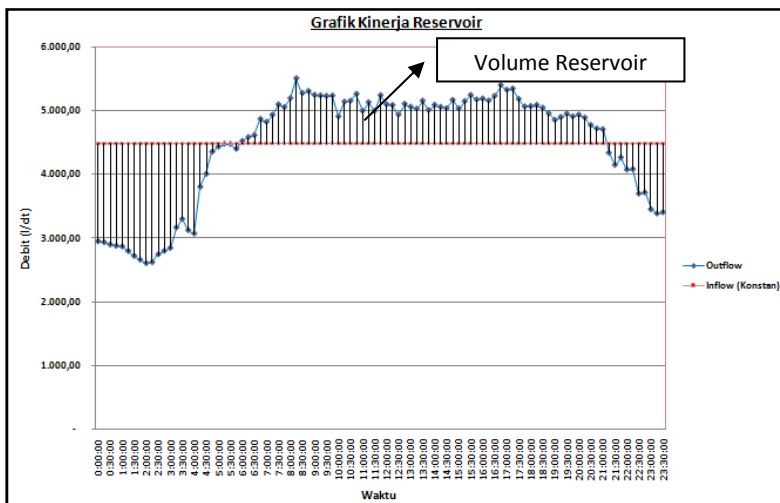
Tabel 4.12 Perhitungan Volume dengan Cara Pengoperasian

| Jam | Debit | | Kekurangan Debit | |
|---------|-----------|----------------|------------------|------------------------------------|
| | Kebutuhan | Pompa | It/dt | Volume Reservoir (m ³) |
| (1) | (2) | (3)=AVERAGE(2) | (4)=(2)-(3) | (5)=(4)*(15*60/1000) |
| 0:00:00 | 0 | 0 | 0 | 0,00 |
| 0:15:00 | 1392,57 | 2242,31 | 0,00 | 0,00 |
| 0:30:00 | 1387,32 | 2242,31 | 0,00 | 0,00 |
| 0:45:00 | 1363,73 | 2242,31 | 0,00 | 0,00 |
| 1:00:00 | 1360,96 | 2242,31 | 0,00 | 0,00 |
| 1:15:00 | 1355,19 | 2242,31 | 0,00 | 0,00 |
| 1:30:00 | 1310,62 | 2242,31 | 0,00 | 0,00 |
| 1:45:00 | 1264,48 | 2242,31 | 0,00 | 0,00 |
| 2:00:00 | 1240,60 | 2242,31 | 0,00 | 0,00 |
| 2:15:00 | 1228,77 | 2242,31 | 0,00 | 0,00 |
| 2:30:00 | 1237,16 | 2242,31 | 0,00 | 0,00 |
| 2:45:00 | 1306,38 | 2242,31 | 0,00 | 0,00 |
| 3:00:00 | 1336,41 | 2242,31 | 0,00 | 0,00 |
| 3:15:00 | 1363,68 | 2242,31 | 0,00 | 0,00 |
| 3:30:00 | 1521,70 | 2242,31 | 0,00 | 0,00 |
| 3:45:00 | 1619,47 | 2242,31 | 0,00 | 0,00 |
| 4:00:00 | 1551,63 | 2242,31 | 0,00 | 0,00 |
| 4:15:00 | 1581,94 | 2242,31 | 0,00 | 0,00 |
| 4:30:00 | 1953,43 | 2242,31 | 0,00 | 0,00 |
| 4:45:00 | 2078,75 | 2242,31 | 0,00 | 0,00 |
| 5:00:00 | 2268,48 | 2242,31 | 26,17 | 23,55 |
| 5:15:00 | 2309,52 | 2242,31 | 67,21 | 60,49 |
| 5:30:00 | 2345,03 | 2242,31 | 102,72 | 92,45 |
| 5:45:00 | 2365,58 | 2242,31 | 123,26 | 110,94 |
| 6:00:00 | 2334,88 | 2242,31 | 92,56 | 83,31 |
| 6:15:00 | 2378,45 | 2242,31 | 136,14 | 122,52 |
| 6:30:00 | 2412,01 | 2242,31 | 169,70 | 152,73 |
| 6:45:00 | 2439,13 | 2242,31 | 196,82 | 177,14 |
| 7:00:00 | 2533,10 | 2242,31 | 290,78 | 261,71 |

| Jam | Debit | | Kekurangan Debit | |
|----------|-----------|----------------|------------------|------------------------------------|
| | Kebutuhan | Pompa | It/dt | Volume Reservoir (m ³) |
| (1) | (2) | (3)=AVERAGE(2) | (4)=(2)-(3) | (5)=(4)*(15*60/1000) |
| 7:15:00 | 2490,91 | 2242,31 | 248,60 | 223,74 |
| 7:30:00 | 2545,59 | 2242,31 | 303,28 | 272,95 |
| 7:45:00 | 2610,81 | 2242,31 | 368,50 | 331,65 |
| 8:00:00 | 2591,26 | 2242,31 | 348,95 | 314,06 |
| 8:15:00 | 2647,95 | 2242,31 | 405,63 | 365,07 |
| 8:30:00 | 2764,60 | 2242,31 | 522,29 | 470,06 |
| 8:45:00 | 2652,86 | 2242,31 | 410,55 | 369,50 |
| 9:00:00 | 2679,98 | 2242,31 | 437,67 | 393,91 |
| 9:15:00 | 2636,61 | 2242,31 | 394,30 | 354,87 |
| 9:30:00 | 2622,07 | 2242,31 | 379,76 | 341,78 |
| 9:45:00 | 2620,50 | 2242,31 | 378,18 | 340,37 |
| 10:00:00 | 2660,15 | 2242,31 | 417,84 | 376,05 |
| 10:15:00 | 2527,91 | 2242,31 | 285,59 | 257,03 |
| 10:30:00 | 2596,85 | 2242,31 | 354,54 | 319,08 |
| 10:45:00 | 2581,55 | 2242,31 | 339,24 | 305,31 |
| 11:00:00 | 2640,42 | 2242,31 | 398,11 | 358,30 |
| 11:15:00 | 2504,70 | 2242,31 | 262,39 | 236,15 |
| 11:30:00 | 2561,77 | 2242,31 | 319,46 | 287,51 |
| 11:45:00 | 2487,17 | 2242,31 | 244,85 | 220,37 |
| 12:00:00 | 2589,76 | 2242,31 | 347,44 | 312,70 |
| 12:15:00 | 2518,68 | 2242,31 | 276,37 | 248,73 |
| 12:30:00 | 2506,62 | 2242,31 | 264,31 | 237,88 |
| 12:45:00 | 2452,56 | 2242,31 | 210,25 | 189,22 |
| 13:00:00 | 2522,87 | 2242,31 | 280,56 | 252,51 |
| 13:15:00 | 2500,18 | 2242,31 | 257,87 | 232,08 |
| 13:30:00 | 2497,27 | 2242,31 | 254,96 | 229,46 |
| 13:45:00 | 2549,09 | 2242,31 | 306,78 | 276,10 |
| 14:00:00 | 2482,59 | 2242,31 | 240,28 | 216,25 |
| 14:15:00 | 2520,63 | 2242,31 | 278,32 | 250,49 |
| 14:30:00 | 2525,97 | 2242,31 | 283,66 | 255,29 |
| 14:45:00 | 2495,32 | 2242,31 | 253,01 | 227,71 |
| 15:00:00 | 2572,92 | 2242,31 | 330,61 | 297,55 |
| 15:15:00 | 2561,14 | 2242,31 | 318,83 | 286,94 |
| 15:30:00 | 2593,32 | 2242,31 | 351,01 | 315,91 |
| 15:45:00 | 2636,08 | 2242,31 | 393,77 | 354,39 |

| Jam | Debit | | Kekurangan Debit | |
|----------|-----------|--------------------|------------------|------------------------------------|
| | Kebutuhan | Pompa | | |
| | It/dt | It/dt | It/dt | Volume Reservoir (m ³) |
| (1) | (2) | (3)=AVERAGE(2) | (4)=(2)-(3) | (5)=(4)*(15*60/1000) |
| 16:00:00 | 2620,82 | 2242,31 | 378,51 | 340,66 |
| 16:15:00 | 2604,62 | 2242,31 | 362,31 | 326,08 |
| 16:30:00 | 2617,15 | 2242,31 | 374,84 | 337,36 |
| 16:45:00 | 2650,33 | 2242,31 | 408,02 | 367,22 |
| 17:00:00 | 2740,81 | 2242,31 | 498,50 | 448,65 |
| 17:15:00 | 2692,05 | 2242,31 | 449,73 | 404,76 |
| 17:30:00 | 2698,48 | 2242,31 | 456,17 | 410,55 |
| 17:45:00 | 2625,16 | 2242,31 | 382,85 | 344,57 |
| 18:00:00 | 2567,19 | 2242,31 | 324,88 | 292,39 |
| 18:15:00 | 2562,10 | 2242,31 | 319,78 | 287,81 |
| 18:30:00 | 2550,47 | 2242,31 | 308,16 | 277,34 |
| 18:45:00 | 2531,45 | 2242,31 | 289,14 | 260,22 |
| 19:00:00 | 2484,11 | 2242,31 | 241,80 | 217,62 |
| 19:15:00 | 2434,53 | 2242,31 | 192,22 | 173,00 |
| 19:30:00 | 2427,39 | 2242,31 | 185,08 | 166,57 |
| 19:45:00 | 2433,07 | 2242,31 | 190,75 | 171,68 |
| 20:00:00 | 2404,23 | 2242,31 | 161,91 | 145,72 |
| 20:15:00 | 2413,28 | 2242,31 | 170,97 | 153,88 |
| 20:30:00 | 2382,49 | 2242,31 | 140,18 | 126,16 |
| 20:45:00 | 2353,31 | 2242,31 | 111,00 | 99,90 |
| 21:00:00 | 2306,41 | 2242,31 | 64,10 | 57,69 |
| 21:15:00 | 2315,56 | 2242,31 | 73,24 | 65,92 |
| 21:30:00 | 2132,88 | 2242,31 | 0,00 | 0,00 |
| 21:45:00 | 2049,46 | 2242,31 | 0,00 | 0,00 |
| 22:00:00 | 2113,05 | 2242,31 | 0,00 | 0,00 |
| 22:15:00 | 1997,69 | 2242,31 | 0,00 | 0,00 |
| 22:30:00 | 1995,59 | 2242,31 | 0,00 | 0,00 |
| 22:45:00 | 1809,10 | 2242,31 | 0,00 | 0,00 |
| 23:00:00 | 1818,54 | 2242,31 | 0,00 | 0,00 |
| 23:15:00 | 1671,05 | 2242,31 | 0,00 | 0,00 |
| 23:30:00 | 1608,56 | 2242,31 | 0,00 | 0,00 |
| 23:45:00 | 1619,05 | 2242,31 | 0,00 | 0,00 |
| | 213019,64 | Volume Reservoir = | | 16881,54 |

Hasil dari perhitungan tabel di atas dibuat diagram sebagai berikut:



Gambar 4.5 Diagram Volume *Reservoir* Cara Pengoperasian

Perhitungan volume yang kedua dengan cara lengkung “S”. Tabel perhitungan cara kedua bisa dilihat tabel 4.13.

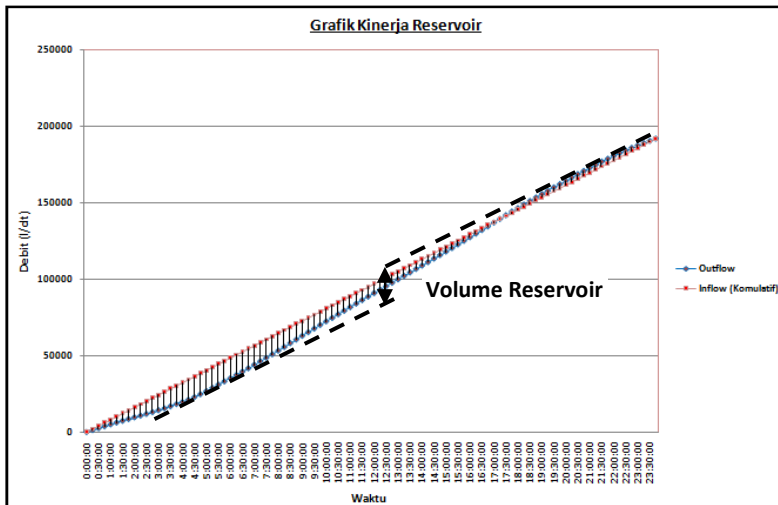
Tabel 4.13 Perhitungan Volume dengan cara lengkung “S”.

| Jam | Debit | | Debit Komulatif | | |
|---------|-----------|----------------|-----------------|----------------------|----------------------|
| | Kebutuhan | Pompa | Kebutuhan | Pompa | Selisih |
| | lt/dt | lt/dt | m3 | m3 | m3 |
| (1) | (2) | (3)=AVERAGE(2) | (4)=(2)-(3) | (5)=(4)*(15*60/1000) | (5)=(4)*(15*60/1000) |
| 0:00:00 | 0 | 0 | 0 | 0 | 0,00 |
| 0:15:00 | 1392,57 | 2242,31 | 1253 | 2018 | 764,77 |
| 0:30:00 | 1387,32 | 2242,31 | 2502 | 4036 | 1534,26 |
| 0:45:00 | 1363,73 | 2242,31 | 3729 | 6054 | 2324,98 |
| 1:00:00 | 1360,96 | 2242,31 | 4954 | 8072 | 3118,20 |
| 1:15:00 | 1355,19 | 2242,31 | 6174 | 10090 | 3916,60 |
| 1:30:00 | 1310,62 | 2242,31 | 7353 | 12108 | 4755,12 |
| 1:45:00 | 1264,48 | 2242,31 | 8491 | 14127 | 5635,17 |
| 2:00:00 | 1240,60 | 2242,31 | 9608 | 16145 | 6536,72 |
| 2:15:00 | 1228,77 | 2242,31 | 10714 | 18163 | 7448,90 |
| 2:30:00 | 1237,16 | 2242,31 | 11827 | 20181 | 8353,54 |
| 2:45:00 | 1306,38 | 2242,31 | 13003 | 22199 | 9195,88 |
| 3:00:00 | 1336,41 | 2242,31 | 14206 | 24217 | 10011,20 |
| 3:15:00 | 1363,68 | 2242,31 | 15433 | 26235 | 10801,97 |
| 3:30:00 | 1521,70 | 2242,31 | 16803 | 28253 | 11450,52 |
| 3:45:00 | 1619,47 | 2242,31 | 18260 | 30271 | 12011,07 |
| 4:00:00 | 1551,63 | 2242,31 | 19657 | 32289 | 12632,69 |
| 4:15:00 | 1581,94 | 2242,31 | 21080 | 34307 | 13227,03 |
| 4:30:00 | 1953,43 | 2242,31 | 22838 | 36325 | 13487,02 |
| 4:45:00 | 2078,75 | 2242,31 | 24709 | 38344 | 13634,22 |
| 5:00:00 | 2268,48 | 2242,31 | 26751 | 40362 | 13610,67 |
| 5:15:00 | 2309,52 | 2242,31 | 28830 | 42380 | 13550,18 |
| 5:30:00 | 2345,03 | 2242,31 | 30940 | 44398 | 13457,73 |
| 5:45:00 | 2365,58 | 2242,31 | 33069 | 46416 | 13346,79 |
| 6:00:00 | 2334,88 | 2242,31 | 35170 | 48434 | 13263,48 |
| 6:15:00 | 2378,45 | 2242,31 | 37311 | 50452 | 13140,96 |
| 6:30:00 | 2412,01 | 2242,31 | 39482 | 52470 | 12988,23 |
| 6:45:00 | 2439,13 | 2242,31 | 41677 | 54488 | 12811,09 |
| 7:00:00 | 2533,10 | 2242,31 | 43957 | 56506 | 12549,39 |
| 7:15:00 | 2490,91 | 2242,31 | 46199 | 58524 | 12325,65 |
| 7:30:00 | 2545,59 | 2242,31 | 48490 | 60542 | 12052,70 |

| Jam | Debit | | Debit Komulatif | | |
|----------|-----------|----------------|-----------------|----------------------|----------------------|
| | Kebutuhan | Pompa | Kebutuhan | Pompa | Selisih |
| | lt/dt | lt/dt | m3 | m3 | m3 |
| (1) | (2) | (3)=AVERAGE(2) | (4)=(2)-(3) | (5)=(4)*(15*60/1000) | (5)=(4)*(15*60/1000) |
| 7:45:00 | 2610,81 | 2242,31 | 50839 | 62561 | 11721,05 |
| 8:00:00 | 2591,26 | 2242,31 | 53172 | 64579 | 11407,00 |
| 8:15:00 | 2647,95 | 2242,31 | 55555 | 66597 | 11041,93 |
| 8:30:00 | 2764,60 | 2242,31 | 58043 | 68615 | 10571,86 |
| 8:45:00 | 2652,86 | 2242,31 | 60430 | 70633 | 10202,37 |
| 9:00:00 | 2679,98 | 2242,31 | 62842 | 72651 | 9808,46 |
| 9:15:00 | 2636,61 | 2242,31 | 65215 | 74669 | 9453,60 |
| 9:30:00 | 2622,07 | 2242,31 | 67575 | 76687 | 9111,82 |
| 9:45:00 | 2620,50 | 2242,31 | 69934 | 78705 | 8771,45 |
| 10:00:00 | 2660,15 | 2242,31 | 72328 | 80723 | 8395,39 |
| 10:15:00 | 2527,91 | 2242,31 | 74603 | 82741 | 8138,36 |
| 10:30:00 | 2596,85 | 2242,31 | 76940 | 84759 | 7819,28 |
| 10:45:00 | 2581,55 | 2242,31 | 79264 | 86777 | 7513,96 |
| 11:00:00 | 2640,42 | 2242,31 | 81640 | 88796 | 7155,67 |
| 11:15:00 | 2504,70 | 2242,31 | 83894 | 90814 | 6919,51 |
| 11:30:00 | 2561,77 | 2242,31 | 86200 | 92832 | 6632,00 |
| 11:45:00 | 2487,17 | 2242,31 | 88438 | 94850 | 6411,63 |
| 12:00:00 | 2589,76 | 2242,31 | 90769 | 96868 | 6098,93 |
| 12:15:00 | 2518,68 | 2242,31 | 93036 | 98886 | 5850,20 |
| 12:30:00 | 2506,62 | 2242,31 | 95292 | 100904 | 5612,33 |
| 12:45:00 | 2452,56 | 2242,31 | 97499 | 102922 | 5423,10 |
| 13:00:00 | 2522,87 | 2242,31 | 99770 | 104940 | 5170,60 |
| 13:15:00 | 2500,18 | 2242,31 | 102020 | 106958 | 4938,51 |
| 13:30:00 | 2497,27 | 2242,31 | 104267 | 108976 | 4709,05 |
| 13:45:00 | 2549,09 | 2242,31 | 106561 | 110994 | 4432,95 |
| 14:00:00 | 2482,59 | 2242,31 | 108796 | 113013 | 4216,70 |
| 14:15:00 | 2520,63 | 2242,31 | 111064 | 115031 | 3966,21 |
| 14:30:00 | 2525,97 | 2242,31 | 113338 | 117049 | 3710,92 |
| 14:45:00 | 2495,32 | 2242,31 | 115584 | 119067 | 3483,21 |
| 15:00:00 | 2572,92 | 2242,31 | 117899 | 121085 | 3185,66 |
| 15:15:00 | 2561,14 | 2242,31 | 120204 | 123103 | 2898,71 |
| 15:30:00 | 2593,32 | 2242,31 | 122538 | 125121 | 2582,81 |
| 15:45:00 | 2636,08 | 2242,31 | 124911 | 127139 | 2228,41 |
| 16:00:00 | 2620,82 | 2242,31 | 127269 | 129157 | 1887,75 |
| 16:15:00 | 2604,62 | 2242,31 | 129614 | 131175 | 1561,67 |

| Jam | Debit | | Debit Komulatif | | |
|---|-----------|----------------|-----------------|----------------------|----------------------|
| | Kebutuhan | Pompa | Kebutuhan | Pompa | Selisih |
| | lt/dt | lt/dt | m3 | m3 | m3 |
| (1) | (2) | (3)=AVERAGE(2) | (4)=(2)-(3) | (5)=(4)*(15*60/1000) | (5)=(4)*(15*60/1000) |
| 16:30:00 | 2617,15 | 2242,31 | 131969 | 133193 | 1224,32 |
| 16:45:00 | 2650,33 | 2242,31 | 134354 | 135211 | 857,10 |
| 17:00:00 | 2740,81 | 2242,31 | 136821 | 137229 | 408,45 |
| 17:15:00 | 2692,05 | 2242,31 | 139244 | 139248 | 3,69 |
| 17:30:00 | 2698,48 | 2242,31 | 141673 | 141266 | -406,86 |
| 17:45:00 | 2625,16 | 2242,31 | 144035 | 143284 | -751,43 |
| 18:00:00 | 2567,19 | 2242,31 | 146346 | 145302 | -1043,82 |
| 18:15:00 | 2562,10 | 2242,31 | 148652 | 147320 | -1331,63 |
| 18:30:00 | 2550,47 | 2242,31 | 150947 | 149338 | -1608,97 |
| 18:45:00 | 2531,45 | 2242,31 | 153225 | 151356 | -1869,19 |
| 19:00:00 | 2484,11 | 2242,31 | 155461 | 153374 | -2086,81 |
| 19:15:00 | 2434,53 | 2242,31 | 157652 | 155392 | -2259,81 |
| 19:30:00 | 2427,39 | 2242,31 | 159837 | 157410 | -2426,37 |
| 19:45:00 | 2433,07 | 2242,31 | 162026 | 159428 | -2598,05 |
| 20:00:00 | 2404,23 | 2242,31 | 164190 | 161446 | -2743,78 |
| 20:15:00 | 2413,28 | 2242,31 | 166362 | 163465 | -2897,65 |
| 20:30:00 | 2382,49 | 2242,31 | 168506 | 165483 | -3023,81 |
| 20:45:00 | 2353,31 | 2242,31 | 170624 | 167501 | -3123,71 |
| 21:00:00 | 2306,41 | 2242,31 | 172700 | 169519 | -3181,40 |
| 21:15:00 | 2315,56 | 2242,31 | 174784 | 171537 | -3247,32 |
| 21:30:00 | 2132,88 | 2242,31 | 176704 | 173555 | -3148,83 |
| 21:45:00 | 2049,46 | 2242,31 | 178548 | 175573 | -2975,26 |
| 22:00:00 | 2113,05 | 2242,31 | 180450 | 177591 | -2858,92 |
| 22:15:00 | 1997,69 | 2242,31 | 182248 | 179609 | -2638,76 |
| 22:30:00 | 1995,59 | 2242,31 | 184044 | 181627 | -2416,72 |
| 22:45:00 | 1809,10 | 2242,31 | 185672 | 183645 | -2026,83 |
| 23:00:00 | 1818,54 | 2242,31 | 187309 | 185663 | -1645,44 |
| 23:15:00 | 1671,05 | 2242,31 | 188813 | 187682 | -1131,31 |
| 23:30:00 | 1608,56 | 2242,31 | 190261 | 189700 | -560,93 |
| 23:45:00 | 1619,05 | 2242,31 | 191718 | 191718 | 0,00 |
| Volume Reservoir yang diperlukan (m3) = selisih maksimum - (-selisih minimum) | | | | | 16881,54 |

Bila dibuat diagramnya menjadi diagram pada gambar 4.6 berikut ini:



Gambar 4.6 Diagram Volume *Reservoir* Cara Lengkung “S”

Menurut cara ini, volume *reservoir* dihitung dari selisih maksimum - (- selisih minimum).

Menurut hasil perhitungan dari kedua cara, kapasitas *reservoir* didapatkan sebesar $16.881,54 \text{ m}^3$ sehingga akan direncanakan *reservoir* dengan kapasitas direncanakan menjadi 18.000 m^3 .

4.6 Perhitungan Kebutuhan Pompa

Jumlah pompa distribusi yang digunakan dalam menyalurkan ke pelanggan di pipa transmisi diatur dalam Permen PU No. 18/PRT/M/2007 (tabel 4.14).

Tabel 4.14 Jumlah dan Debit Pompa pada Sistem Transmisi Air Minum

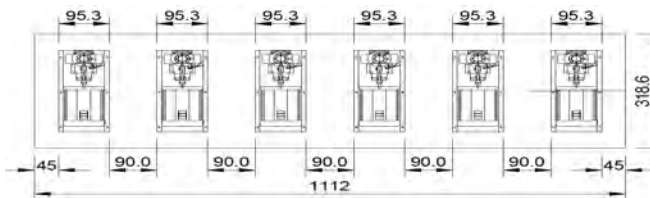
| Debit (m ³ /hari) | Jumlah Pompa | Total Unit |
|------------------------------|------------------|--------------|
| Sampai 2.800 | 1 (1) | 2 |
| 2.500 s/d 10.000 | 2 (1) | 3 |
| Lebih dari 90.000 | Lebih dari 3 (1) | Lebih dari 4 |

(Sumber: Permen PU No. 18/PRT/M/2007)

Pompa yang akan digunakan adalah salah satu pompa yang sering digunakan oleh pihak PDAM Surabaya dengan spesifikasi produk 10AEF 16-1-1/7-P-M-MA-R (terlampir), *flow* pompa sebesar 474,6 lt/dt. Dengan debit pompa yang direncanakan sebesar 2242,31 lt/dt atau Debit yang keluar lebih dari 90.000 m³/hari, maka jumlah pompa yang digunakan adalah 6 buah secara pararel, dengan pola 5 operasi dan 1 cadangan.

$$n = \frac{2242,31}{474,6} = 4,7 \sim 5 \text{ buah}$$

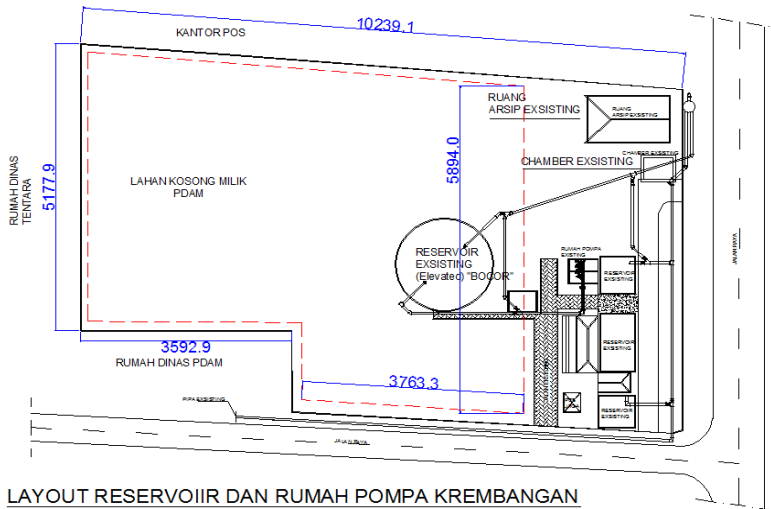
Perencanaan perletakan mesinnya dikonfigurasikan pada gambar 4.7 berikut.



Gambar 4.7 Konfigurasi Pompa

4.7 Desain Reservoir

Dimensi *reservoir* yang akan direncanakan nantinya mengacu pada lahan yang tersedia di Rumah Pompa Krembangan. Lahan yang tersedia dapat dilihat pada gambar 4.8.

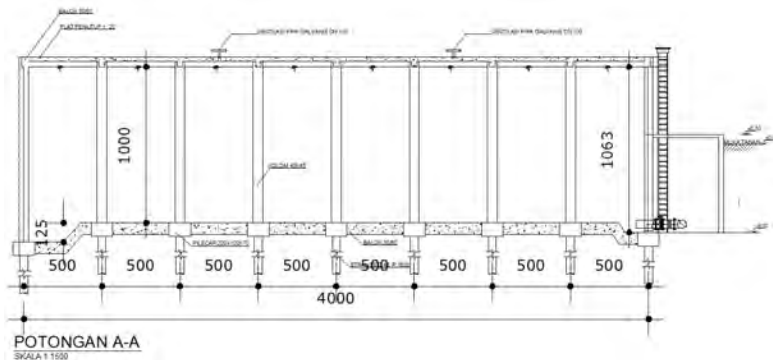


Gambar 4.8 Layout Rumah Pompa Krembangan
(Sumber: PDAM Surabaya, 2015)

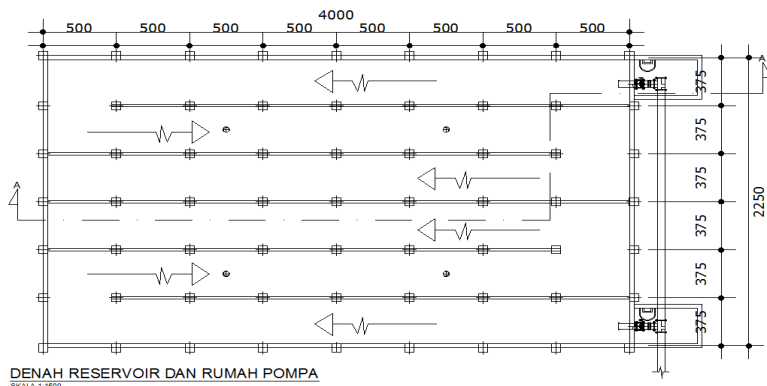
Dikarenakan lahan yang kosong cukup luas dan dengan hasil perhitungan terhitung kapasitas *reservoir* sebesar $\pm 18000 \text{ m}^3$, maka direncanakan dimensi *reservoir* panjang 40 m, lebar 22,25 m, dengan kedalaman 5 m ke dalam tanah ditambah 5 m di atas permukaan tanah ($h = 10 \text{ m}$) sebanyak 2 buah *reservoir*.

$$\begin{aligned}
 \text{Volume } \textit{reservoir} \text{ baru} &= (p \times l \times t) \text{ 2 buah} \\
 &= (40 \times 22,25 \times 10) \times 2 \\
 &= 18.000 \text{ m}^3
 \end{aligned}$$

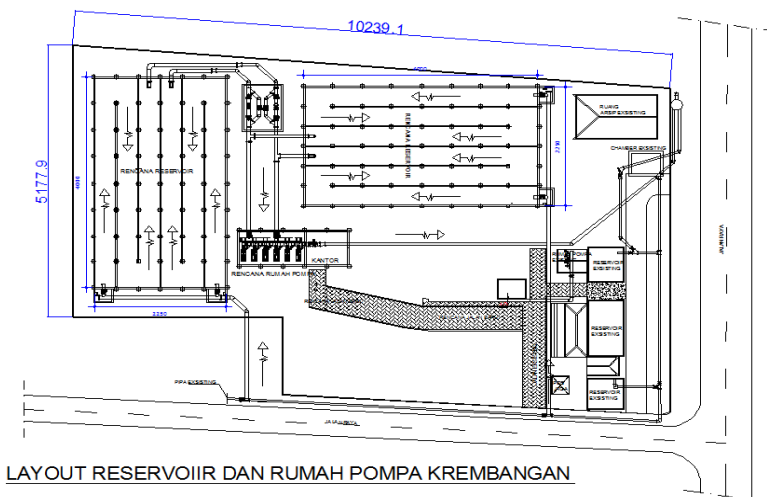
Desain dapat dilihat pada Gambar 4.9 & Gambar 4.10. Sehingga pada lapangan tidak melebihi lahan yang ada dan hasilnya dapat dilihat pada Gambar 4.11.



Gambar 4.9 Tampak Samping



Gambar 4.10 Tampak Atas



LAYOUT RESERVOIR DAN RUMAH POMPA KREMBANGAN

Gambar 4.11 Denah Tata Letak Reservoir Baru

Reservoir elevated di tengah pada gambar sebelumnya merupakan *reservoir* yang bocor dan sekarang tidak digunakan. Sehingga pada perencanaan ini *reservoir* tersebut di bongkar untuk menambah lahan supaya kapasitas terpenuhi.

“Halaman ini sengaja dikosongkan”

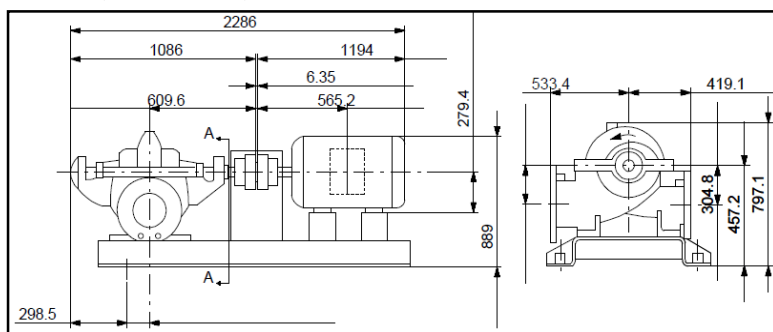
BAB V

PERENCANAAN PONDASI DINAMIS POMPA

5.1 Data Perencanaan

5.1.1 Data Pompa yang Digunakan

Pondasi beban dinamis yang direncanakan merupakan hasil beban dinamis dari pompa di atasnya. Pompa yang digunakan sesuai yang telah direncanakan pada Bab IV yaitu Pompa Grundfos 98899535_10AEF16_-1-17-P-M-MA-R 60 Hz (spesifikasi terlampir). Spesifikasi dari pompa tersebut sebagai berikut (Gambar 5.1):



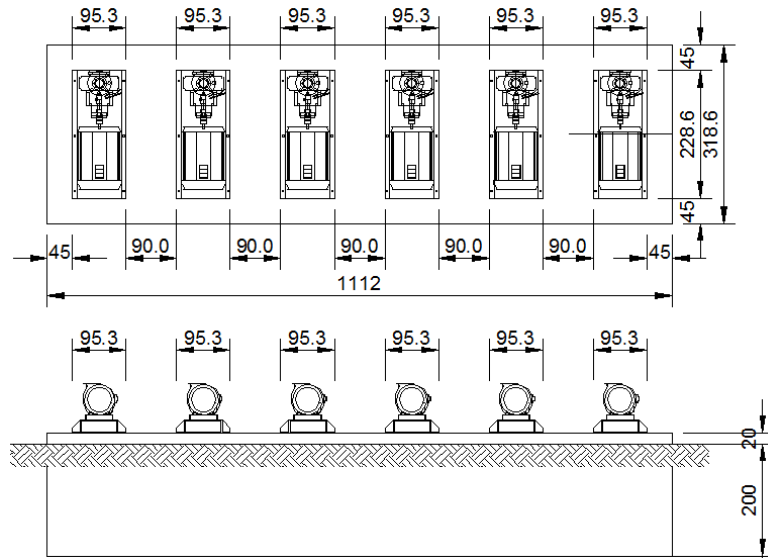
Gambar 5.1 Dimensi Pompa
(Sumber: Grundfos)

| | |
|--------------------|--|
| Ukuran | : Panjang = 2,286 meter Lebar = 0,953 meter Tinggi = 0,889 meter |
| <i>Output Flow</i> | : 474,6 l/s |
| Kecepatan | : 1900 rpm |
| Berat | : 1870 kg = 1,870 ton |

(Pada perhitungan digunakan 3x berat dikarenakan berat pada spek belum termasuk berat pipa dan aksesoris-aksesoris pipa).

5.1.2 Data Perencanaan Pilecap

Pada perencanaan *pilecap* ini menyesuaikan pompa yang ada. Dikarenakan pompa yang digunakan berjumlah 6 buah, maka untuk dimensi *pilecapnya* bisa dilihat pada gambar 5.2 berikut:



Gambar 5.2 Dimensi Pilecap

| | |
|--------|---|
| Ukuran | : Panjang 11,12 meter Lebar 3,186 meter Tebal 2,2 meter (2 meter tertanam) |
|--------|---|

5.1.3 Perencanaan Pondasi Tiang Pancang

Karena tanah keras sesuai dengan hasil laboratorium tanah (terlampir) berada pada kedalaman ± 16 m, maka perencanaan tiang direncanakan kedalaman 16 m (Panjang tiang 14 m). Pada perencanaan tiang pancang ini direncanakan sesuai spek tiang pancang PT.WIKA (spesifikasi tiang pancang terlampir), dan spesifikasinya sebagai berikut:

| | |
|--------------------------------|--|
| Diameter tiang | : 300 mm |
| Tebal tiang | : 60 mm |
| Kelas | : A2 |
| <i>Concrete cross section</i> | : 452 cm^2 |
| Berat | : 113 kg/m |
| <i>Bending moment crack</i> | : 2,5 tm |
| <i>Bending moment ultimate</i> | : 3,75 tm |
| <i>Allowable axial load</i> | : 72,6ton |
| Mutu tiang | : $K_{350} = f'_c 30 \text{ MPa}$ |
| E Tiang (Ep) | : $4700 \sqrt{f'_c}$: 25332,08 MPa |

5.2 Pembebatan

5.2.1 Beban Mati

| | |
|--------------------------|--|
| Volume pondasi | = $p \times l \times t$ = $11,12 \times 3,186 \times 2,2$ = $77,94 \text{ m}^3$ |
| <i>W pilecap</i> | = Volume pondasi $\times \gamma$ beton = $77,94 \times 2,4 \text{ T/m}^3$ = 187,062Ton |
| <i>W mesin</i> (dinamis) | = dianggap 3x bebas statis = $3 \times 1,87 \text{ Ton} \times 6 \text{ buah}$ = 33,66 Ton |
| Wtotal | = <i>W pilecap</i> + <i>W mesin</i> = 187,062 Ton + 33,66 Ton = 220,72 Ton |

5.2.2 Beban Hidup

Beban hidup merupakan hasil berat rotor yang bergerak membentuk gaya sentrifugal (Q_o).

$$\begin{aligned}
 \text{Berat Rotor} &= (30\% \text{ W mesin}) \\
 &= 0,3 \times 33,66 \\
 &= 10,098 \text{ Ton} \\
 Q_o &= m \times e \times \omega^2 \\
 \omega &= 2 \times \pi \times f \\
 &= 2 \times \pi \times (1900/60) \\
 &= 198,97 \text{ rad/s} \\
 e &= 0,002 \text{ inch} = 0,0000508 \text{ m} \\
 Q_o &= (10,098/9,81) \times 0,0000508 \times 198,97^2 \\
 &= 2,07 \text{ Ton}
 \end{aligned}$$

5.3 Dimensi Pilecap

Dimensi *pilecap* yang digunakan sesuai rencana (pxtl)=11,12 x 2,2 x 3,186. Untuk perhitungannya sebagai berikut:

$$\begin{aligned}
 \text{Luas pondasi} &= 11,12 \text{ m} \times 3,186 \text{ m} \\
 &= 35,43 \text{ m}^2 \\
 r_o &= \sqrt{35,43/\pi} \\
 &= 3,36 \text{ m} \\
 \text{Gravitasi (g)} &= 9,81 \text{ m/dt}^2 \\
 m_{pilecap} &= W_{pile cap} / g \\
 &= 187,062 / 9,81 \\
 &= 19,07 \text{ T dt}^2/\text{m} \\
 m_{mesin} &= W_{mesin} / g \\
 &= 33,66 / 9,81 \\
 &= 3,43 \text{ T dt}^2/\text{m} \\
 m_{total} &= m_{pilecap} + m_{mesin} \\
 &= 22,50 \text{ T dt}^2/\text{m} \\
 M_{mo Pilecap} &= 1/12 \cdot m \cdot (p^2+t^2) + mx^2 \\
 x &= \text{jarak titik pusat pilecap ke alas} = 1,1 \text{ m}
 \end{aligned}$$

$$\begin{aligned}
 M_{mo\ Pilecap} &= 1/12 . 19,07 (11,12^2 + 2,2^2) + 19,07. (1,1)^2 \\
 &= 227,25 \text{ T m/dt}^2 \\
 M_{mo\ Mesin} &= m_{mesin} \cdot x^2 \\
 x &= \text{jarak titik pusat mesin ke alas } 2,645 \text{ m} \\
 M_{mo\ Mesin} &= 3,43 \cdot 2,645^2 \\
 &= 24 \text{ T m/dt}^2 \\
 M_{mo\ Total} &= M_{mo\ Pilecap} + M_{mo\ Mesin} \\
 &= 227,25 + 24 \\
 &= 251,25 \text{ T m/dt}^2
 \end{aligned}$$

Letak titik berat mesin dari pondasi sesuai rumus

$$\begin{aligned}
 (L) &= \frac{W_{pilecap} \cdot 0,5t + W_{mesin}(t+h \text{ pusat mesin})}{W_{total}} \\
 &= \frac{187,062 \cdot 0,5 \cdot 2,2 + 33,66(2,2 + 0,889/2)}{220,72} \\
 &= 1,34 \text{ m dari dasar pondasi} \\
 M_m &= M_{mo\ total} - m_{total} \cdot L^2 \\
 &= 251,25 - 22,5 \cdot 1,34^2 \\
 &= 211,12 \text{ Tm/dt}^2
 \end{aligned}$$

5.4 Analisis Statis Pondasi TiangPancang

5.4.1 Daya Dukung Satu Tiang

Tiang pancang direncanakan sedalam 14 m pada kedalaman -16m (Panjang tiang 14 m + tebal *pilecap* tertanam 2m) karena berdasarkan gambar grafik sondir, tanah padat ditemukan pada lapisan kedalaman -16 m. Tiang pancang yang digunakan produksi dari PT. WIKA dengan spesifikasi sebagai berikut:

| | |
|-----------------------------|------------|
| Panjang Tiang | : 14 m |
| Diameter tiang | : 300 mm |
| Tebal tiang | : 60 mm |
| Berat | : 113 kg/m |
| <i>Allowable axial load</i> | : 72,6ton |

| | |
|---------------------|---------------------------------|
| Mutu tiang | : $K350 = f'c = 30 \text{ MPa}$ |
| E Tiang (Ep) | : $4700 \sqrt{f'c}$ |
| | : $28723,88 \text{ MPa}$ |
| Keliling Tiang (Kp) | : $\pi \cdot d$ |
| | : $\pi \cdot 30$ |
| | : $94,25 \text{ cm}$ |
| Luas Tiang (Ap) | : $\frac{1}{4} \pi \cdot d^2$ |
| | : $\frac{1}{4} \pi \cdot 30^2$ |
| | : $706,858 \text{ cm}^2$ |

Perhitungan daya dukung tiang berdasarkan hasil data sondir S1 (terlampir) dimana perhitungan ini mengandalkan besarnya conus dan hambatan pelekat pada suatu kedalaman.

Menghitung nilai Conus (C):

- Menurut Mayerhof, Nilai C diambil harga rata-rata dari nilai C yang berada 4D di atas ujung tiang sampai dengan 4 D dibawah ujung tiang.
- Menurut Van der Veen, Nilai C diambil harga rata-rata dari nilai C yang berada 3,75 D diatas ujung tiang sampai dengan D dibawah ujung tiang.

Untuk nilai Conus dari hasil sondir (tabel 5.1) digunakan perhitungan menurut Mayerhof sebagai berikut:

Tabel 5.1 Data Conus Tanah

| No | Z | C | Posisi C |
|----|------|-----|-------------------------|
| 1 | 14,8 | 25 | 4D di atas ujung tiang |
| 2 | 16 | 120 | Ujung tiang |
| 3 | 17,4 | 250 | 4D di bawah ujung tiang |

$$C = \frac{25+120+250}{3}$$

$$\begin{aligned}
 Q_d &= 131,7 \text{ Kg/cm}^2 \\
 &= \frac{C \cdot A_p}{SF_1} + \frac{JHP \cdot K_p}{SF_2} \\
 &= \frac{131,7 \cdot 706,858}{3} + \frac{496,94,25}{5} \\
 &= 40372,61 \text{ kg} \\
 &= 40,37 \text{ Ton} > 72,6 \text{ Ton (Allowable Axial)}
 \end{aligned}$$

5.4.2 Daya Dukung Ijin Tanah

Menghitung daya dukung ijin tanah dengan memakai data pengujian sondir sesuai hasil laboratorium tanah menggunakan rumus dari Mayerhof:

$$q_{ult} = qC \cdot B \cdot (1 + D/B) \cdot 1/40$$

$$Q_{ijin \tanah} = q_{ult} / SF$$

dimana:

$$\begin{aligned}
 q_{ult} &= \text{Daya dukung ultimit tanah} \\
 qC &= \text{Nilai Conus (h = -16 m)} = 120 \text{ Kg/cm}^2 \\
 B &= \text{Lebar Pondasi} = 3,186 \text{ m} \\
 D &= \text{Kedalaman dasar pondasi} = 16 \text{ m} \\
 SF (\text{Safety factor}) &= \text{dipakai } 1,5
 \end{aligned}$$

$$\begin{aligned}
 q_{ult} &= 120 \cdot 3,186 \cdot (1 + 16/3,186) \cdot 1/40 \\
 &= 57,56 \text{ Ton}
 \end{aligned}$$

$$\begin{aligned}
 Q_{ijin \tanah} &= 57,56 / 1,5 \\
 &= 38,37 \text{ Ton}
 \end{aligned}$$

Maka untuk perencanaan dipakai daya dukung terkecil yaitu daya dukung ijin tanah = 38,37 Ton.

$$\begin{aligned}
 \text{Jumlah min. tiang} &= W_{\text{Total}} / Q_{\text{ijin}} \\
 &= 220,72 / 38,37 \\
 &= 5,75 \text{ Tiang} \approx \mathbf{6 \text{ tiang}}
 \end{aligned}$$

5.4.3 Perencanaan Pondasi

Dari perhitungan diambil daya dukung terkecil antara daya dukung tiang dan daya dukung tanah:

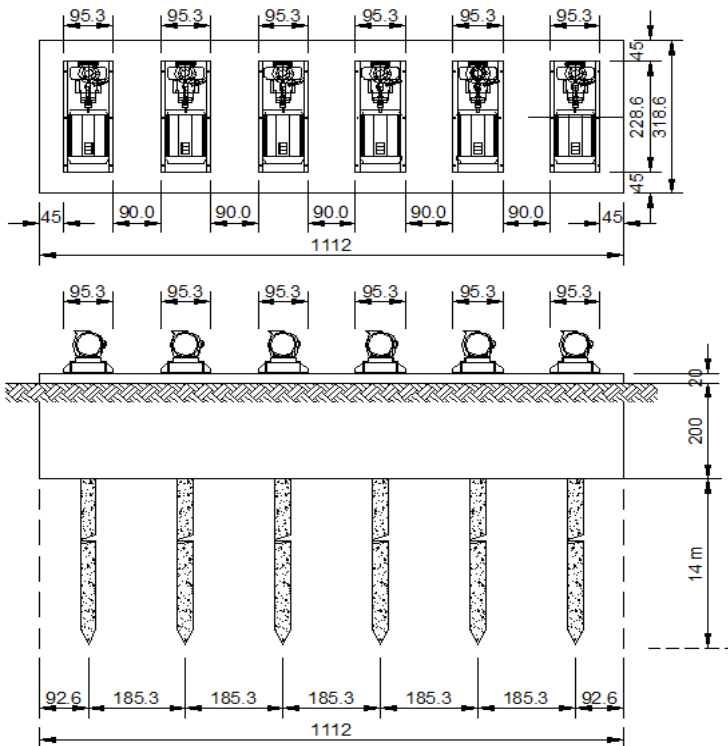
- Daya dukung tiang :
 $P_{1tp} = 40,37 \text{ Ton} > 72,6 \text{ Ton (Allowable Axial)}$
- Daya dukung tanah:
 $P_{1tp} = 38,37 \text{ Ton}$

Sehingga diambil daya dukung 1 pondasi = 38,37 Ton. Perhitungan jarak tiang pancang berdasarkan Dirjen Bina Marga Departemen PU:

- Jarak antar tiang (S):
 $2D \leq S \leq 2,5D$
 $2(30) \leq S \leq 2,5(30)$
 $60 \text{ cm} \leq S \leq 75 \text{ cm}$ diambil $S = 70 \text{ cm}$
- Jarak tepi poer ke tiang (S')
 $1D \leq S' \leq 1,5D$
 $1(30) \leq S' \leq 1,5(30)$
 $30 \text{ cm} \leq S' \leq 45 \text{ cm}$ diambil $S' = 35 \text{ cm}$

Dengan dimensi *pilecap* yang ada sesuai dengan dimensi mesin di atasnya maka untuk perencanaan pondasi tiang pancang sesuai jarak minimum di atas akan menjadi terlalu banyak.

Dengan perhitungan jumlah minimum tiang yang telah dihitung yaitu 6 tiang, maka pada perencanaan disini dibuat menjadi 6 buah tiang dengan ketentuan daya dukung tiang kelompok memenuhi syarat. Untuk perencanaan pondasinya dapat dilihat pada gambar 5.3 berikut:



Gambar 5.3 Rencana Pondasi

5.4.4 Perhitungan Daya Dukung Tiang Kelompok

Q_{ijin} tiang pancang harus dikalikan dengan nilai efisiensi untuk mengetahui kekuatan satu tiang pancang dalam sebuah kelompok tiang pancang sesuai dengan rumus berikut ini:

$$\text{Efisiensi (Ek)} = 1 - \text{Arc tg } D/S \left[\frac{(n-1)m + (m-1)n}{90.m.n} \right]$$

$$\begin{aligned} \text{Efisiensi} &= 1 - \text{Arc tg } 30/2000 \left[\frac{(1-1)6 + (6-1)1}{90.6.1} \right] \\ &= 0,99 \end{aligned}$$

$$\begin{aligned}
 Q_{ijin} \text{ tiang tunggal} &= E_f \times Q_{ijin} \\
 &= 0,99 \times 38,37 \\
 &= 37,99 \text{ Ton}
 \end{aligned}$$

Beban statis yang diterima 1 tiang dalam kelompok:

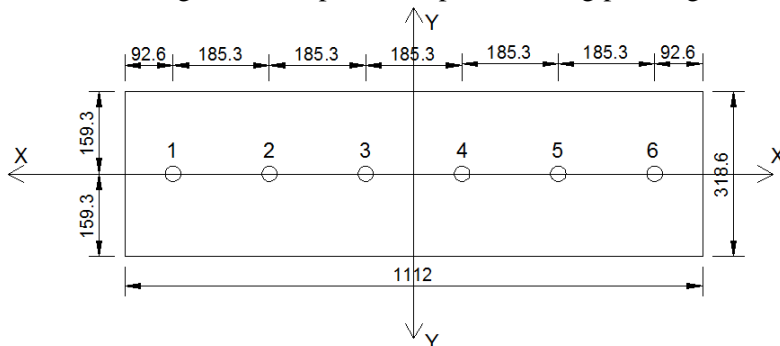
$$V = \text{Berat total} = 220,72 \text{ Ton}$$

$$\text{Gaya sentrifugal} = 2,07 \text{ Ton}$$

$$\text{Jarak rotor ke alas pondasi} = 2,645 \text{ m}$$

$$\begin{aligned}
 M &= 2,07 \times 2,645 \\
 &= 5,475 \text{ Tm}
 \end{aligned}$$

Untuk perhitungan jarak bisa dilihat pada gambar 5.4 di bawah ini sebagai rencana peletakan pondasi tiang pancang:



Gambar 5.4 Rencana Perletakan Pondasi

$$\begin{aligned}
 P_{\text{statis}} &= \frac{V}{n} + \frac{M_{x,y}}{\Sigma y^2} + \frac{M_{y,x}}{\Sigma x^2} \\
 \Sigma y^2 &= 6 (1,853)^2 = 20,6 \text{ cm}^2
 \end{aligned}$$

$$\Sigma x^2 = 0 (1,853)^2 = 0 \text{ cm}^2$$

$$= \frac{220,72}{6} + \frac{2,07 \times 1,853}{(20,6)} + \frac{2,07 \times 0}{(0)}$$

$$= 36,97 < q_{ijin} = 37,99 \text{ Ton (OK!)}$$

5.5 Modulus Geser

Jenis tanah pada lahan pembangunan Rumah Pompa Kremlangan ini adalah lempung. Perhitungan modulus geser pada tanah lempung:

$$G_{\max} = 1230 \frac{(2,973-e)^2}{1+e} (OCR)^k (\sqrt{\sigma_o})$$

Keterangan :

e = angka pori

OCR = 1 (asumsi tanah *normally consolidated*)

k = nilai interpolasi pada tabel (5.2)

σ_o = nilai tegangan minimum

Tegangan minimum didapatkan dari hasil penjumlahan tegangan efektif dan *Boussinesq Chart*.

Diketahui dari data tanah (terlampir):

G_s = 2,632

e = 1,140

γ_w = 1 T/m³

γ_t = 1,680

γ_{sat} = $\frac{(G_s \cdot e) \cdot \gamma_w}{1+e}$

γ_{sat} = $\frac{(2,630 \cdot 1,140) \cdot 1}{1+1,40}$

= 1,763 T/m³

MAT = -1 m

IP = 30 (asumsi untuk tanah lempung, dikarenakan tidak ada data)

Tabel 5.2 Korelasi IP dengan nilai k

| Plasticity Index (PI) | k |
|-----------------------|------|
| 0 | 0 |
| 20 | 0,18 |
| 40 | 0,3 |
| 60 | 0,41 |
| 80 | 0,48 |
| 100 | 0,5 |

(Sumber: Suresh, 86)

$$\text{Interpolasi } k = 0,18 + \left(\frac{(30-20)}{40-20} (0,3-0,18) \right)$$

$$= 0,24$$

Tabel 5.3 Perhitungan Tegangan Efektif Pondasi

| TEGANGAN EFETIF (T/m ²) | | | | IP = 30,0 | OCR = 1 | ko = 0,4 |
|-------------------------------------|---------------------------|---------------------------|-----------------------------|-----------------------------------|----------|----------|
| Kedalaman m | γ sat T/m ³ | γ air T/m ³ | γ tanah T/m ³ | σ v (efektif) T/m ² | | |
| 0 | 0 | 0 | 1,68 | 0 x 1,22995826927301 | = 0,0000 | |
| 0,2 | 0 | 0 | 1,68 | ((0,2 - 0) x 1,68) + 0 | = 0,3360 | |
| 0,4 | 0 | 0 | 1,68 | ((0,4 - 0,2) x 1,68) + 0,336 | = 0,6720 | |
| 0,6 | 0 | 0 | 1,68 | ((0,6 - 0,4) x 1,68) + 0,672 | = 1,0080 | |
| 0,8 | 0 | 0 | 1,68 | ((0,8 - 0,6) x 1,68) + 1,008 | = 1,3440 | |
| 1 | 1,763 | 1 | 0,763 | ((1 - 0,8) x 0,763) + 1,344 | = 1,4966 | |
| 2 | 1,763 | 1 | 0,763 | ((2 - 1) x 0,763) + 1,4966 | = 2,2596 | |

Tabel 5.4 Boussinesq (Tegangan minimum) Pondasi

| BOUSSINESQ CHARTS | | | | | | | | |
|-------------------|---------|------|--------|------------------|------------------|------------------|------------------|-----------------------|
| Kedalaman m | ro m | z/ro | Δσ/qo | qo | Δσ | σ v (minimum) | oh = (ko x σ v) | σo = 0,333 (σv + 2oh) |
| m | m | | | T/m ² |
| 0 | 3,36 | 0,00 | 0,5000 | 3,115 | 3,1150 | 3,1150 | 1,2460 | 0,830 |
| 0,2 | 3,36 | 0,06 | 0,4900 | 3,053 | 3,3887 | 3,7247 | 1,4899 | 1,104 |
| 0,4 | 3,36 | 0,12 | 0,4860 | 3,028 | 3,6998 | 4,3718 | 1,7487 | 1,388 |
| 0,6 | 3,36 | 0,18 | 0,4840 | 3,015 | 4,0234 | 5,0314 | 2,0125 | 1,676 |
| 0,8 | 3,36 | 0,24 | 0,4820 | 3,003 | 4,3469 | 5,6909 | 2,2764 | 1,964 |
| 1 | 3,36 | 0,30 | 0,4800 | 2,990 | 4,4870 | 5,9836 | 2,3935 | 2,092 |
| 2 | 3,36 | 0,60 | 0,4725 | 2,944 | 5,2033 | 7,4629 | 2,9852 | 2,741 |

Didapatkan nilai tegangan minimum kedalaman *pilecap* 2 m sebesar 2,741 T/m², sehingga perhitungan modulus geser nya menjadi:

$$\begin{aligned} G_{\max} &= 1230 \frac{(2,973-e)^2}{1+e} (OCR)^k (\sqrt{\sigma_o}) \\ &\text{(tanah lempung satuan psi)} \\ &= 1230 \frac{(2,973-1,14)^2}{1+1,14} (1)^{0,24} (\sqrt{2,741}) \\ &= 9162,778 \text{ psi} \\ &= 6317,5 \text{ T/m}^2 \end{aligned}$$

5.6 Analisis Dinamis Pondasi

Penggunaan pancang secara kelompok merubah nilai konstanta pegas dan redaman. Perhitungannya sebagai berikut:

Diketahui,

| | |
|-----------------------|--|
| Mutu tiang | = K350 = 30 MPa |
| E Tiang (E_p) | = $4700 \sqrt{f_c}$ |
| | = 25332,08 MPa |
| | = 2533208,44 T/m ² |
| G tanah (G_s) | = 6317,5 T/m ² |
| γ_{tiang} | = 2,4 T/m ³ |
| $\gamma_{tanah(dry)}$ | = 1,230 T/m ³ |
| $\gamma_{tanah(sat)}$ | = 1,763 T/m ³ |
| Diameter tiang | = 0,30 m |
| r_o tiang | = 0,150 m |
| A tiang | = πr_o^2 |
| | = $3,14 \times 0,150^2 = 0,0962 \text{ m}^2$ |
| l/r_o | = 14 / 0,150 |
| | = 100 |

Perhitungan,

$$V_c = \sqrt{\frac{E_p x g}{\gamma_{tiang}}} = \sqrt{\frac{2533208,44 \times 9,81}{2,4}} = 3217,84 \text{ m/dt}$$

$$V_s = \sqrt{\frac{G_s x g}{\gamma_{tanah}}} = \sqrt{\frac{6317,51 \times 9,81}{1,230}} = 224,469 \text{ m/dt}$$

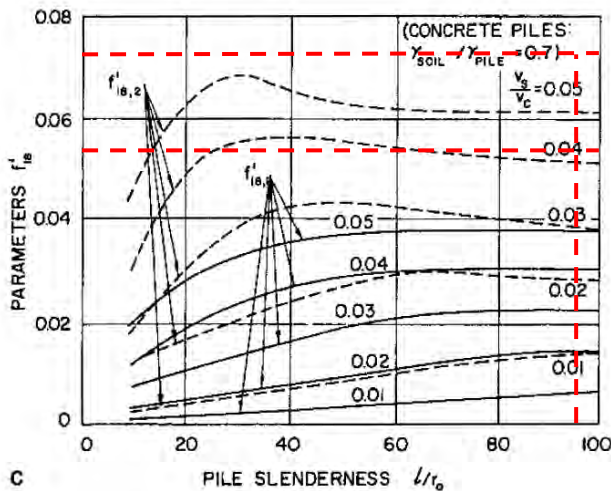
$$V_s/V_c = 224,469 / 3217,84 = 0,070$$

$$E_p/G_s = 2533208,44 / 6317,51$$

$$= 400,983 \text{ T/m}$$

5.6.1 Analisis Vertikal

Plot nilai V_s/V_c dan l/r_0 ke gambar grafik 5.5 untuk mencari nilai kekakuan f_{w_1} dan redaman f_{w_2}



**Gambar 5.5 Grafik Stiffness and damping factors
(Suresh, 82)**

$$f_{w_1} = 0,055$$

$$f_{w_2} = 0,075$$

Menghitung k_w^1 sesuai dengan rumus berikut:

$$k_w^1 = \frac{E_p A}{r_o} f_{w_1}$$

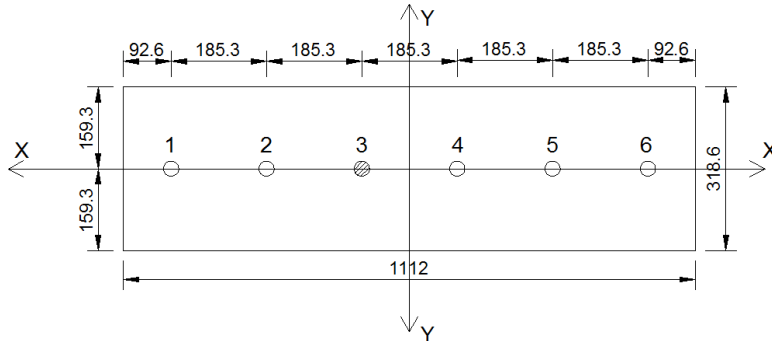
$$= \frac{2533208,44 \times 0,0963}{0,150} \times 0,055 = 89365,2 \text{ T/m}$$

Menghitung c_w^1 sesuai dengan rumus berikut:

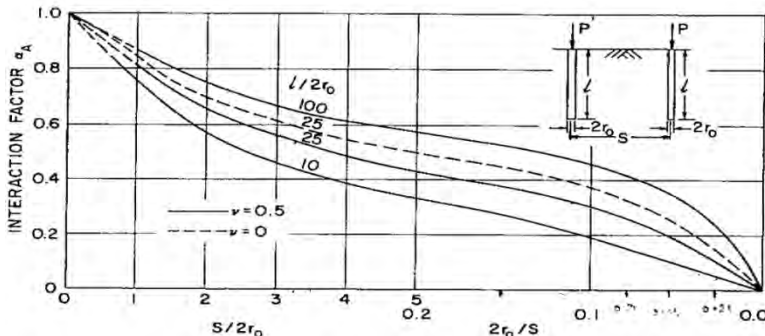
$$c_w^1 = \frac{E_p A}{V_s} f_{w_2}$$

$$= \frac{2533208,44 \times 0,0963}{0,150} \times 0,075 = 81,4 \text{ dt/m}$$

Menghitung k_w^g , c_w^g , k_w^f , c_w^f dibutuhkan nilai $\Sigma\alpha_a$ dimana untuk acuan perhitungan α_a pondasinya bisa dilihat pada gambar 5.6. Lalu perhitungannya α_a sesuai dengan gambar grafik 5.7.



Gambar 5.6 Rencana Pondasi Pile No.3 Sebagai Acuan



Gambar 5.7 Grafik α_a as a function of pile lenght and spacing (Suresh, 84)

Dan perhitungan $\Sigma\alpha_a$ bisa dilihat pada tabel berikut ini (Tabel 5.5):

Tabel 5.5 Perhitungan $\Sigma\alpha_a$

| No | x | y | s = SQRT((x^2)+y^2) | s/2ro | 2ro/s | l/2ro | aA |
|----------|---|-------|---------------------|-------|-------|------------------------------------|------|
| 1 | 0 | 3,706 | 3,7 | 12,35 | 0,08 | 47 | 0,58 |
| 2 | 0 | 3,706 | 3,7 | 12,35 | 0,08 | 47 | 0,58 |
| 3 | 0 | 0 | 0 | 0 | 0 | 47 | 1 |
| 4 | 0 | 0,96 | 1,0 | 3,20 | 0,31 | 47 | 0,55 |
| 5 | 0 | 0,96 | 1,0 | 3,20 | 0,31 | 47 | 0,55 |
| 6 | 0 | 0,96 | 1,0 | 3,20 | 0,31 | 47 | 0,55 |
| | | | | | | $\Sigma\alpha A$ | 3,81 |

Menghitung k_w^g sesuai dengan rumus berikut:

$$k_w^g = \frac{\sum_1^n k_w^1}{\sum_1^n \alpha_a} = \frac{6 \times 89365,18}{3,81} = 140732,6 \text{ T/m}$$

Menghitung c_w^g sesuai dengan rumus berikut:

$$c_w^g = \frac{\sum_1^n c_w^1}{\sum_1^n \alpha_a} = \frac{6 \times 81,4}{3,81} = 116,9 \text{ dt/m}$$

Menghitung k_w^f , dicari dulu nilai S_1 dan S_2 sesuai dengan tabel 5.6, lalu sesuai dengan rumus:

Tabel 5.6 Frequency Independent Constants for Embedded Pile Cap with Side Resistance

| ν_a | \bar{S}_1 | \bar{S}_2 | \bar{S}_{u1} | \bar{S}_{u2} | $\bar{S}_{\psi1}$ | $\bar{S}_{\psi2}$ |
|---------|-------------|-------------|----------------|----------------|-------------------|-------------------|
| 0.0 | 2.7 | 6.7 | 3.6 | 8.2 | 2.5 | 1.8 |
| 0.25 | 2.7 | 6.7 | 4.0 | 9.1 | 2.5 | 1.8 |
| 0.4 | 2.7 | 6.7 | 4.1 | 10.6 | 2.5 | 1.8 |

(Sumber: Suresh, 84)

S_1 untuk nilai $v = 0,4$ (clay) adalah 2,7

S_2 untuk nilai $v = 0,4$ (clay) adalah 6,7

hadalah nilai kedalaman penanaman $pilecap = 1$ m

$$\begin{aligned} k_w^f &= G_s \cdot (h) \cdot S_1 \\ &= 6317,51 \times 2,2 \times 2,7 \\ &= 37526,0 \text{ T/m} \end{aligned}$$

Menghitung c_w^f , sesuai dengan rumus berikut:

$$\begin{aligned} c_w^f &= (h) r_o S_2 \sqrt{G_s \gamma_s} \\ &= (2,2) \times 3,36 \times 6,7 \times \sqrt{\frac{6317,51 \times 1,763}{9,81}} \\ &= 1667,9 \text{ dt/m} \end{aligned}$$

Total k_w^g sesuai dengan rumus berikut:

$$\begin{aligned} \Sigma k_w^g &= k_w^g + k_w^f \\ &= 140732,57 + 37525,97 \\ &= 178258,5 \text{ T dt/m} \end{aligned}$$

Total c_w^g sesuai dengan rumus berikut:

$$\begin{aligned} \Sigma c_w^g &= c_w^g + c_w^f \\ &= 116,9 + 1667,9 \\ &= 1784,73 \text{ T dt/m} \end{aligned}$$

Total ξ_w^g sesuai dengan rumus

$$\begin{aligned} \xi_w^g &= \frac{\Sigma c_w^g}{2(\Sigma k_w^g m_c)^{0,5}} \\ &= \frac{1784,73}{2(17825,5 \times 251,26)^{0,5}} = 0,133 \end{aligned}$$

Frekuensi natural (f_n) rumus berikut:

$$\begin{aligned} f_{nw} &= \frac{1}{2\pi} \sqrt{\frac{k}{m_c}} \\ &= \frac{1}{2\pi} \sqrt{\frac{191935,0}{251,26}} = 4,24 \text{ cps} \end{aligned}$$

Frekuensi resonansi (f_r) rumus berikut:

$$\begin{aligned} f_r &= f_n \sqrt{1 - 2D^2} \\ &= 4,24 \sqrt{1 - 2 \times 0,13^2} = 4 \text{ cps} \end{aligned}$$

Frekuensi mesin $f_m = 1920$ rpm = 32 cps
resonansi(r) rumus berikut:

$$\begin{aligned} r &= \frac{f_m}{f_n} \\ &= \frac{32}{4,24} = 7,47 > 1,20 \text{OK} \end{aligned}$$

Transmisibility (Tr) rumus berikut:

$$\begin{aligned} Tr &= \frac{\sqrt{1+2Dr^2}}{\sqrt{(1-r^2)^2+(2Dr)^2}} \\ &= \frac{\sqrt{1+2 \times 0,133 \times 7,47}}{\sqrt{(1-7,47)^2+(2 \times 0,133 \times 7,47)^2}} \\ &= 0,0727 \end{aligned}$$

Nilai beban yang disalurkan (Ft)

$$\begin{aligned} Ft &= Tr \times Qo \\ &= 0,0727 \times 2,07 \text{ Ton} \\ &= 0,150 \text{ Ton} \end{aligned}$$

Magnification (M) rumus berikut:

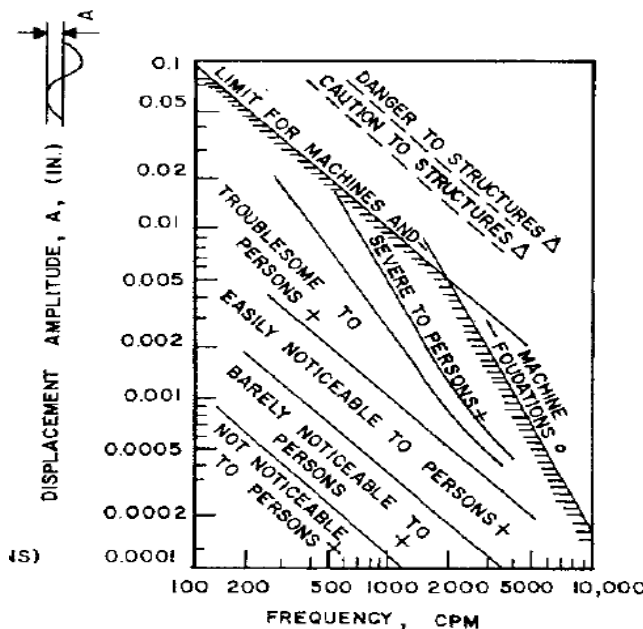
$$\begin{aligned} M &= \frac{1}{\sqrt{(1-r^2)^2+(2Dr)^2}} \\ &= \frac{1}{\sqrt{(1-7,47)^2+(2 \times 0,133 \times 7,47)^2}} \\ &= 0,0182 < 1,5 \dots\dots \text{OK!} \end{aligned}$$

Amplitudo (A) rumus berikut:

$$\begin{aligned} A &= M \frac{Q_o}{k} \\ &= 0,0182 \times \frac{2,06}{178258,5} \\ &= 2,11782 \times 10^{-7} \text{ m} \quad = 8,33789 \times 10^{-6} \text{ inch} \\ V &= 2\pi f (A) \\ &= 2 \times 3,14 \times 25 \times 8,33789 \times 10^{-6} = 1,66 \times 10^{-3} \text{ in/dt} \end{aligned}$$

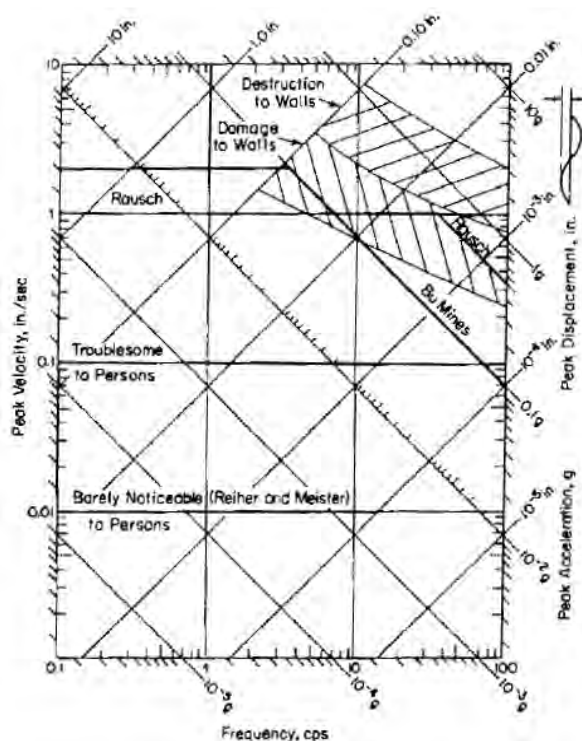
Didapat hasil frekuensi dari mesin (f) = 32 cps, Amplitudo yang terjadi (A) = $8,33789 \times 10^{-6}$ inch dan Kecepatan (V) = $1,66 \times 10^{-3}$ in/dt. Setelah didapatkan data tersebut diplotkan pada gambar grafik 5.8 untuk mengecek syarat keamanan mesin terebut menurut parameter frekuensi dengan amplitudo, dan menurut

parameter frekuensi dengan kecepatan dicek dengan gambar grafik 5.9.



Gambar 5.8 Grafik Cek Syarat Keadaan Mesin dari Faktor Frekuensi dengan Amplitudo (Suresh, 52)

Sesuai gambar grafik 5.8 parameter Frekuensi (f) = 32 cps dan Amplitudo (A) = 8,33789E-06 inch masuk area tidak terasa (*Not Noticeable*).



Gambar 5.9 Grafik Cek Syarat Keadaan Mesin dari Faktor Frekuensi dengan Kecepatan (Suresh, 52)

Sesuai gambar grafik 5.9 parameter Frekuensi (f) = 32 cps dan Kecepatan (V) = $1,66E-03$ in/dt masuk dibawah area “Barely Noticeable to Person” yang berarti hampir tidak terasa.

5.6.2 Analisis Horizontal

Momen Inersia Pile (I)

$$= (1/64)*((0,30^4)-(0,30-(2x0,06))^4)) \\ = 0,00011 \text{ m}^4$$

$$V_c = \sqrt{\frac{Epxg}{\gamma_{tiang}}} \\ = \sqrt{\frac{2533208,44 \times 9,81}{2,4}} = 3217,84 \text{ m/dt}$$

$$V_s = \sqrt{\frac{Gsxg}{\gamma_{tanah}}} \\ = \sqrt{\frac{6373,3 \times 9,81}{1,230}} = 224,469 \text{ m/dt}$$

$$V_s/V_c = 224,469 / 3217,84 = 0,070$$

$$E_p/G_s = 2533208,44 / 6317,51$$

$$= 400,983 \text{ T/m}$$

$$l/r_o = 14 / 0,150 = 93,33$$

Plot nilai V_s/V_p dan l/r_o ke gambar grafik 5.5 untuk mencari nilai kekakuan f_{x_1} dan redaman f_{x_2}

$$f_{x_1} = 0,055$$

$$f_{x_2} = 0,075$$

Menghitung k_x^1 sesuai dengan rumus:

$$k_x^1 = \frac{E_p I}{r_o^3} f_{x_1} \\ = \frac{2533208,44 \times 0,00011}{0,150^3} \times 0,055 = 4547,6 \text{ T/m}$$

Menghitung c_x^1 sesuai dengan rumus:

$$c_x^1 = \frac{E_p I}{r_o^2 V_s} f_{x_2} \\ = \frac{2533208,44 \times 0,00011}{0,150^2 \times 225,46} \times 0,075 = 4,1 \text{ T dt/m}$$

Menghitung k_w^g sesuai dengan rumus berikut:

$$\begin{aligned} k_x^g &= \frac{\sum_1^n k_x^1}{\sum_1^n \alpha_a} \\ &= \frac{6 \times 4547,6}{3,81} = 7161,6 \text{ T/m} \end{aligned}$$

Menghitung c_x^g sesuai dengan rumus berikut:

$$\begin{aligned} c_x^g &= \frac{\sum_1^n c_x^1}{\sum_1^n \alpha_a} \\ &= \frac{6 \times 4,13}{3,48} = 6,53 \text{ T dt/m} \end{aligned}$$

Menghitung k_x^f , dicari dulu nilai S_{x1} dan S_{x2} sesuai dengan tabel 5.6,

S_{x1} untuk nilai $v = 0,4$ adalah 4,1

S_{x2} untuk nilai $v = 0,4$ adalah 10,6

h adalah nilai kedalaman penanaman $pilecap = 1 \text{ m}$

$$\begin{aligned} k_x^f &= G_s \cdot h \cdot S_{x1} \\ &= 6317,51 \times (2,2) \times 4,1 \\ &= 56983,9 \text{ T/m} \end{aligned}$$

Menghitung c_x^f ,

$$\begin{aligned} c_x^f &= h r_o \sqrt{\frac{G_s \gamma_s}{g}} S_{x2} \\ &= 2,2 \times 2,05 \times \sqrt{\frac{6317,51 \times 1,230}{9,81}} \times 10,6 \\ &= 2204,05 \text{ T dt/m} \end{aligned}$$

Total k_x^g sesuai dengan rumus berikut:

$$\begin{aligned} \Sigma k_x^g &= k_x^g + k_x^f \\ &= 7161,6 + 56983,95 \\ &= 64145,54 \text{ T/m} \end{aligned}$$

Total c_x^f sesuai dengan rumus berikut:

$$\begin{aligned}\Sigma c_x^g &= c_x^g + c_x^f \\ &= 6,53 + 2204,05 \\ &= 2210,6 \text{ T dt/m}\end{aligned}$$

Total ξ_x^g sesuai dengan rumus berikut:

$$\begin{aligned}\xi_x^g &= \frac{\Sigma c_x^g + \Sigma c_x^f}{2(\Sigma k_x^g m_c)^{0,5}} \\ &= \frac{2210,6 + 2204,05}{2(64145,54 \times 251,26)^{0,5}} = 0,55\end{aligned}$$

Frekuensi natural (f_n) rumus berikut :

$$\begin{aligned}f_{nx} &= \frac{1}{2\pi} \sqrt{\frac{k}{m_c}} \\ &= \frac{1}{2\pi} \sqrt{\frac{64145,54}{251,26}} = 2,54 \text{ cps}\end{aligned}$$

Frekuensi resonansi (f_r) rumus berikut :

$$\begin{aligned}f_r &= f_n \sqrt{1 - 2D^2} \\ &= 2,54 \sqrt{1 - 2 \times 0,55^2} = 0,31 \text{ cps}\end{aligned}$$

Frekuensi mesin $f_m = 1920 \text{ rpm} = 32 \text{ cps}$

Resonansi (r) rumus berikut :

$$\begin{aligned}\text{resonansi} &= \frac{f_m}{f_n} \\ &= \frac{32}{2,54} = 12,45\end{aligned}$$

Transmisibility(Tr) rumus berikut ;

$$\begin{aligned}\text{Tr} &= \frac{\sqrt{1+2Dr^2}}{\sqrt{(1-r^2)^2+(2Dr)^2}} \\ &= \frac{\sqrt{1+2 \times 0,55 \times 12,45^2}}{\sqrt{(1-12,45^2)^2+(2 \times 0,55 \times 12,45)^2}} \\ &= 0,085\end{aligned}$$

Nilai beban yang disalurkan (Ft)

$$\begin{aligned} F_t &= Tr \times Q_o \\ &= 0,085 \times 2,07 \text{ Ton} \\ &= 0,175 \text{ Ton} \end{aligned}$$

Magnification (M)

$$\begin{aligned} M &= \frac{1}{\sqrt{(1-r^2)^2 + (2Dr)^2}} \\ &= \frac{1}{\sqrt{(1-12,45^2)^2 + (2 \times 0,55 \times 12,45)^2}} \\ &= 0,0065 < 1,5 \dots \text{OK!} \end{aligned}$$

Amplitudo (A) sesuai rumus:

$$\begin{aligned} A &= M \frac{Q_o}{k} \\ &= 0,0065 \times \frac{2,07}{64145,54} \\ &= 2,08652 \text{E}-07 \text{ m} = 8,21467 \text{E}-06 \text{ inch} \end{aligned}$$

$$\begin{aligned} V &= 2\pi f(A) \\ &= 2 \times 3,14 \times 25 \times 8,21467 \text{E}-06 \text{ inch} \\ &= 1,63-03 \text{ in/dt} \end{aligned}$$

Didapat hasil frekuensi dari mesin (f) = 32 cps, Amplitudo yang terjadi (A) = 8,21467E-06 inch dan Kecepatan (V) = 1,63-03 in/dt. Setelah didapatkan data tersebut diplotkan pada gambar grafik 5.8 untuk mengecek syarat keamanan mesin terebut menurut parameter frekuensi dengan amplitudo, dan menurut parameter frekuensi dengan kecepatan dicek dengan gambar grafik 5.9.

Sesuai gambar grafik 5.8 parameter Frekuensi (f) = 32 cps dan Amplitudo (A) = 8,21467E-06 inch masuk area tidak terasa (*Not Noticeable*).

Sesuai gambar grafik 5.9 parameter Frekuensi (f) = 32 cps dan Kecepatan (V) = 1,63-03 in/dt masuk dibawah area “*Barely Noticeable to Person*” yang berarti hampir tidak terasa.

5.6.3 Analisis Rocking

Momen Inersia Pile (I)

$$\begin{aligned} &= (1/64)*((0,30^4)-(0,30-(2 \times 0,065))^4)) \\ &= 0,00011 \text{ m}^4 \end{aligned}$$

$$\begin{aligned} E_p/G_s &= 2533208,44 / 6317,5 = 401,01 \text{ T/m} \\ l/r_o &= 14 / 0,150 = 93,33 \end{aligned}$$

Plot nilai E_p/G_s dan l/r_o ke gambar grafik 5.5 untuk mencari nilai kekakuan $f_{x\phi_1}$, f_{ϕ_1} dan redaman $f_{x\phi_2}$, f_{ϕ_2}

Tabel 5.7 Parameter untuk getaran lateral dan rocking dengan $l/r_o > 25$ untuk tanah homogen.

| v | E_{pile}/G_{soil} | parameter untuk k | | | | parameter untuk c | | | |
|------|---------------------|-------------------|---------------|----------|------------|-------------------|---------------|----------|------------|
| | | f_{k1} | $f_{k\phi_1}$ | f_{k2} | f_{k1}^P | f_{k2} | $f_{k\phi_2}$ | f_{c2} | f_{c2}^P |
| 0,25 | 10000 | 0,2135 | -0,0217 | 0,0042 | 0,0021 | 0,1577 | -0,0333 | 0,0107 | 0,0054 |
| | 2500 | 0,2998 | -0,0429 | 0,0119 | 0,0061 | 0,2152 | -0,0646 | 0,0297 | 0,0154 |
| | 1000 | 0,3741 | -0,0668 | 0,0236 | 0,0123 | 0,2598 | -0,0985 | 0,0579 | 0,0306 |
| | 500 | 0,4411 | -0,0929 | 0,0395 | 0,0210 | 0,2953 | -0,1337 | 0,0953 | 0,0514 |
| | 250 | 0,5186 | -0,1281 | 0,0659 | 0,0358 | 0,3299 | -0,1786 | 0,1556 | 0,0864 |
| 0,4 | 10000 | 0,2207 | -0,0232 | 0,0047 | 0,0024 | 0,1634 | -0,0358 | 0,0119 | 0,0060 |
| | 2500 | 0,3097 | -0,0459 | 0,0132 | 0,0068 | 0,2224 | -0,0692 | 0,0329 | 0,0171 |
| | 1000 | 0,3860 | -0,0714 | 0,0261 | 0,0136 | 0,2677 | -0,1052 | 0,0641 | 0,0339 |
| | 500 | 0,4547 | -0,0991 | 0,0436 | 0,0231 | 0,3034 | -0,1425 | 0,1054 | 0,0570 |
| | 250 | 0,5336 | -0,1365 | 0,0726 | 0,0394 | 0,3377 | -0,1896 | 0,1717 | 0,0957 |

$$\begin{aligned} f_{\phi_1} &= 0,4442 & f_{x\phi_1} &= -0,0949 \\ f_{\phi_2} &= 0,2950 & f_{x\phi_2} &= -0,1368 \end{aligned}$$

Menghitung k_ϕ^1 sesuai dengan rumus

$$\begin{aligned} k_\phi^1 &= \frac{E_p I}{r_o} f_{\phi_1} \\ &= \frac{2533208,44 \times 0,00011}{0,150} \times 0,4442 = 826,384 \text{ T/m} \end{aligned}$$

Menghitung c_ϕ^1 sesuai dengan rumus berikut:

$$\begin{aligned} c_\phi^1 &= \frac{E_p I}{V_s} f_{\phi_2} \\ &= \frac{2533208,44 \times 0,00011}{224,47} \times 0,2950 = 0,3667 \text{ T dt/m} \end{aligned}$$

Menghitung $k_{x\phi}^1$ sesuai dengan rumus:

$$\begin{aligned} k_{x\phi}^1 &= \frac{E_p I}{r_o^2} f_{x\phi_1} \\ &= \frac{2533208,44 \times 0,00011}{0,150^2} x - 0,0949 \\ &= -1177,1 \text{T/m} \end{aligned}$$

Menghitung $c_{x\phi}^1$ sesuai dengan rumus

$$\begin{aligned} c_{x\phi}^1 &= \frac{E_p I}{r_o V_s} f_{x\phi_2} \\ &= \frac{2533208,44 \times 0,00011}{0,150 \times 225,46} x - 0,1368 = -1,1338 \text{ Tdt/m} \end{aligned}$$

Menghitung k_{ϕ}^g sesuai dengan rumus

$$k_{\phi}^g = \Sigma [k_{\phi}^1 + k_w^1 X_r^2 + k_x^1 Z_c^2 - 2 Z_c k_{x\phi}^1]$$

$$k_w^1 = 89365,2 \text{ T/m}$$

$$k_x^1 = -1177,1 \text{T/m}$$

$$Z_c = 1,34 \text{ m}$$

$$X_r = 0 \text{ m}; 2\text{m}; 4 \text{ m}$$

$$k_{\phi}^g = \Sigma [k_{\phi}^1 + k_w^1 X_r^2 + k_x^1 Z_c^2 - 2 Z_c k_{x\phi}^1]$$

$$\begin{aligned} &= 6[826,384 + 89365,2 \times 0^2 + \\ &4547,6 \times 1,34^2 - 2 \times 0,134 \times (-1177,1)] \\ &= 72489,81 \text{ T/m} \end{aligned}$$

Nilai k_{ϕ}^g untuk variasi X_r sebagai berikut:

$$k_{\phi}^g = 2217254,10 \text{ T/m}$$

$$k_{\phi}^g = 8651546,94 \text{ T/m}$$

Sehingga total nilai k_{ϕ}^g adalah =

$$\begin{aligned} k_{\phi}^g &= 72489,81 + 2217254,10 + 8651546,94 \\ &= 10941290,90 \text{ T/m} \end{aligned}$$

Menghitung c_w^g sesuai dengan rumus berikut:

$$\begin{aligned}
 c_{\phi}^g &= \Sigma [c_{\phi}^1 + c_w^1 x_r^2 + c_x^1 Z_c^2 - 2Z_c c_{x\phi}^1] \\
 c_w^1 &= 81,1 \text{ T dt/m} \\
 c_x^1 &= 4,1 \text{ T dt/m} \\
 c_{\phi}^1 &= 0,3651 \text{ T dt/m} \\
 c_{x\phi}^1 &= -1,1288 \text{ T dt/m} \\
 Z_c &= 1,34 \text{ m} \\
 X_r &= 0 \text{ m}; 2,294 \text{ m}; 4,588 \text{ m} \\
 c_{\phi}^g &= \Sigma [c_{\phi}^1 + c_w^1 x_r^2 + c_x^1 Z_c^2 - 2Z_c c_{x\phi}^1] \\
 &= 4[0,3651 + 81,1 \times 0^2 + 4,1 \times 1,34^2 - \\
 &\quad 2 \times 1,34 \times (-1,1288)] \\
 &= 64,72 \text{ T dt/m}
 \end{aligned}$$

Nilai c_{ϕ}^g untuk variasi X_r sebagai berikut:

$$\begin{aligned}
 c_{\phi}^g &= 6951,18 \text{ T dt/m} \\
 c_{\phi}^g &= 12814,40 \text{ T dt/m}
 \end{aligned}$$

Sehingga total nilai c_{ϕ}^g adalah =

$$\begin{aligned}
 c_{\phi}^g &= 64,72 + 6951,18 + 12814,40 \\
 &= 19830,3 \text{ T dt/m}
 \end{aligned}$$

Menghitung k_{ϕ}^f , sesuai dengan rumus

$$\begin{aligned}
 S_{x1} \text{ dari tabel 5.6 untuk nilai } v = 0,4 \text{ adalah } 4,1 \\
 S_{x2} \text{ dari tabel 5.6 untuk nilai } v = 0,4 \text{ adalah } 10,60 \\
 S_{\phi 1} \text{ dari tabel 5.6 untuk nilai } v = 0,4 \text{ adalah } 2,5 \\
 S_{\phi 2} \text{ dari tabel 5.6 untuk nilai } v = 0,4 \text{ adalah } 1,8
 \end{aligned}$$

$$\begin{aligned}
 h &= 2 \text{ m} \\
 r_o &= 3,36 \text{ m} \\
 \delta &= h/r_o = 2/3,36 = 0,60
 \end{aligned}$$

$$\begin{aligned}
k_{\phi}^f &= G_s r_o^2 h S_{\phi 1} + G_s r_o^2 h \left[\left(\frac{\delta^2}{3} \right) + \left(\frac{Z_c}{r_o} \right)^2 - \delta \left(\frac{Z_c}{r_o} \right) \right] S_{x1} \\
&= 6373,3 \times 3,36^2 \times 2,2 \times 2,5 + 6373,3 \times 3,36^2 \times \\
&\quad 1 \left[\left(\frac{0,60^2}{3} \right) + \left(\frac{1,40}{3,36} \right)^2 - 0,60 \left(\frac{1,40}{3,36} \right) \right] \times 4,1 \\
&= 483773,5 \text{ T/m}
\end{aligned}$$

Menghitung c_{ϕ}^f , sesuai dengan rumus berikut:

$$\begin{aligned}
c_{\phi}^f &= \delta r_o^4 \sqrt{G_s \gamma_s / g} \{ S_{\phi 2} + \left(\frac{\delta^2}{3} \right) + \left(\frac{Z_c}{r_o} \right)^2 - \delta \left(\frac{Z_c}{r_o} \right) \} S_{x2} \\
&= 0,60 \times 3,36^4 \times \sqrt{6317,54 \times 1,695 / 9,81} \{ 1,8 + \\
&\quad \left[\left(\frac{0,60^2}{3} \right) + \left(\frac{0,60}{3,36} \right)^2 - 0,60 \left(\frac{1,40}{3,36} \right) \right] \} 10,60 \\
&= 161114,7 \text{ T dt/m}
\end{aligned}$$

Total k_{ϕ}^g sesuai dengan rumus

$$\begin{aligned}
\Sigma k_{\phi}^g &= k_{\phi}^g + k_{\phi}^f \\
&= 109941290,9 + 483773,5 \\
&= 11425064,39 \text{ T/m}
\end{aligned}$$

Total c_{ϕ}^f sesuai dengan rumus

$$\begin{aligned}
\Sigma c_{\phi}^g &= c_{\phi}^g + c_{\phi}^f \\
&= 19830,3 + 161114,7 \\
&= 180944,99 \text{ T dt/m}
\end{aligned}$$

Total ξ_{ϕ}^g sesuai dengan rumus

$$\begin{aligned}
\xi_{\phi}^g &= \frac{\Sigma c_{\phi}^g}{2(\Sigma k_{\phi}^g M_{mo})^{0,5}} \\
&= \frac{180944,99}{2(11425064,39 \times 251,25)^{0,5}} = 0,0169
\end{aligned}$$

Frekuensi natural (f_n) rumus :

$$\begin{aligned} f_{n\phi} &= \frac{1}{2\pi} \sqrt{\frac{k}{M_{mo}}} \\ &= \frac{1}{2\pi} \sqrt{\frac{11425064,4}{251,25}} &= 33,94 \text{ cps} \end{aligned}$$

Frekuensi resonansi (f_r) rumus:

$$\begin{aligned} f_r &= f_n \sqrt{1 - 2D^2} \\ &= 33,94 \sqrt{1 - 2 \times 0,0169^2} &= 33,93 \text{ cps} \end{aligned}$$

Frekuensi mesin $f_m = 1920 \text{ rpm} = 32 \text{ cps}$

Resonansi (r) rumus :

$$\begin{aligned} r &= \frac{f_m}{f_n} \\ &= \frac{32}{33,94} &= 0,93 \end{aligned}$$

Transmisibility(Tr) rumus ;

$$\begin{aligned} Tr &= \frac{\sqrt{1+2Dr^2}}{\sqrt{(1-r^2)^2+(2Dr)^2}} \\ &= \frac{\sqrt{1+2 \times 0,0169 \times 0,93^2}}{\sqrt{(1-0,93^2)^2+(2 \times 0,0169 \times 0,93)^2}} \\ &= 7,62 \end{aligned}$$

Nilai beban yang disalurkan (Ft)

$$\begin{aligned} Ft &= Tr \times Qo \\ &= 7,62 \times 2,07 \\ &= 15,77 \text{ Ton} \end{aligned}$$

Magnification (M) rumus

$$\begin{aligned} M &= \frac{1}{\sqrt{(1-r^2)^2+(2Dr)^2}} \\ &= \frac{1}{\sqrt{(1-0,93)^2+(2 \times 0,0169 \times 0,93)^2}} \\ &= 7,51 &< 1,5 \text{ OK} \end{aligned}$$

Amplitudo (A) rumus

$$\begin{aligned} A &= M \frac{\omega_0}{k} \\ &= 7,51 \times \frac{2,07}{11425064,39} \\ &= 1,36E-06 \text{ rad} \\ &= 5,356E-05 \text{ inch} \end{aligned}$$

$$\begin{aligned} V &= 2\pi f (A) \\ &= 2 \times 3,14 \times 25 \times 5,356E-05 \text{ inch} \\ &= 1,07E -02 \text{ in/dt} \end{aligned}$$

Didapat hasil frekuensi dari mesin (f) = 32 cps, Amplitudo yang terjadi (A) = 5,356E-05 inch dan Kecepatan (V) = 1,07E -02 in/dt. Setelah didapatkan data tersebut diplotkan pada gambar grafik 5.8 untuk mengecek syarat keamanan mesin terebut menurut parameter frekuensi dengan amplitudo, dan menurut parameter frekuensi dengan kecepatan dicek dengan gambar grafik 5.9.

Sesuai gambar grafik 5.8 parameter Frekuensi (f) = 32 cps dan Amplitudo (A) 5,356E-05 inch masuk area tidak terasa (*Not Noticeable*).

Sesuai gambar grafik 5.9 parameter Frekuensi (f) = 32 cps dan Kecepatan (V) = 1,07E -02 in/dt masuk dibawah area “*Barely Noticeable to Person*” yang berarti hampir tidak terasa.

5.7 Perencanaan Poer

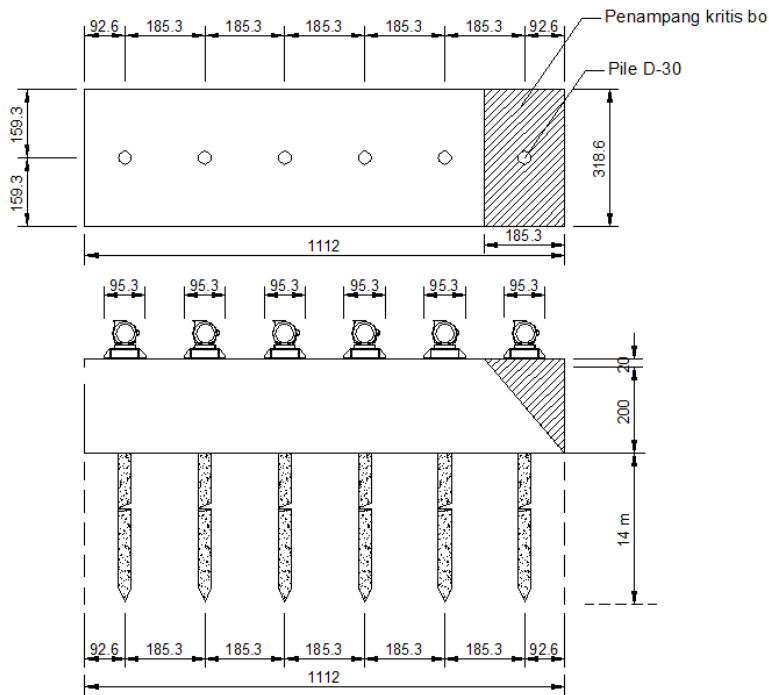
Poer direncanakan terhadap gaya geser ponds pada penampang kritis dan penulangan akibat momen lentur.

Data-data perencanaan poer:

| | |
|--|--------------------------|
| P_{maks} (1tiang) | : 72,6 ton = 72600 Kg |
| Jumlah tiang | : 6 buah |
| Dimensi poer (pxlxxt) | : 11,12 x 3,186 x 2,2 m |
| Mutu beton (f_c') | : K350 = $f_c' = 30$ MPa |
| Mutu baja (f_y) | : 400 MPa |
| Diammeter tulangan | : 25 mm |
| Selimut beton | : 70 mm |
| λ | : 1 (beton normal) |
| a_s | : 40 |
| Mutu tiang | : K350 = $f'_c = 30$ MPa |
| Tinggi efektif plat (d) | |
| $d_x = 2200 - 70 - \frac{1}{2} \times 25$ | : 2117,5 mm |
| $d_y = 2200 - 70 - 25 - \frac{1}{2} \times 25$ | : 2092,5 mm |

5.8 Kontrol Geser Ponds Poer

Kontrol geser ponds untuk memastikan bahwa kekuatan geser nominal beton harus lebih besar dari geser ponds yang terjadi, Perencanaan geser ponds berdasarkan ketentuan SNI 03-2847-2012 Pasal 11.11.2.1. Untuk perencanaan geser ponds dari poer bisa dilihat pada gambar 5.10.



Gambar 5.10 Perencanaan Geser Ponds

Nilai V_c digunakan nilai terkecil dari persamaan berikut:

$$V_{c1} = 0,17 \left(1 + \frac{2}{\beta}\right) \lambda \sqrt{f'c} x b_o x d$$

$$V_{c2} = 0,083 \left(\frac{a_s d}{b_o}\right) \lambda \sqrt{f'c} x b_o x d$$

$$V_{c3} = 0,333 \lambda \sqrt{f'c} x b_o x d$$

dimana:

$$\begin{aligned}
 \beta &= \text{rasio sisi terpanjang terhadap sisi terpendek} \\
 &\text{daerah beban terpusat} = 300/300 = 1 \\
 b_o &= \text{keliling penampang kritis} \\
 &= (2 \times 3186) + (2 \times 1853) \\
 &= 10078 \text{ mm} \\
 V_{c1} &= 0,17 \left(1 + \frac{2}{\beta}\right) \lambda \sqrt{f'c} x b_o x dx \\
 &= 0,17 \left(1 + \frac{2}{1}\right) \cdot 1 \cdot \sqrt{30} x 10078 x 2117,5 \\
 &= 59611297,73 \text{ N} \\
 V_{c2} &= 0,083 \left(\frac{a_s d}{b_o}\right) \lambda \sqrt{f'c} x b_o x dx \\
 &= 0,083 \left(\frac{40,2117,5}{10078}\right) \cdot 1 \cdot \sqrt{30} x 10078 x 2117,5 \\
 &= 81535276,640 \text{ N} \\
 V_{c3} &= 0,333 \lambda \sqrt{f'c} x b_o x dx \\
 &= 0,333 \cdot 1 \cdot \sqrt{30} x 10078 x 2117,5 \\
 &= 38922670,87 \text{ N}
 \end{aligned}$$

Dari ketiga nilai V_c di atas diambil nilai terkecil, maka kapasitas penampang dalam memikul geser adalah $38922670,87 \text{ N} = 3967652,466 \text{ Kg}$.

$$\begin{aligned}
 \bar{\Omega}V_c &= 0,6 \cdot 3967652 \text{ Kg} > P_{\text{maks}} \\
 &= 2380591,48 \text{ Kg} > 72600 \text{ Kg (OK!)}
 \end{aligned}$$

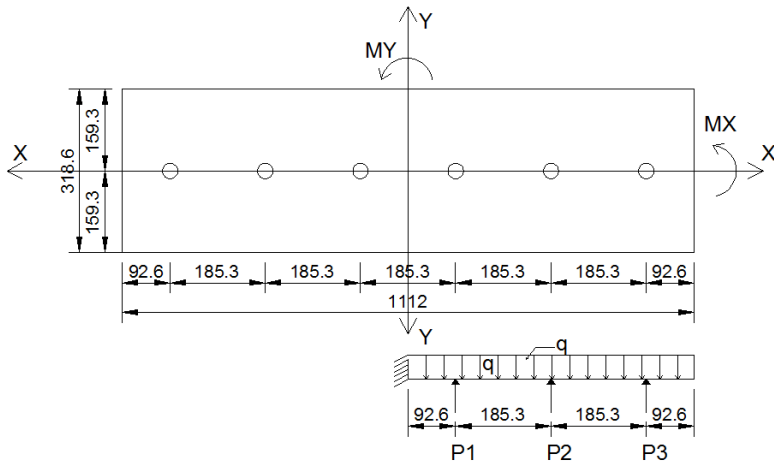
Jadi ketebalan dan ukuran poer memenuhi syarat terhadap geser ponds akibat pancang.

5.9 Perhitungan Penulangan Poer

Dimensi *pilecap* yang digunakan sesuai rencana (pxlxt) $= 11,12 \times 3,186 \times 2,2$ meter dengan bagian tertanam tanah sedalam 1 meter. Untuk penulangan lentur, pondasi *poer* dianalisa sebagai balok kantilever dengan perletakan jepit per segmen. Sedangkan beban yang bekerja adalah beban dari pondasi tiang pancang dan berat sendiri *poer*. Perhitungan gaya dalam pada *poer* didapat dengan teori mekanika statis tertentu.

5.9.1 Penulangan Arah X

Untuk pembebanan penulangan arah x pada poer mekanika statisnya dapat dilihat pada gambar 5.11.



Gambar 5.11 Pembebanan Penulangan Arah X

$$P_{\text{maks}} = 72,6 \text{ Ton} \text{ (kekuatan bahan tiang pancang)}$$

$$P = 72,6 \text{ ton}$$

$$Q = 11,12 \times 2,2 \times 2,4 \text{ ton/m} = 58,71 \text{ ton/m}$$

$$qu = 58,71 \text{ ton/m} \times 1,2 = 70,46 \text{ ton/m}$$

$$\begin{aligned} Mu &= (2P_{\text{maks}} \times 2,0) - (\frac{1}{2} \times qu \times 3,15^2) \\ &= (72,6 \times 0,926) + (72,6 \times 2,779) + (72,6 \times 4,632) - \\ &\quad (\frac{1}{2} \times 70,46 \times 5,6^2) \end{aligned}$$

$$= -499,55 \text{ tonm}$$

$$= 4900639859 \text{ Nmm}$$

$$dx = 2200 - 70 - \frac{1}{2} \times 25 = 2117,5 \text{ mm}$$

$$dy = 2200 - 70 - 25 - \frac{1}{2} \times 25 = 2092,5 \text{ mm}$$

$$Mn = \frac{Mu}{\emptyset} = \frac{4900639859}{0,8} = 6125799823 \text{ Nmm}$$

$$m = \frac{f_y}{0,85 \cdot f'_c} = \frac{240}{0,85 \cdot 30} = 9,412$$

$$\rho_{\min} = \frac{1,4}{f_y} = \frac{1,4}{240} = 0,00058$$

$$\rho_{bal} = \frac{0,85 f' c \beta}{f_y} \left(\frac{600}{600+f_y} \right)$$

$$= \frac{0,85 \cdot 30 \cdot 0,85}{240} \left(\frac{600}{600+240} \right)$$

$$= 0,0645$$

$$\rho_{\max} = 0,75 \rho_{bal} = 0,75 \times 0,0645 = 0,086$$

$$R_n = \frac{Mn}{bd^2} = \frac{6125799823}{3186 \times 2117,5^2} = 0,429$$

$$\rho_{perlu} = \frac{1}{m} \left(1 - \sqrt{1 - \frac{2m \cdot R_n}{f_y}} \right)$$

$$= \frac{1}{9,412} \left(1 - \sqrt{1 - \frac{2,9,412 \cdot 0,429}{240}} \right)$$

$$= 0,00018 < \rho_{\min}, \text{ Jadi dipakai } \rho = 0,00058$$

Tulangan tarik yang dibutuhkan :

$$\begin{aligned} As &= \rho \times b \times d_x \\ &= 0,00058 \times 3186 \times 2117,5 \\ &= 3912,886 \text{ mm}^2 \end{aligned}$$

Digunaan tulangan D25 (As = 490,9 mm²)

$$\text{Jumlah tulangan perlu} = \frac{3910,430}{490,9} = 7,97 = 9 \text{ buah}$$

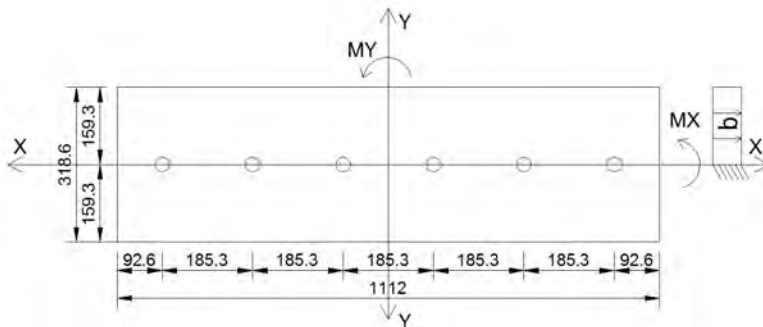
$$\text{Jarak tul. terpasang} = \frac{2200}{9-1} = 275 \approx \text{dipakai } 275 \text{ mm}$$

Digunakan tulangan lentur atas D25-275 mm

$$\begin{aligned} A_s &= \left(\frac{1}{4} \times \pi \times d^2 \right) \frac{2200}{275} \\ &= 3927,2 \text{ mm}^2 > 3912,886 \text{ mm}^2 \quad (\text{OK!}) \end{aligned}$$

5.9.2 Penulangan Arah Y

Untuk pembebanan penulangan arah y pada posisi mekanika statis nya dapat dilihat pada gambar 5.12.



Gambar 5.12 Pembebanan Penulangan Arah Y

$$P_{\text{maks}} = 72,6 \text{ Ton} \text{ (kekuatan bahan tiang pancang)}$$

$$P = 72,6 = 217,8 \text{ ton}$$

$$Q = 11,12 \times 2,2 \times 2,4 \text{ ton/m} = 58,71 \text{ ton/m}$$

$$qu = 58,71 \text{ ton/m} \times 1,2 = 70,46 \text{ ton/m}$$

$$Mu = -(\frac{1}{2} \times qu \times 1,593^2)$$

$$= -(\frac{1}{2} \times 70,46 \times 1,593^2)$$

$$= 89,40 \text{ tonm}$$

$$= 877023728,3 \text{ Nmm}$$

$$dx = 2200 - 70 - \frac{1}{2} \times 25 = 2117,5 \text{ mm}$$

$$dy = 2200 - 70 - 25 - \frac{1}{2} \times 25 = 2092,5 \text{ mm}$$

$$Mn = \frac{Mu}{\varnothing} = \frac{877023728,3}{0,8} = 1096279660 \text{ Nmm}$$

$$m = \frac{fy}{0,85 \cdot f'c} = \frac{240}{0,85 \cdot 30} = 9,412$$

$$\rho_{\text{min}} = \frac{1,4}{fy} = \frac{1,4}{240} = 0,00058$$

$$\rho_{\text{bal}} = \frac{0,85 \cdot f'c \cdot \beta}{fy} \left(\frac{600}{600 + fy} \right)$$

$$= \frac{0,85 \cdot 30 \cdot 0,85}{240} \left(\frac{600}{600+240} \right)$$

$$= 0,0645$$

$$\rho_{\max} = 0,75 \rho_{bal} = 0,75 \times 0,0645 = 0,086$$

$$Rn = \frac{Mn}{bd^2} = \frac{1096279660}{3186 \times 2117,5^2} = 0,077$$

$$\rho_{\text{perlu}} = \frac{1}{m} \left(1 - \sqrt{1 - \frac{2m \cdot Rn}{fy}} \right)$$

$$= \frac{1}{9,412} \left(1 - \sqrt{1 - \frac{2,9412 \cdot 0,077}{240}} \right)$$

$$= 0,00032 < \rho_{\min}, \text{ Jadi dipakai } \rho = 0,00058$$

Tulangan tarik yang dibutuhkan :

$$\begin{aligned} As &= \rho \times b \times d_x \\ &= 0,0035 \times 3186 \times 2117,5 \\ &= 3912,886 \text{ mm}^2 \end{aligned}$$

Digunaan tulang D25($As = 490,9 \text{ mm}^2$)

$$\text{Jumlah tulangan perlu} = \frac{3910,430}{490,9} = 7,97 = 9 \text{ buah}$$

$$\text{Jarak tul. terpasang} = \frac{2200}{9-1} = 275 \approx \text{dipakai } 275 \text{ mm}$$

Digunakan tulangan lentur atas D25-275 mm

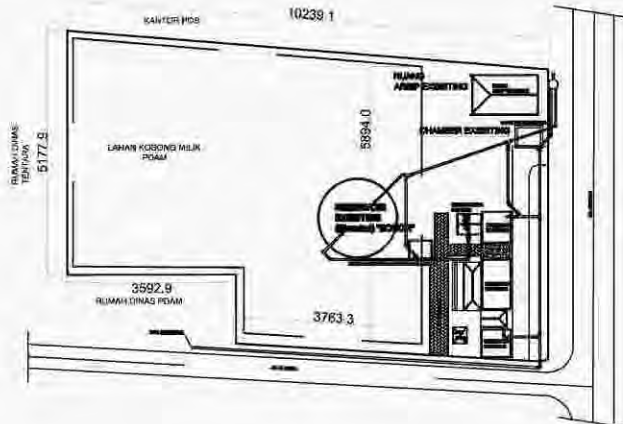
$$\begin{aligned} A_s &= \left(\frac{1}{4} \pi \times d^2 \right) \frac{2200}{275} \\ &= 3927,2 \text{ mm}^2 > 3912,886 \text{ mm}^2 \quad (\text{OK!}) \end{aligned}$$

“Halaman ini sengaja dikosongkan”



Denah RP. Krembangan

Skala 1:1000



Jurusan Teknik Sipil
Fakultas Teknik Sipil Dan Perencanaan
Institut Teknologi Sepuluh Nopember

Judul Tugas Akhir

PERENCANAAN KAPASITAS
POMPA DAN PONDASI BEBAN
DINAMIS PADA RUMAH POMPA
KREMBANGAN UNTUK PROYEKSI
KEBUTUHAN AIR TAHUN 2030

Dosen Pembimbing

1. Ir. Wasit Wardoyo, MSc, PhD
2. Endah Wahyuni, ST, MSc., PhD

Keterangan

Nama Mahasiswa

Gandarjati Nur Pramartha

| Revisi | Tanggal | Catatan |
|--------|---------|---------|
| | | |

Nama Gambar

Denah RP. Krembangan

| Skala | No Gambar | Jumlah Gambar |
|--------|-----------|---------------|
| 1:1000 | 1 | 11 |



Jurusan Teknik Sipil
Fakultas Teknik Sipil Dan Perencanaan
Institut Teknologi Sepuluh Nopember

Judul Tugas Akhir

**PERENCANAAN KAPASITAS
POMPA DAN PONDASI BEBAN
DINAMIS PADA RUMAH POMPA
KREMBANGAN UNTUK PROYEKSI
KEBUTUHAN AIR TAHUN 2030**

Dosen Pembimbing

1. ir. Wasis Wardoyo, MSc, PhD
2. Endah Wahyuni, ST, MSc., PhD

Keterangan

Nama Mahasiswa

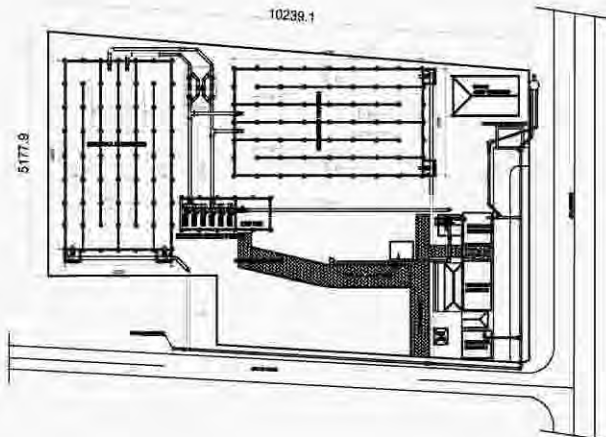
Gandarjati Nur Pramartha

| Revisi | Tanggal | Catatan |
|--------|---------|---------|
| | | |

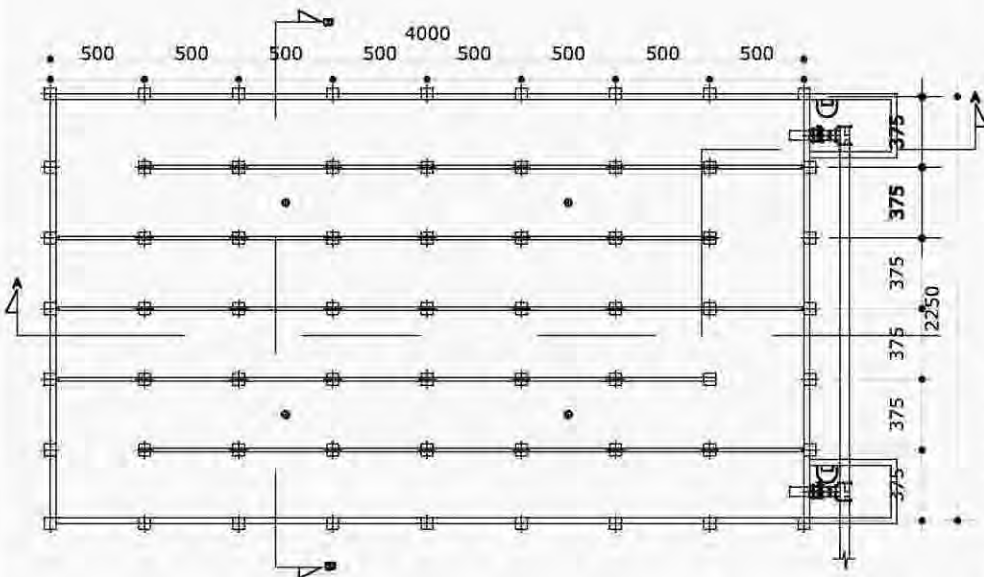
Nama Gambar

Detail Pondasi

| Skala | No Gambar | Jumlah Gambar |
|--------|-----------|---------------|
| 1:1000 | 2 | 11 |



Rencana Lokasi Reservoir
Skala 1:1000



Denah Reservoir
Skala 1:2500



Jurusan Teknik Sipil
Fakultas Teknik Sipil Dan Perencanaan
Institut Teknologi Sepuluh Nopember

Judul Tugas Akhir

PERENCANAAN KAPASITAS
POMPA DAN PONDASI BEBAN
DINAMIS PADA RUMAH POMPA
KREMBANGAN UNTUK PROYEKSI
KEBUTUHAN AIR TAHUN 2030

Dosen Pembimbing

1. ir. Wasis Wardoyo, MSc, PhD
2. Endah Wahyuni, ST, MSc, PhD

Keterangan

Nama Mahasiswa

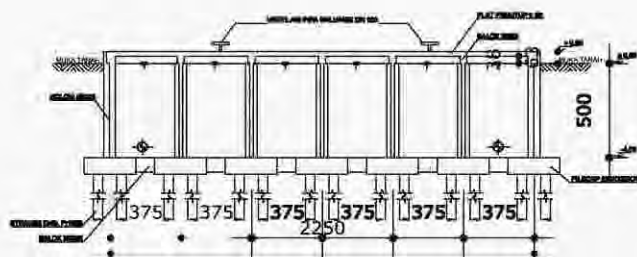
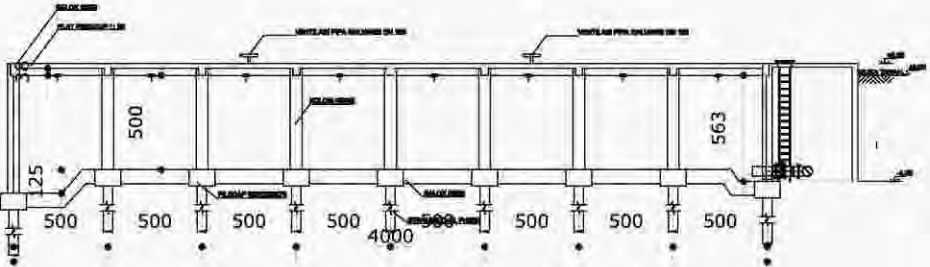
Gandarjati Nur Pramarta

| Revisi | Tanggal | Catatan |
|--------|---------|---------|
| | | |

Nama Gambar

- Denah Reservoir

| Skala | No Gambar | Jumlah Gambar |
|--------|-----------|---------------|
| 1:2500 | 3 | 11 |



Jurusan Teknik Sipil
Fakultas Teknik Sipil Dan Perencanaan
Institut Teknologi Sepuluh Nopember

Judul Tugas Akhir

PERENCANAAN KAPASITAS
POMPA DAN PONDASI BEBAN
DINAMIS PADA RUMAH POMPA
KREMBANGAN UNTUK PROYEKSI
KEBUTUHAN AIR TAHUN 2030

Dosen Pembimbing

1. Ir. Wasit Wardoyo, MSc, PhD
2. Endah Wahyuni, ST, MSc., PhD

Keterangan

Nama Mahasiswa

Gandarjati Nur Pramartha

| Revisi | Tanggal | Catatan |
|--------|---------|---------|
| | | |

Nama Gambar

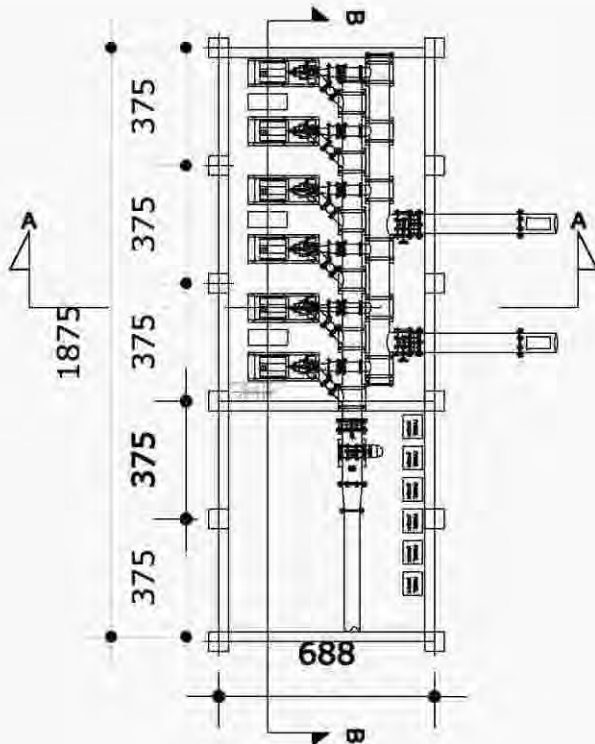
- Potongan A-A
- Potongan B-B

| Skala | No Gambar | Jumlah Gambar |
|--------|-----------|---------------|
| 1:2500 | 4 | 11 |



Denah Rumah Pompa

Skala 1:1500



Jurusan Teknik Sipil
Fakultas Teknik Sipil Dan Perencanaan
Institut Teknologi Sepuluh Nopember

Judul Tugas Akhir

PERENCANAAN KAPASITAS
POMPA DAN PONDASI BEBAN
DINAMIS PADA RUMAH POMPA
KREMBANGAN UNTUK PROYEKSI
KEBUTUHAN AIR TAHUN 2030

Dosen Pembimbing

1. Ir. Wasit Wardoyo, MSc, PhD
2. Endah Wahyuni, ST, MSc., PhD

Keterangan

Nama Mahasiswa

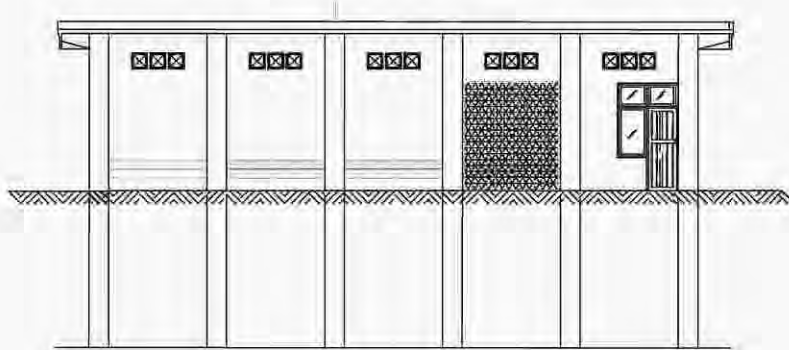
Gandarjati Nur Pramartha

| Revisi | Tanggal | Catatan |
|--------|---------|---------|
| | | |

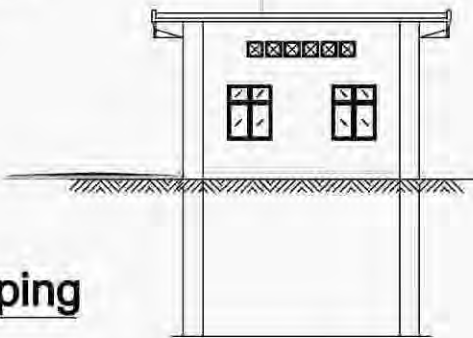
Nama Gambar

- Denah Rumah Pompa

| Skala | No Gambar | Jumlah Gambar |
|--------|-----------|---------------|
| 1:1500 | 5 | 11 |



 **Tampak Depan**
Skala 1:1500



 **Tampak Samping**
Skala 1:1500



Jurusan Teknik Sipil
Fakultas Teknik Sipil Dan Perencanaan
Institut Teknologi Sepuluh Nopember

Judul Tugas Akhir

**PERENCANAAN KAPASITAS
POMPA DAN PONDASI BEBAN
DINAMIS PADA RUMAH POMPA
KREMBANGAN UNTUK PROYEKSI
KEBUTUHAN AIR TAHUN 2030**

Dosen Pembimbing

1. Ir. Wasit Wardoyo, MSc, PhD
2. Endah Wahyuni, ST, MSc., PhD

Keterangan

Nama Mahasiswa

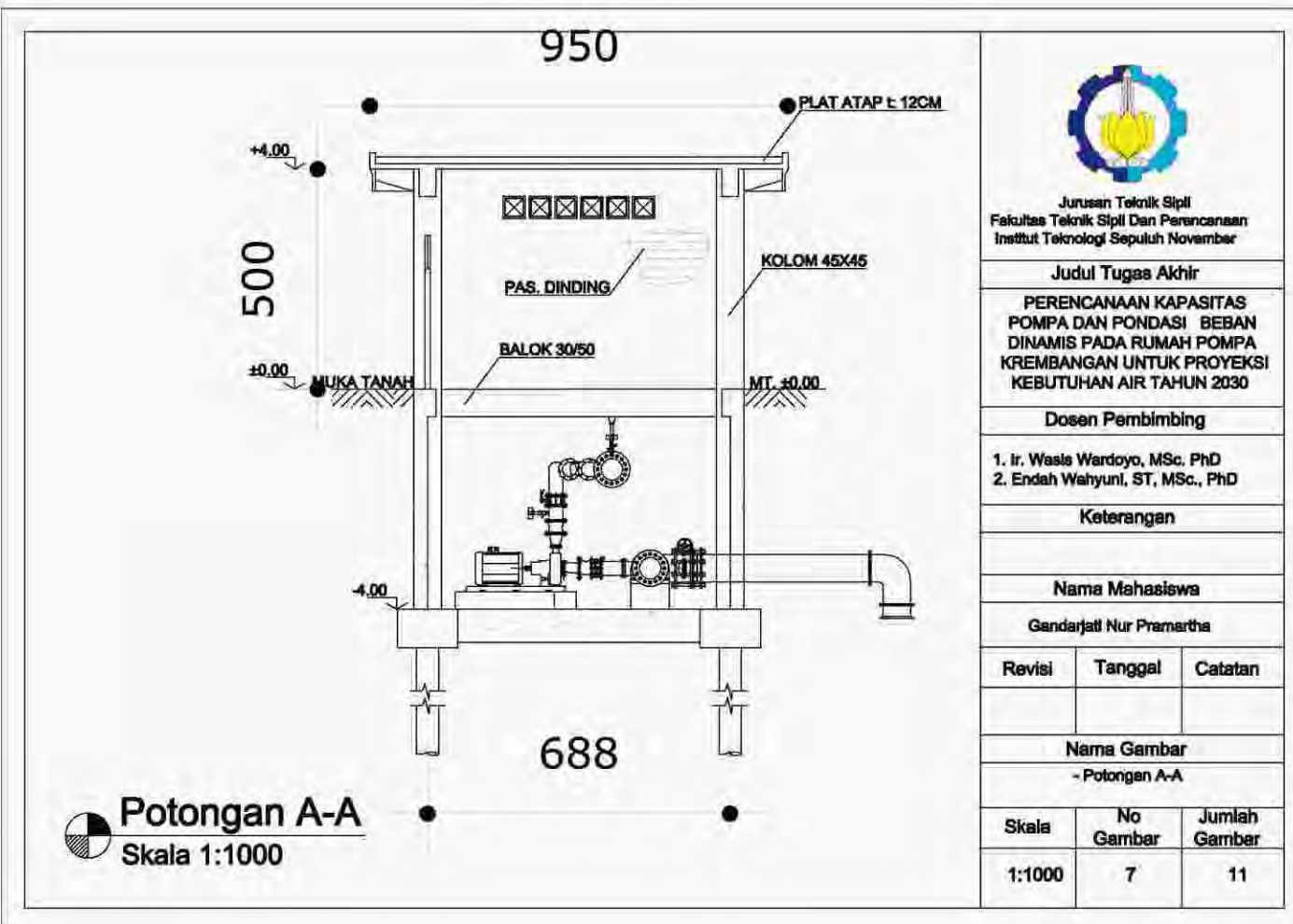
Gendarjati Nur Pramartha

| Revisi | Tanggal | Catatan |
|--------|---------|---------|
| | | |

Nama Gambar

- Tampak Samping
- Tampak Depan

| Skala | No Gambar | Jumlah Gambar |
|--------|--------------|------------------|
| 1:1500 | 8 | 11 |





Jurusan Teknik Sipil
Fakultas Teknik Sipil Dan Perencanaan
Institut Teknologi Sepuluh Nopember

Judul Tugas Akhir

PERENCANAAN KAPASITAS
POMPA DAN PONDASI BEBAN
DINAMIS PADA RUMAH POMPA
KREMBANGAN UNTUK PROYEKSI
KEBUTUHAN AIR TAHUN 2030

Dosen Pembimbing

1. Ir. Wasis Wardoyo, MSc, PhD
2. Endah Wahyuni, ST, MSc., PhD

Keterangan

Nama Mahasiswa

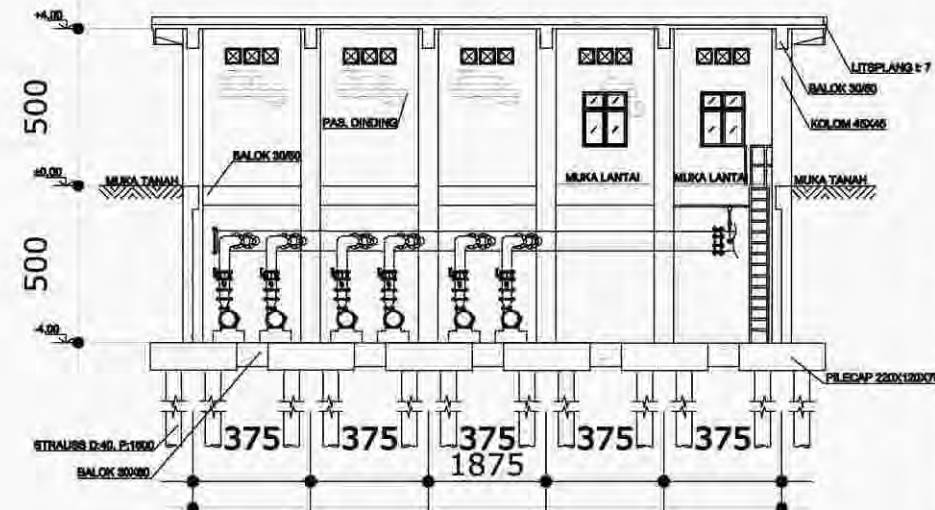
Gandarjati Nur Pramarta

| Revisi | Tanggal | Catatan |
|--------|---------|---------|
| | | |

Nama Gambar

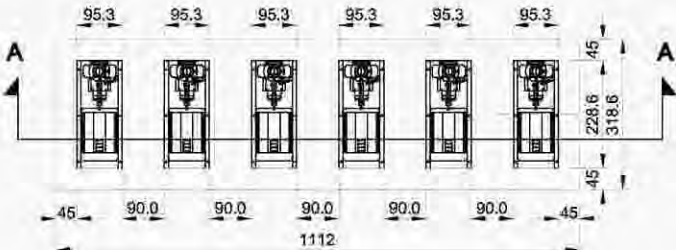
- Potongan B-B

| Skala | No Gambar | Jumlah Gambar |
|--------|-----------|---------------|
| 1:1500 | 8 | 11 |

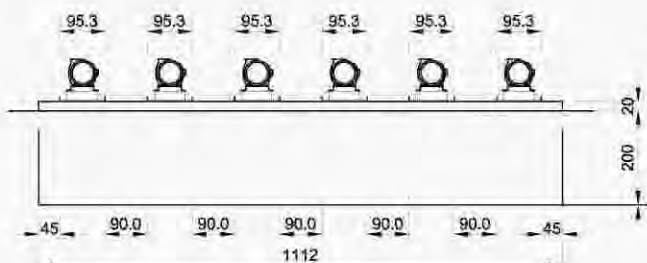


Potongan B-B

Skala 1:1500



Denah Mesin
Skala 1:100



Potongan A-A
Skala 1:100



Jurusan Teknik Sipil
Fakultas Teknik Sipil Dan Perencanaan
Institut Teknologi Sepuluh Nopember

Judul Tugas Akhir

PERENCANAAN KAPASITAS
POMPA DAN PONDASI BEBAN
DINAMIS PADA RUMAH POMPA
KREMBANGAN UNTUK PROYEKSI
KEBUTUHAN AIR TAHUN 2030

Dosen Pembimbing

1. Ir. Wasis Wardoyo, MSc, PhD
2. Endah Wahyuni, ST, MSc., PhD

Keterangan

Nama Mahasiswa

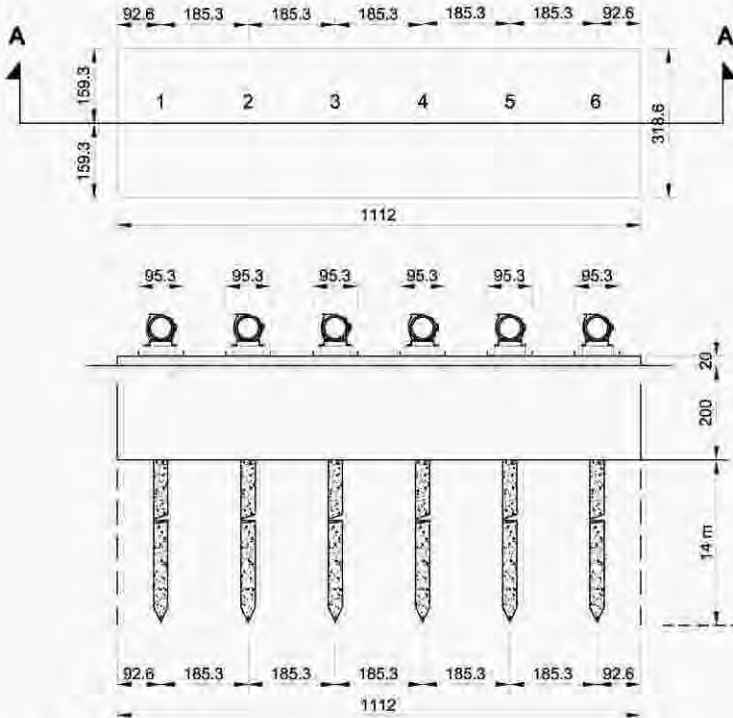
Gandarjati Nur Pramartha

| Revisi | Tanggal | Catatan |
|--------|---------|---------|
| | | |

Nama Gambar

- Denah Mesin
- Potongan A-A

| Skala | No Gambar | Jumlah Gambar |
|-------|-----------|---------------|
| 1:100 | 9 | 11 |



Denah Tiang & Potongan A-A

Skala 1:100



Fakultas Teknik Sipil Dan Perencanaan
Institut Teknologi Sepuluh Nopember

Judul Tugas Akhir

PERENCANAAN KAPASITAS POMPA DAN PONDASI BEBAN DINAMIS PADA RUMAH POMPA KREMBANGAN UNTUK PROYEKSI KEBUTUHAN AIR TAHUN 2030

Dosen Pembimbing

1. Ir. Wasis Wardoyo, MSc., PhD
2. Endah Wahyuni, ST, MSc., PhD

Keterangan

Nama Mahasiswa

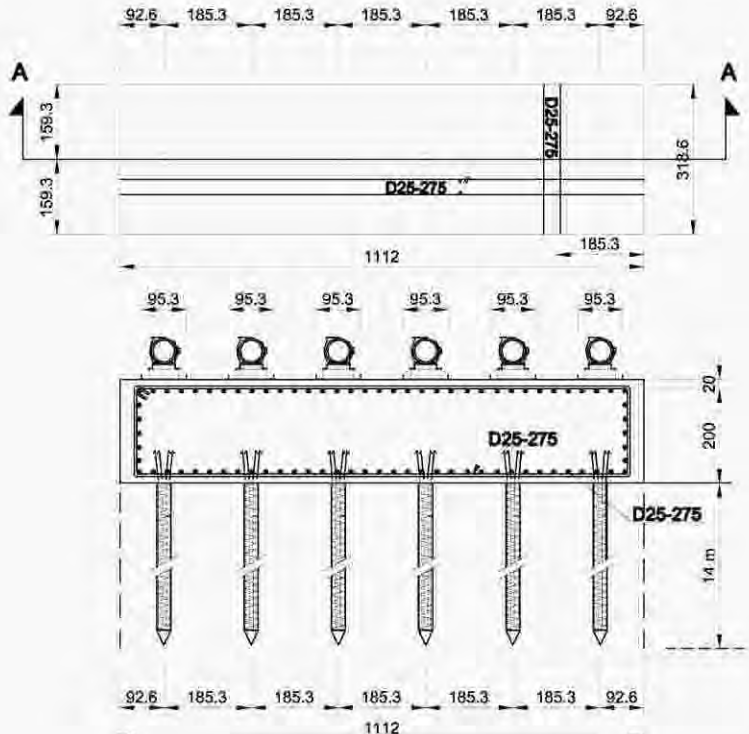
Gandhari Nur Pramarta

| Revisi | Tanggal | Catatan |
|--------|---------|---------|
|--------|---------|---------|

Name Gambar

Denah Tiang Pancang Potongan A-A

| Skala | No Gambar | Jumlah Gambar |
|-------|-----------|---------------|
| 1:100 | 10 | 11 |



Denah Tulangan & Potongan A-A
Skala 1:100



Jurusan Teknik Sipil
Fakultas Teknik Sipil Dan Perencanaan
Institut Teknologi Sepuluh Nopember

Judul Tugas Akhir

**PERENCANAAN KAPASITAS
POMPA DAN PONDASI BEBAN
DINAMIS PADA RUMAH POMPA
KREMBANGAN UNTUK PROYEKSI
KEBUTUHAN AIR TAHUN 2030**

Dosen Pembimbing

1. Ir. Wasis Wardoyo, MSc, PhD
2. Endah Wahyuni, ST, MSc., PhD

Keterangan

Nama Mahasiswa

Gandarjati Nur Pramartha

| Revisi | Tanggal | Catatan |
|--------|---------|---------|
| | | |

Nama Gambar

Denah Tulangan
Potongan A-A

| Skala | No Gambar | Jumlah Gambar |
|-------|-----------|---------------|
| 1:100 | 11 | 11 |

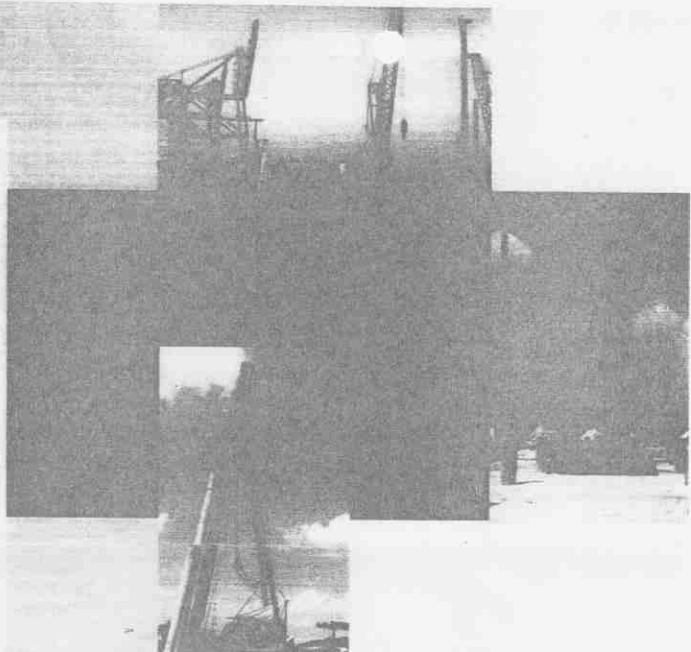
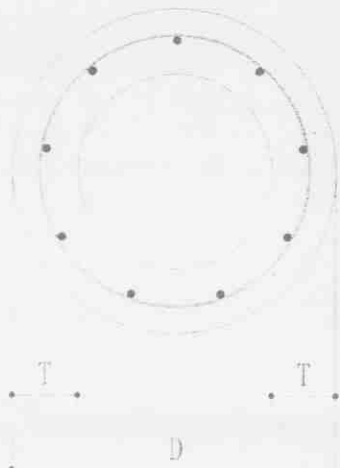
Tabel 06.01.07

Banyaknya Industri Besar menurut
Ekstrangan Industri per Kecamatan/
Nanjang di Kabupaten Surabaya
By Industrial Categories by Sub-District

2014

| Kecamatan/ Sub-District | Jenis Industri/Jype of Industries | | | | | | |
|--|-----------------------------------|-----|-----|-----|-----|-----|-----|
| | (1) | (2) | (3) | (4) | (5) | (6) | (7) |
| Surabaya Pusat | 10 | 11 | 12 | 13 | 14 | 15 | 16 |
| 11. Teplastek | - | - | - | - | - | - | - |
| 02. Gending | - | - | - | - | - | - | - |
| 03. Bubutan | - | - | - | - | - | - | - |
| 04. Srengseng | - | - | - | - | - | - | - |
| Surabaya Utara | - | - | - | - | - | - | - |
| 05. Plosoan Cudukan | 3 | - | - | - | - | - | - |
| 06. Sambutan | - | - | - | - | - | - | - |
| 07. Krembung | - | - | - | - | - | - | - |
| 08. Kejadian | - | - | - | - | - | - | - |
| 09. Blimbing | - | - | - | - | - | - | - |
| Surabaya Timur | - | - | - | - | - | - | - |
| 10. Tambakalan | 1 | - | - | - | - | - | - |
| 11. Guleng | 1 | - | - | - | - | - | - |
| 12. Rungkut | 2 | - | - | - | - | - | - |
| 13. Tembaga Malang | 5 | - | - | - | - | - | - |
| 14. Gunung Anyar | 3 | - | - | - | - | - | - |
| 15. Sukolilo | - | - | - | - | - | - | - |
| 16. Mulyorejo | - | - | - | - | - | - | - |
| Surabaya Selatan | - | - | - | - | - | - | - |
| 17. Sowan | 1 | - | - | - | - | - | - |
| 18. Wringicomo | - | - | - | - | - | - | - |
| 19. Karangpuring | 2 | - | - | - | - | - | - |
| 20. Deksan Palas | - | - | - | - | - | - | - |
| 21. Wringin | - | - | - | - | - | - | - |
| 22. Wonocolo | - | - | - | - | - | - | - |
| 23. Geylangjati | - | - | - | - | - | - | - |
| 24. Lamongan | - | - | - | - | - | - | - |
| Surabaya Barat | - | - | - | - | - | - | - |
| 25. Tritis | 3 | - | 4 | 1 | 1 | 2 | 2 |
| 26. Sukomeninggoro | 5 | - | 5 | 3 | 3 | 2 | 2 |
| 27. Kasuworo | 1 | - | 2 | 2 | 1 | 1 | 1 |
| 28. Pakow | - | - | - | - | - | - | - |
| 29. Pakel | - | - | - | - | - | - | - |
| 30. Lubarsih | - | - | - | - | - | - | - |
| 31. Sumurwetan | - | - | - | - | - | - | - |
| Jumlah/Total | 30 | 0 | 6 | 4 | 6 | 13 | 10 |
| Jumlah/Total | 7 | - | 7 | 3 | 3 | 26 | 13 |
| Sumber: Badan Pusat Statistik Kota Surabaya Sumber: BPS - Statistik of Surabaya | | | | | | | |

Shape and Dimension



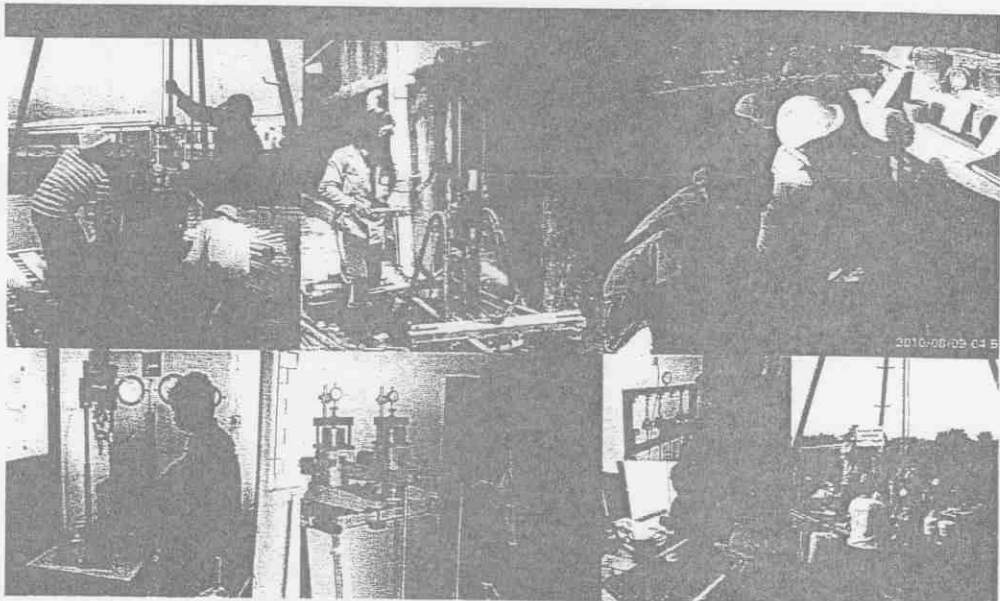
Classification

| Outside Diameter (mm) | Wall Thickness (mm) | Class | Concrete Cross Section (cm ²) | Unit Weight (Kg/m) | Length (m) | Bending Moment Crack (Ton.m) | Moment Ultimate (Ton.m) | Allowable Axial Load (Ton) |
|-----------------------|---------------------|-------|---|--------------------|------------|------------------------------|-------------------------|----------------------------|
| 300 | 60 | A2 | 452 | 113 | 6 - 13 | 2.50 | 3.75 | 72.60 |
| | | A3 | | | | 3.00 | 4.50 | 70.75 |
| | | B | | | | 3.50 | 6.30 | 67.50 |
| | | C | | | | 4.00 | 8.00 | 65.40 |
| 350 | 65 | A1 | 582 | 145 | 6 - 15 | 3.50 | 5.25 | 93.10 |
| | | A3 | | | | 4.20 | 6.30 | 89.50 |
| | | B | | | | 5.00 | 9.00 | 86.40 |
| | | C | | | | 6.00 | 12.00 | 85.00 |
| 400 | 75 | A2 | 766 | 191 | 6 - 16 | 5.50 | 8.25 | 121.10 |
| | | A3 | | | | 6.50 | 9.75 | 117.60 |
| | | B | | | | 7.50 | 13.50 | 114.40 |
| | | C | | | | 9.00 | 18.00 | 111.50 |
| 450 | 80 | A1 | 930 | 232 | 6 - 16 | 7.50 | 11.25 | 149.50 |
| | | A2 | | | | 8.50 | 12.75 | 145.80 |
| | | A3 | | | | 10.00 | 15.00 | 143.80 |
| | | B | | | | 11.00 | 19.80 | 139.10 |
| | | C | | | | 12.50 | 25.00 | 134.90 |
| 500 | 90 | A1 | 1159 | 290 | 6 - 16 | 10.50 | 15.75 | 185.30 |
| | | A2 | | | | 12.50 | 18.75 | 181.70 |
| | | A3 | | | | 14.00 | 21.00 | 178.20 |
| | | B | | | | 15.00 | 27.00 | 174.90 |
| | | C | | | | 17.00 | 34.00 | 169.00 |
| 600 | 100 | A1 | 1571 | 393 | 6 - 16 | 17.00 | 25.50 | 252.70 |
| | | A2 | | | | 19.00 | 28.50 | 249.00 |
| | | A3 | | | | 22.00 | 33.00 | 243.20 |
| | | B | | | | 25.00 | 45.00 | 238.30 |
| | | C | | | | 29.00 | 58.00 | 229.50 |



ITS

Institut
Teknologi
Sepuluh Nopember



LAPORAN

HASIL PENYELIDIKAN TANAH

PDAM SURYA SEMBADA KOTA SURABAYA

UP. KUSWARA

PROYEK PEMBANGUNAN RESERVOIR RUMAH POMPA KREMBANGAN

LOKASI : KREMBANGAN – KOTA SURABAYA

LABORATORIUM UJI MATERIAL

PROGRAM STUDI DIPLOMA TEKNIK SIPIL

FAKULTAS TEKNIK SIPIL DAN PERENCANAAN

INSTITUT TEKNOLOGI SEPULUH NOPEMBER

Kampus ITS Mulyar, Jl. Menur 127 Surabaya 60116 Telp. : 031 5981006, Fax : 5981006

E-mail : labujimaterial.its@gmail.com

SOIL DESCRIPTION

Proyek : Pembangunan Reservoir Rumah Pompas Krembangan
 Lokasi : Krembangan - Kota surabaya
 MAT : - 1 m

BH : 1(Satu)
 TANGGAL : 12 Mei 2015

| DEPTH (m) | UNDISTURBED SAMPLE GWL (m) | BOR LOG | DESKRIPSI TANAH/BATUAN | Physical Properties | | | | | Atterberg Limit | | | Oedometer Test | | | Strength Test | | | |
|--------------|----------------------------------|---------|---------------------------------|---------------------|-------|-------|-------------|-------|-----------------|----|------|----------------|---------------|--------------|----------------------------------|--------|------------------------------------|---|
| | | | | γ_t | W_c | S_i | ϑ | G_s | LL | PL | IP | C_c | Swelling Test | Testing Type | C (kg/cm^2) | ϕ | q_u (kg/cm^2) | |
| 0 | | | Lempung Berpasir Abu-abu | 17.0 | 36.59 | 84.50 | 1.140 | 2.632 | * | * | * | * | * | * | Triaxial UU | 0.201 | 1.6 | * |
| 3.0 | | | Lempung Berpasir Abu-abu | 1.625 | 51.36 | 100 | 1.441 | 2.521 | * | * | * | * | * | * | Triaxial UU | 0.131 | 1.0 | * |
| 5.0 | | | Larau Berlempung Berpasir Hitam | 1.695 | 48.74 | 100 | 1.307 | 2.630 | * | * | * | * | * | * | Vane Shear | 0.067 | 0.0 | * |

LEGENDA :

| | | | | | |
|--|---------|--|---------|--|------|
| | Lempung | | Pasir | | Batu |
| | Larau | | Kerikil | | MAT |

REMARKS :

* = No Test γ_t = Unit weight
 NP = Non Plastic W_c = Water content
 NS = No Sample S_i = Degree of Saturation
 UU = Unconsolidated Undrained σ = Void Ratio
 DS = Direct Shear G_s = Specific Gravity
 P_L = Plastic limit
 IP = Plasticity Index
 SwP = Swelling Pressure

γ_t = Unit weight LL = Liquid limit
 W_c = Water content PL = Plastic limit
 S_i = Degree of Saturation IP = Plasticity Index
 σ = Void Ratio G_s = Specific Gravity
 P_L = Plastic limit DS = Direct Shear





Lokasi : Kremlangan - Kota surabaya
 Proyek : Pembangunan Reservoir Rumah Pompa Kremlangan

Tested : Suprayitno
 Tanggal : 12-05-2015

VOLUMETRI - GRAVIMETRI

SNI 03-1964-1990

VOLUMETRI, (γ_t)

| Depth | m | 1 | 3 | 5 |
|-----------------------------------|--------------------|--------|--------|--------|
| No. cawan | | 8 | 7 | AF |
| Berat cawan | gram | 51.6 | 54.96 | 52.23 |
| Berat cawan + tanah basah | gram | 87.4 | 79.42 | 89.37 |
| Berat tanah basah | gram | 35.8 | 24.46 | 37.14 |
| Berat cawan + Hg yang dipindahkan | gram | 395.91 | 310.88 | 404.08 |
| Berat air raksa yang dipindahkan | gram | 289.76 | 204.73 | 297.93 |
| Volume tanah basah | cm ³ | 21.31 | 15.05 | 21.91 |
| Berat volume basah | gr/cm ³ | 1.680 | 1.625 | 1.695 |

KADAR AIR, (w_c)

| | | | | |
|----------------------------|------|-------|-------|-------|
| No. cawan | | 8 | 7 | AF |
| Berat cawan | gram | 51.6 | 54.96 | 52.23 |
| Berat cawan + tanah basah | gram | 87.4 | 79.42 | 89.37 |
| Berat cawan + tanah kering | gram | 77.81 | 71.12 | 77.2 |
| Berat air | gram | 9.59 | 8.3 | 12.17 |
| Berat tanah kering | gram | 26.21 | 16.16 | 24.97 |
| Kadar air | % | 36.59 | 51.36 | 48.74 |

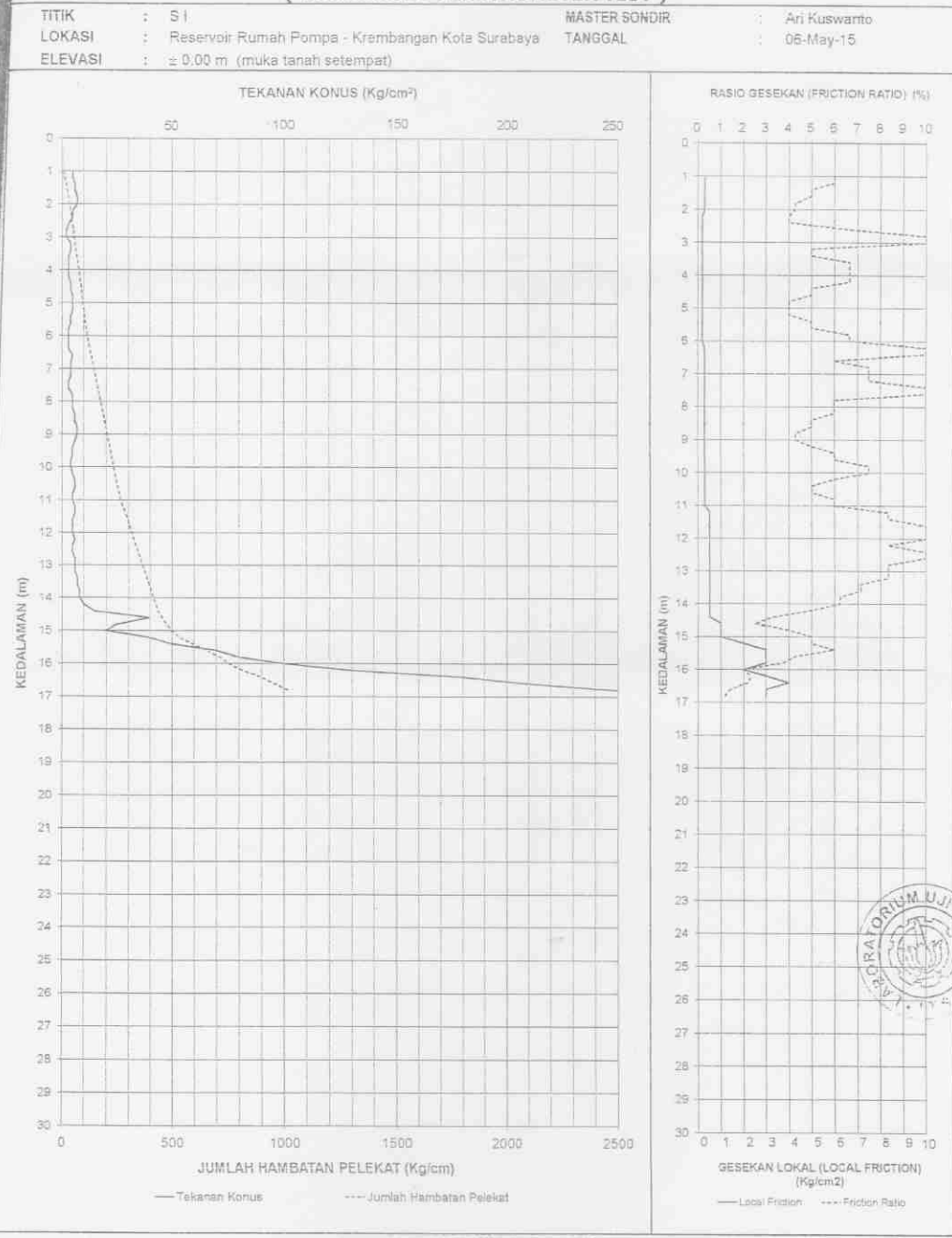
GRAVIMETRI, (G_s)

| | | | | |
|--------------------------------------|------|---------|---------|---------|
| No. piknometer | | P13 | A1 | P12 |
| Berat piknometer | gram | 87.74 | 80.28 | 89.15 |
| Berat pikn. + tanah kering | gram | 111.54 | 94.32 | 114.3 |
| Berat pikn. + tanah + air | gram | 351.18 | 337.24 | 353.31 |
| Berat pikn. + air | gram | 336.45 | 328.6 | 337.75 |
| Berat jenis air pada suhu.....°C, T1 | | 1.00374 | 1.00374 | 1.00374 |
| Berat jenis air pada suhu.....°C, T2 | | 1.00400 | 1.00400 | 1.00400 |
| G _s | | 2.632 | 2.621 | 2.630 |





GRAFIK SONDIR
(DUCTH CONE PENETROMETER TEST)





FAKULTAS TEKNIK SIPIL DAN PERENCANAAN

PROGRAM STUDI DIPLOMA TEKNIK SIPIL

LABORATORIUM UJI MATERIAL

Kampus ITS Manyar, Jl. Menur 127 Surabaya 60116

Telp.: 031-5981006, 5947637 Fax. : 031-5981006

E-mail : labujimaterial.its@gmail.com

Nama Lokasi : Reservoir Rumah Pompa - Kremlangan Kota Surabaya

Titik : S.I

Luas Konus = 10 cm²

Master Sondir : Ari Kuswanto

Luas Piston = 10 cm²

Tanggal : 06 Mei 2015

Luas Mantel (Selimut) = 100 cm²

Elevasi : ± 0.00 m (muka tanah setempat) Interval Data Sondir = 20 cm

| KEDA- LAMAN (m) | Bacaan | | Nilai Konus Kg/cm ² | Lekatan Local Kg/cm ² | HP Kg/cm | FRICTION | |
|-----------------------|-------------------------|--------------------------|--------------------------------------|--|-------------|--------------|--------------|
| | I Kg/cm ² | II Kg/cm ² | | | | JHP Kg/cm | RATIO (%) |
| 10.8 | 5 | 8 | 5 | 0.30 | 6 | 260 | 6.0 |
| 11 | 5 | 8 | 5 | 0.30 | 6 | 266 | 6.0 |
| 11.2 | 6 | 11 | 6 | 0.50 | 10 | 276 | 8.3 |
| 11.4 | 6 | 11 | 6 | 0.50 | 10 | 286 | 8.3 |
| 11.6 | 5 | 10 | 5 | 0.50 | 10 | 296 | 10.0 |
| 11.8 | 5 | 10 | 5 | 0.50 | 10 | 306 | 10.0 |
| 12 | 5 | 10 | 5 | 0.50 | 10 | 316 | 10.0 |
| 12.2 | 6 | 11 | 6 | 0.50 | 10 | 326 | 8.3 |
| 12.4 | 5 | 10 | 5 | 0.50 | 10 | 336 | 10.0 |
| 12.6 | 5 | 10 | 5 | 0.50 | 10 | 346 | 10.0 |
| 12.8 | 6 | 11 | 6 | 0.50 | 10 | 356 | 8.3 |
| 13 | 5 | 11 | 6 | 0.50 | 10 | 366 | 8.3 |
| 13.2 | 6 | 11 | 6 | 0.50 | 10 | 376 | 8.3 |
| 13.4 | 7 | 12 | 7 | 0.50 | 10 | 386 | 7.1 |
| 13.6 | 7 | 12 | 7 | 0.50 | 10 | 396 | 7.1 |
| 13.8 | 8 | 13 | 8 | 0.50 | 10 | 406 | 6.3 |
| 14 | 8 | 13 | 8 | 0.50 | 10 | 416 | 6.3 |
| 14.2 | 10 | 15 | 10 | 0.50 | 10 | 426 | 5.0 |
| 14.4 | 15 | 20 | 15 | 0.50 | 10 | 436 | 3.3 |
| 14.6 | 40 | 50 | 40 | 1.00 | 20 | 456 | 2.5 |
| 14.8 | 25 | 35 | 25 | 1.00 | 20 | 476 | 4.0 |
| 15 | 20 | 30 | 20 | 1.00 | 20 | 496 | 5.0 |
| 15.2 | 40 | 60 | 40 | 2.00 | 40 | 536 | 5.0 |
| 15.4 | 50 | 80 | 50 | 3.00 | 60 | 596 | 6.0 |
| 15.6 | 70 | 100 | 70 | 3.00 | 60 | 656 | 4.3 |
| 15.8 | 80 | 110 | 80 | 3.00 | 60 | 716 | 3.8 |
| 16 | 100 | 120 | 100 | 2.00 | 40 | 756 | 2.0 |
| 16.2 | 130 | 160 | 130 | 3.00 | 60 | 816 | 2.3 |
| 16.4 | 180 | 220 | 180 | 4.00 | 80 | 896 | 2.2 |
| 16.6 | 210 | 240 | 210 | 3.00 | 60 | 956 | 1.4 |
| 16.8 | 250 | 280 | 250 | 3.00 | 60 | 1.016 | 1.2 |



KOTA SURABAYA DALAM ANGKA

Surabaya City in Figures

2015

 **BADAN PUSAT STATISTIK**
KOTA SURABAYA
Statistics of Surabaya City

J. PENDUDUK DAN TENAGA KERJA / POPULATION AND MANPOWER¹

Tabel : 03.01.01
Luar Wilayah dan Kewajiban Penduduk
Menurut Kecamatan dan Sensus Penduduk
Area Pengaruh Tahan Terni Population Density
Sido Dicari Tahan teri Population Census
1990, 2000 dan 2010

| Kecamatan ² | Luar Wilayah | | | | |
|------------------------|---------------------|---------------------|---------------------|---------------------|-----|
| | Area Pengaruh | | 2010 | | |
| | (1) | (2) | (3) | (4) | (5) |
| Surabaya Pusat | - | - | - | - | - |
| 1. Ngaglik | 4.23 | 27.467 ³ | 21.787 ⁴ | 10.327 | |
| 02. Ganting | 4.25 | 14.287 ³ | 13.192 ⁴ | 11.375 | |
| 03. Entikong | 3.90 | 26.364 ³ | 22.768 ⁴ | 21.854 | |
| 04. Simokerto | 2.59 | 37.879 ³ | 32.759 ⁴ | 30.631 | |
| Surabaya Utara | - | - | - | - | - |
| 05. Pascan Cawulan | 6.48 | 20.937 ³ | 16.688 ⁴ | 10.222 | |
| 06. Semeru | 6.16 | 19.578 ³ | 17.651 ⁴ | 17.228 | |
| 07. Kertapati | 8.34 | 14.296 ³ | 13.260 ⁴ | 12.717 | |
| 08. Kalideres | 7.17 | 5.850 ³ | 9.144 ⁴ | 21.388 | |
| 09. Surabaya Timur | - | - | - | - | - |
| 10. Tambaksari | 8.19 | 20.937 ³ | 21.011 ⁴ | 22.445 | |
| 11. Gubeng | 19.578 ³ | 16.644 ⁴ | 15.198 ⁴ | 10.634 ³ | |
| 12. Tambang Mulyo | 5.08 | 4.010 ³ | 5.279 ⁴ | 5.111 ⁴ | |
| 13. Tambang Mulyo | 5.52 | - | 13.796 ³ | 13.003 ⁴ | |
| 14. Gunung Anyar | 9.71 | - | 5.258 ³ | 6.359 ⁴ | |
| 15. Sambutan | 23.48 | - | 4.277 ³ | 5.057 ⁴ | |
| 16. Mayangan | 14.23 | - | 6.002 ³ | 6.855 ⁴ | |
| 17. Surabaya Selatan | - | - | - | - | - |
| 18. Wates | 5.53 | 20.116 ³ | 22.239 ⁴ | 24.461 ³ | |
| 19. Wates | 8.47 | 20.842 ³ | 17.341 ⁴ | 15.444 ⁴ | |
| 20. Kertasari | 8.23 | 4.647 ³ | 7.746 ⁴ | 7.899 ⁴ | |
| 21. Wates | 9.94 | - | 7.758 ³ | 8.472 ⁴ | |
| 22. Wringinanom | 12.46 | - | 4.156 ³ | 5.402 ⁴ | |
| 23. Gresogan | 6.71 | 7.840 ³ | 12.044 ⁴ | 11.706 ⁴ | |
| 24. Jimbaran | 6.07 | - | 6.563 ³ | 7.073 ⁴ | |
| 25. Jimbaran | 4.19 | - | 5.334 ³ | 11.001 ⁴ | |
| 26. Samarinda Barat | - | - | - | - | - |
| 27. Samarinda Selatan | - | - | - | - | - |
| 28. Samarinda Timur | - | - | - | - | - |
| 29. Samarinda Utara | - | - | - | - | - |
| 30. Samarinda Barat | - | - | - | - | - |
| 31. Samarinda Selatan | - | - | - | - | - |
| 32. Samarinda Timur | - | - | - | - | - |
| 33. Samarinda Utara | - | - | - | - | - |
| 34. Samarinda Barat | - | - | - | - | - |
| 35. Samarinda Selatan | - | - | - | - | - |
| 36. Samarinda Timur | - | - | - | - | - |
| 37. Samarinda Utara | - | - | - | - | - |
| 38. Samarinda Barat | - | - | - | - | - |
| 39. Samarinda Selatan | - | - | - | - | - |
| 40. Samarinda Timur | - | - | - | - | - |
| 41. Samarinda Utara | - | - | - | - | - |
| 42. Samarinda Barat | - | - | - | - | - |
| 43. Samarinda Selatan | - | - | - | - | - |
| 44. Samarinda Timur | - | - | - | - | - |
| 45. Samarinda Utara | - | - | - | - | - |
| 46. Samarinda Barat | - | - | - | - | - |
| 47. Samarinda Selatan | - | - | - | - | - |
| 48. Samarinda Timur | - | - | - | - | - |
| 49. Samarinda Utara | - | - | - | - | - |
| 50. Samarinda Barat | - | - | - | - | - |
| 51. Samarinda Selatan | - | - | - | - | - |
| 52. Samarinda Timur | - | - | - | - | - |
| 53. Samarinda Utara | - | - | - | - | - |
| 54. Samarinda Barat | - | - | - | - | - |
| 55. Samarinda Selatan | - | - | - | - | - |
| 56. Samarinda Timur | - | - | - | - | - |
| 57. Samarinda Utara | - | - | - | - | - |
| 58. Samarinda Barat | - | - | - | - | - |
| 59. Samarinda Selatan | - | - | - | - | - |
| 60. Samarinda Timur | - | - | - | - | - |
| 61. Samarinda Utara | - | - | - | - | - |
| 62. Samarinda Barat | - | - | - | - | - |
| 63. Samarinda Selatan | - | - | - | - | - |
| 64. Samarinda Timur | - | - | - | - | - |
| 65. Samarinda Utara | - | - | - | - | - |
| 66. Samarinda Barat | - | - | - | - | - |
| 67. Samarinda Selatan | - | - | - | - | - |
| 68. Samarinda Timur | - | - | - | - | - |
| 69. Samarinda Utara | - | - | - | - | - |
| 70. Samarinda Barat | - | - | - | - | - |
| 71. Samarinda Selatan | - | - | - | - | - |
| 72. Samarinda Timur | - | - | - | - | - |
| 73. Samarinda Utara | - | - | - | - | - |
| 74. Samarinda Barat | - | - | - | - | - |
| 75. Samarinda Selatan | - | - | - | - | - |
| 76. Samarinda Timur | - | - | - | - | - |
| 77. Samarinda Utara | - | - | - | - | - |
| 78. Samarinda Barat | - | - | - | - | - |
| 79. Samarinda Selatan | - | - | - | - | - |
| 80. Samarinda Timur | - | - | - | - | - |
| 81. Samarinda Utara | - | - | - | - | - |
| 82. Samarinda Barat | - | - | - | - | - |
| 83. Samarinda Selatan | - | - | - | - | - |
| 84. Samarinda Timur | - | - | - | - | - |
| 85. Samarinda Utara | - | - | - | - | - |
| 86. Samarinda Barat | - | - | - | - | - |
| 87. Samarinda Selatan | - | - | - | - | - |
| 88. Samarinda Timur | - | - | - | - | - |
| 89. Samarinda Utara | - | - | - | - | - |
| 90. Samarinda Barat | - | - | - | - | - |
| 91. Samarinda Selatan | - | - | - | - | - |
| 92. Samarinda Timur | - | - | - | - | - |
| 93. Samarinda Utara | - | - | - | - | - |
| 94. Samarinda Barat | - | - | - | - | - |
| 95. Samarinda Selatan | - | - | - | - | - |
| 96. Samarinda Timur | - | - | - | - | - |
| 97. Samarinda Utara | - | - | - | - | - |
| 98. Samarinda Barat | - | - | - | - | - |
| 99. Samarinda Selatan | - | - | - | - | - |
| 100. Samarinda Timur | - | - | - | - | - |
| 101. Samarinda Utara | - | - | - | - | - |
| 102. Samarinda Barat | - | - | - | - | - |
| 103. Samarinda Selatan | - | - | - | - | - |
| 104. Samarinda Timur | - | - | - | - | - |
| 105. Samarinda Utara | - | - | - | - | - |
| 106. Samarinda Barat | - | - | - | - | - |
| 107. Samarinda Selatan | - | - | - | - | - |
| 108. Samarinda Timur | - | - | - | - | - |
| 109. Samarinda Utara | - | - | - | - | - |
| 110. Samarinda Barat | - | - | - | - | - |
| 111. Samarinda Selatan | - | - | - | - | - |
| 112. Samarinda Timur | - | - | - | - | - |
| 113. Samarinda Utara | - | - | - | - | - |
| 114. Samarinda Barat | - | - | - | - | - |
| 115. Samarinda Selatan | - | - | - | - | - |
| 116. Samarinda Timur | - | - | - | - | - |
| 117. Samarinda Utara | - | - | - | - | - |
| 118. Samarinda Barat | - | - | - | - | - |
| 119. Samarinda Selatan | - | - | - | - | - |
| 120. Samarinda Timur | - | - | - | - | - |
| 121. Samarinda Utara | - | - | - | - | - |
| 122. Samarinda Barat | - | - | - | - | - |
| 123. Samarinda Selatan | - | - | - | - | - |
| 124. Samarinda Timur | - | - | - | - | - |
| 125. Samarinda Utara | - | - | - | - | - |
| 126. Samarinda Barat | - | - | - | - | - |
| 127. Samarinda Selatan | - | - | - | - | - |
| 128. Samarinda Timur | - | - | - | - | - |
| 129. Samarinda Utara | - | - | - | - | - |
| 130. Samarinda Barat | - | - | - | - | - |
| 131. Samarinda Selatan | - | - | - | - | - |
| 132. Samarinda Timur | - | - | - | - | - |
| 133. Samarinda Utara | - | - | - | - | - |
| 134. Samarinda Barat | - | - | - | - | - |
| 135. Samarinda Selatan | - | - | - | - | - |
| 136. Samarinda Timur | - | - | - | - | - |
| 137. Samarinda Utara | - | - | - | - | - |
| 138. Samarinda Barat | - | - | - | - | - |
| 139. Samarinda Selatan | - | - | - | - | - |
| 140. Samarinda Timur | - | - | - | - | - |
| 141. Samarinda Utara | - | - | - | - | - |
| 142. Samarinda Barat | - | - | - | - | - |
| 143. Samarinda Selatan | - | - | - | - | - |
| 144. Samarinda Timur | - | - | - | - | - |
| 145. Samarinda Utara | - | - | - | - | - |
| 146. Samarinda Barat | - | - | - | - | - |
| 147. Samarinda Selatan | - | - | - | - | - |
| 148. Samarinda Timur | - | - | - | - | - |
| 149. Samarinda Utara | - | - | - | - | - |
| 150. Samarinda Barat | - | - | - | - | - |
| 151. Samarinda Selatan | - | - | - | - | - |
| 152. Samarinda Timur | - | - | - | - | - |
| 153. Samarinda Utara | - | - | - | - | - |
| 154. Samarinda Barat | - | - | - | - | - |
| 155. Samarinda Selatan | - | - | - | - | - |
| 156. Samarinda Timur | - | - | - | - | - |
| 157. Samarinda Utara | - | - | - | - | - |
| 158. Samarinda Barat | - | - | - | - | - |
| 159. Samarinda Selatan | - | - | - | - | - |
| 160. Samarinda Timur | - | - | - | - | - |
| 161. Samarinda Utara | - | - | - | - | - |
| 162. Samarinda Barat | - | - | - | - | - |
| 163. Samarinda Selatan | - | - | - | - | - |
| 164. Samarinda Timur | - | - | - | - | - |
| 165. Samarinda Utara | - | - | - | - | - |
| 166. Samarinda Barat | - | - | - | - | - |
| 167. Samarinda Selatan | - | - | - | - | - |
| 168. Samarinda Timur | - | - | - | - | - |
| 169. Samarinda Utara | - | - | - | - | - |
| 170. Samarinda Barat | - | - | - | - | - |
| 171. Samarinda Selatan | - | - | - | - | - |
| 172. Samarinda Timur | - | - | - | - | - |
| 173. Samarinda Utara | - | - | - | - | - |
| 174. Samarinda Barat | - | - | - | - | - |
| 175. Samarinda Selatan | - | - | - | - | - |
| 176. Samarinda Timur | - | - | - | - | - |
| 177. Samarinda Utara | - | - | - | - | - |
| 178. Samarinda Barat | - | - | - | - | - |
| 179. Samarinda Selatan | - | - | - | - | - |
| 180. Samarinda Timur | - | - | - | - | - |
| 181. Samarinda Utara | - | - | - | - | - |
| 182. Samarinda Barat | - | - | - | - | - |
| 183. Samarinda Selatan | - | - | - | - | - |
| 184. Samarinda Timur | - | - | - | - | - |
| 185. Samarinda Utara | - | - | - | - | - |
| 186. Samarinda Barat | - | - | - | - | - |
| 187. Samarinda Selatan | - | - | - | - | - |
| 188. Samarinda Timur | - | - | - | - | - |
| 189. Samarinda Utara | - | - | - | - | - |
| 190. Samarinda Barat | - | - | - | - | - |
| 191. Samarinda Selatan | - | - | - | - | - |
| 192. Samarinda Timur | - | - | - | - | - |
| 193. Samarinda Utara | - | - | - | - | - |
| 194. Samarinda Barat | - | - | - | - | - |
| 195. Samarinda Selatan | - | - | - | - | - |
| 196. Samarinda Timur | - | - | - | - | - |
| 197. Samarinda Utara | - | - | - | - | - |
| 198. Samarinda Barat | - | - | - | - | - |
| 199. Samarinda Selatan | - | - | - | - | - |
| 200. Samarinda Timur | - | - | - | - | - |
| 201. Samarinda Utara | - | - | - | - | - |
| 202. Samarinda Barat | - | - | - | - | - |
| 203. Samarinda Selatan | - | - | - | - | - |
| 204. Samarinda Timur | - | - | - | - | - |
| 205. Samarinda Utara | - | - | - | - | - |
| 206. Samarinda Barat | - | - | - | - | - |
| 207. Samarinda Selatan | - | - | - | - | - |
| 208. Samarinda Timur | - | - | - | - | - |
| 209. Samarinda Utara | - | - | - | - | - |
| 210. Samarinda Barat | - | - | - | - | - |
| 211. Samarinda Selatan | - | - | - | - | - |
| 212. Samarinda Timur | - | - | - | - | - |
| 213. Samarinda Utara | - | - | - | - | - |
| 214. Samarinda Barat | - | - | - | - | - |
| 215. Samarinda Selatan | - | - | - | - | - |
| 216. Samarinda Timur | - | - | - | - | - |
| 217. Samarinda Utara | - | - | - | - | - |
| 218. Samarinda Barat | - | - | - | - | - |
| 219. Samarinda Selatan | - | - | - | - | - |
| 220. Samarinda Timur | - | - | - | - | - |
| 221. Samarinda Utara | - | - | - | - | - |
| 222. Samarinda Barat | - | - | - | - | - |
| 223. Samarinda Selatan | - | - | - | - | - |
| 224. Samarinda Timur | - | - | - | - | - |
| 225. Samarinda Utara | - | - | - | - | - |
| 226. Samarinda Barat | - | - | - | - | - |
| 227. Samarinda Selatan | - | - | - | - | - |
| 228. Samarinda Timur | - | - | - | - | - |
| 229. Samarinda Utara | - | - | - | - | - |
| 230. Samarinda Barat | - | - | - | - | - |
| 231. Samarinda Selatan | - | - | - | - | - |
| 232. Samarinda Timur | - | - | - | - | - |
| 233. Samarinda Utara | - | - | - | - | - |
| 234. Samarinda Barat | - | - | - | - | - |
| 235. Samarinda Selatan | - | - | - | - | - |
| 236. Samarinda Timur | - | - | - | - | - |
| 237. Samarinda Utara | - | - | - | - | - |
| 238. Samarinda Barat | - | - | - | - | - |
| 239. Samarinda Selatan | - | - | - | - | - |
| 240. Samarinda Timur | - | - | - | - | - |
| 241. Samarinda Utara | - | - | - | - | - |
| 242. Samarinda Barat | - | - | - | - | - |
| 243. Samarinda Selatan | - | - | - | - | - |
| 244. Samarinda Timur | - | - | - | - | - |
| 245. Samarinda Utara | - | - | - | - | - |
| 246. Samarinda Barat | - | - | - | - | - |
| 247. Samarinda Selatan | - | - | - | - | - |
| 248. Samarinda Timur | - | - | - | - | - |
| 249. Samarinda Utara | - | - | - | - | - |
| 250. Samarinda Barat | - | - | - | - | - |
| 251. Samarinda Selatan | - | - | - | - | - |
| 252. Samarinda Timur | - | - | - | - | - |
| 253. Samarinda Utara | - | - | - | - | - |
| 254. Samarinda Barat | - | - | - | - | - |
| 255. Samarinda Selatan | - | - | - | - | - |
| 256. Samarinda Timur | - | - | - | - | - |
| 257. Samarinda Utara | - | - | - | - | - |
| 258. Samarinda Barat | - | - | - | - | - |
| 259. Samarinda Selatan | - | - | - | - | - |
| 260. Samarinda Timur | - | - | - | - | - |
| 261. Samarinda Utara | - | - | - | - | - |
| 262. Samarinda Barat | - | - | - | - | |

3. PERDUNIAK DAN TENAGA KERJA / POPULATION AND MANPOWER

Tabel : 03-01-05
Perkembang Percabutan Penduduk Per Kecamatan
Tahun 1990, 2000 dan 2010
Population Growth by Sub-District
Taken from Population Census 1990, 2000 and 2010

| Kecamatan/ Sub District | Penambahan Penduduk (n) 1990 | % Perkembang Penduduk (%) | | | | |
|----------------------------|------------------------------------|------------------------------|-------|-----------|-------|-----------|
| | | 2000 | | 1990-1990 | | 2000-2010 |
| | | (3) | (4) | (5) | (6) | |
| Surabaya Pusat | 171.037 | 93.465 | -0,94 | -2,29 | -0,76 | |
| 01. Tegalsari | 73.276 | 54.305 | -1,02 | -2,13 | -1,17 | |
| 02. Guntung | 100.314 | 87.893 | -1,17 | -2,18 | -0,93 | |
| 03. Bubutan | 98.407 | 84.200 | -1,26 | -1,15 | 0,94 | 2011 |
| 04. Sumberasih | 40.140 | 37.893 | -1,17 | -3,18 | -0,82 | 2012 |
| 05. Sukajadi Barat | 46.176 | 37.245 | -2,29 | -1,03 | -0,44 | |
| 06. Pakuan Tawulan | 40.140 | 34.406 | -0,21 | -0,28 | -0,28 | 2013 |
| 07. Samarang | 110.225 | 104.406 | -0,53 | -0,73 | -0,73 | |
| 08. Kremmangan | 84.364 | 71.539 | -1,15 | -1,21 | -0,71 | |
| 09. Buntul ^{a)} | — | — | — | — | — | |
| 10. Samarang Timur | 448.225 | 406.866 | -1,41 | -0,94 | -0,96 | 2014 |
| 11. Tambakbari | 112.070 | 102.865 | -0,29 | -1,01 | -0,80 | |
| 12. Rungkut | 172.063 | 111.286 | -1,14 | -3,28 | -0,53 | 2015 |
| 13. Tenggarong Mulyo | — | 76.154 | — | — | — | |
| 14. Glagah Arjuna | — | 51.195 | — | — | — | |
| 15. Samarang Selatan | 146.110 | 100.148 | -0,57 | -2,21 | -1,43 | 2016 |
| 16. Matraman | 95.292 | — | — | — | — | |
| Surabaya Selatan | 208.409 | 188.706 | -0,15 | -1 | -0,32 | 2017 |
| 17. Samarang | 111.127 | 106.075 | -0,42 | -1,43 | -0,93 | |
| 18. Wringinwungu | 100.246 | 111.916 | 1,14 | 2,57 | 0,86 | |
| 19. Krian | 51.246 | 51.246 | — | — | — | |
| 20. Duren Tiga | — | 51.246 | — | — | — | |
| 21. Wayang | — | 51.246 | — | — | — | |
| 22. Wringin | 140.614 | 91.060 | -5,07 | -1,95 | -0,38 | 2018 |
| 23. Glagah | 91.060 | 91.060 | — | — | — | |
| 24. Jatimimpian | — | 39.829 | — | — | — | |
| Surabaya Barat | — | 39.829 | — | — | — | |
| 25. Tambaksari | 196.119 | 93.450 | -7,63 | -1,05 | -0,84 | 2019 |
| 26. Samarangtiga | — | 107.314 | — | — | — | |
| 27. Samarangtiga | — | 26.029 | — | — | — | |
| 28. Batu | 35.016 | 67.014 | 4,51 | 6,42 | 4,61 | |
| 29. Batu ^{b)} | — | — | — | — | — | |
| 30. Lamongan | 57.094 | 70.334 | 6,11 | 3,21 | 3,64 | |
| 31. Samarang ^{c)} | — | — | — | — | — | |
| Jumlah/Tatal | 2.472.727 | 2.509.798 | 2,06 | 0,5 | 0,01 | |

Sumber : Badan Pusat Statistik (BPS) Surabaya
Sumber : BPS, Statistics of Surabaya
Keterangan : a) Kecamatan Pakuan masih tergantung dengan Indraea
b) Augmented sub district all contained with main sub district

4. PERDUNIAK DAN TENAGA KERJA / POPULATION AND MANPOWER

Tabel : 03-01-06
Perkembang Penduduk Berdasarkan Hasil SP 2010
Population Growth Based on Population Census of 2010
2011-2010 (Basis tahun jauh)

| Tahun | Jumlah Penduduk (n) | Rasio penduduk | | Jumlah Penduduk (n) |
|-------|---------------------------|----------------|-----------|---------------------------|
| | | Laki-laki | Perempuan | |
| 2011 | 1.395.2 | 1.425.0 | 2.815.2 | |
| 2012 | 1.397.8 | 1.427.2 | 2.800.0 | |
| 2013 | 1.417.7 | 1.452.5 | 2.844.6 | |
| 2014 | 1.439.3 | 1.466.0 | 2.870.2 | |
| 2015 | 1.459.3 | 1.495.3 | 2.903.6 | |
| 2016 | 1.482.9 | 1.510.5 | 2.939.1 | |
| 2017 | 1.511.3 | 1.540.3 | 2.968.6 | |
| 2018 | 1.543.3 | 1.571.1 | 2.998.3 | |
| 2019 | 1.574.9 | 1.605.6 | 3.029.1 | |

Sumber : Badan Pusat Statistik (BPS) Surabaya
Source : BPS, Statistics of Surabaya

3. PEMERIKSA DAN TENAGA KERJA / POPULATION AND MANPOWER

Tabel 03.01.03
Tahun : 01/01/16

Bangsa dan Penduduk Masa Kini Kelamin
Per Necamatan dan Rumah Tinggal
Population by Sex and Sub-District
Present from Registration Register

2014

| Kecamatan Sub-District | Laki-Laki Male | Perempuan Female | Jumlah Total | Penduduk Population | | |
|---------------------------|-------------------|---------------------|-----------------|------------------------|---------|---------|
| | | | | (1) | (2) | (3) |
| Surabaya Pusat | 50.843 | 59.675 | 109.518 | 109.518 | 109.518 | 109.518 |
| 01 Tegalrejo | 29.387 | 29.896 | 59.283 | 59.283 | 59.283 | 59.283 |
| 02 Gubeng | 59.969 | 59.963 | 119.932 | 119.932 | 119.932 | 119.932 |
| 03 Sukolilo | 48.095 | 48.806 | 96.901 | 96.901 | 96.901 | 96.901 |
| 04 Sumber Ulo | 41.419 | 40.954 | 82.373 | 82.373 | 82.373 | 82.373 |
| 05 Pitisan Cawulan | 90.141 | 92.537 | 182.678 | 182.678 | 182.678 | 182.678 |
| 06 Krajan | 58.136 | 57.582 | 115.718 | 115.718 | 115.718 | 115.718 |
| 07 Karangreja | 74.577 | 72.180 | 146.757 | 146.757 | 146.757 | 146.757 |
| 08 Bulak | 20.446 | 20.186 | 40.632 | 40.632 | 40.632 | 40.632 |
| 09 Tambaksari | 101.625 | 100.475 | 202.000 | 202.000 | 202.000 | 202.000 |
| 10 Gubeng | 67.453 | 69.276 | 136.729 | 136.729 | 136.729 | 136.729 |
| 11 Rejowilis | 52.130 | 51.026 | 103.156 | 103.156 | 103.156 | 103.156 |
| 12 Tambaksari | 23.386 | 27.275 | 50.661 | 50.661 | 50.661 | 50.661 |
| 13 Tambaksari | 26.188 | 28.932 | 55.120 | 55.120 | 55.120 | 55.120 |
| 14 Gubeng Kedoya | 52.480 | 52.480 | 104.960 | 104.960 | 104.960 | 104.960 |
| 15 Sambutan | 41.176 | 37.585 | 82.761 | 82.761 | 82.761 | 82.761 |
| 16 Tambaksari | 106.476 | 101.295 | 207.771 | 207.771 | 207.771 | 207.771 |
| 17 Tambaksari | 79.629 | 79.964 | 159.593 | 159.593 | 159.593 | 159.593 |
| 18 Wonokromo | 36.932 | 34.952 | 70.884 | 70.884 | 70.884 | 70.884 |
| 19 Karangkalong | 36.932 | 34.952 | 71.884 | 71.884 | 71.884 | 71.884 |
| 20 Dukuh Pakis | 29.285 | 28.489 | 57.774 | 57.774 | 57.774 | 57.774 |
| 21 Wringinanom | 33.220 | 30.562 | 63.782 | 63.782 | 63.782 | 63.782 |
| 22 Wonocolo | 39.269 | 39.038 | 78.307 | 78.307 | 78.307 | 78.307 |
| 23 Giriwangi | 22.164 | 21.986 | 44.150 | 44.150 | 44.150 | 44.150 |
| 24 Jantungpulo | 23.956 | 23.547 | 47.503 | 47.503 | 47.503 | 47.503 |
| 25 Tambaksari | 44.757 | 44.713 | 89.470 | 89.470 | 89.470 | 89.470 |
| 26 Tambaksari | 48.687 | 48.842 | 97.530 | 97.530 | 97.530 | 97.530 |
| 27 Asriantoro | 22.084 | 20.905 | 42.989 | 42.989 | 42.989 | 42.989 |
| 28 Perwira | 28.153 | 27.020 | 55.724 | 55.724 | 55.724 | 55.724 |
| 29 Lamongan | 27.430 | 23.472 | 50.882 | 50.882 | 50.882 | 50.882 |
| 30 Pagedangan | 24.716 | 23.766 | 48.484 | 48.484 | 48.484 | 48.484 |
| 31 - Simokerto | 29.527 | 28.044 | 58.571 | 58.571 | 58.571 | 58.571 |
| Jumlah/Total | 1.418.985 | 1.422.678 | 2.851.663 | | | |

Sumber : Data Penduduk Pendukung dan Pencairan Sipil Kota Surabaya
Tipe : Rapor of Informasi dan Pengelolaan Sipil dan Penduduk (RISIP)

2. PEMERIKSA DAN TENAGA KERJA / POPULATION AND MANPOWER

Tabel 03.01.16
Tahun : 01/01/16

Bangsa dan Penduduk menurut Jenis Kelamin
Per Necamatan dan Rumah Tinggal
Population by Sex and Sub-District
Present from Registration Register

2014

| Kecamatan Sub-District | Laki-Laki Male | Perempuan Female | Jumlah Total | Penduduk Population | | |
|---------------------------|-------------------|---------------------|-----------------|------------------------|---------|---------|
| | | | | (1) | (2) | (3) |
| Surabaya Pusat | 59.675 | 59.283 | 119.958 | 119.958 | 119.958 | 119.958 |
| 01 Tegalrejo | 29.896 | 29.387 | 59.283 | 59.283 | 59.283 | 59.283 |
| 02 Gubeng | 59.963 | 59.969 | 119.932 | 119.932 | 119.932 | 119.932 |
| 03 Sukolilo | 48.806 | 48.095 | 96.901 | 96.901 | 96.901 | 96.901 |
| 04 Sumber Ulo | 40.954 | 41.419 | 82.373 | 82.373 | 82.373 | 82.373 |
| 05 Pitisan Cawulan | 92.537 | 90.141 | 182.678 | 182.678 | 182.678 | 182.678 |
| 06 Krajan | 57.582 | 58.136 | 115.718 | 115.718 | 115.718 | 115.718 |
| 07 Karangreja | 72.180 | 74.577 | 146.757 | 146.757 | 146.757 | 146.757 |
| 08 Bulak | 20.186 | 20.446 | 40.632 | 40.632 | 40.632 | 40.632 |
| 09 Tambaksari | 100.475 | 101.625 | 202.000 | 202.000 | 202.000 | 202.000 |
| 10 Gubeng | 69.276 | 67.453 | 136.729 | 136.729 | 136.729 | 136.729 |
| 11 Rejowilis | 51.026 | 52.130 | 103.156 | 103.156 | 103.156 | 103.156 |
| 12 Tambaksari | 27.275 | 23.386 | 50.661 | 50.661 | 50.661 | 50.661 |
| 13 Tambaksari | 28.932 | 26.188 | 55.120 | 55.120 | 55.120 | 55.120 |
| 14 Gubeng Kedoya | 52.480 | 52.480 | 104.960 | 104.960 | 104.960 | 104.960 |
| 15 Sambutan | 37.585 | 41.176 | 78.761 | 78.761 | 78.761 | 78.761 |
| 16 Tambaksari | 101.295 | 106.476 | 207.771 | 207.771 | 207.771 | 207.771 |
| 17 Tambaksari | 79.964 | 79.629 | 159.593 | 159.593 | 159.593 | 159.593 |
| 18 Wonokromo | 34.952 | 36.932 | 71.884 | 71.884 | 71.884 | 71.884 |
| 19 Karangkalong | 34.952 | 36.932 | 71.884 | 71.884 | 71.884 | 71.884 |
| 20 Dukuh Pakis | 28.489 | 29.285 | 57.774 | 57.774 | 57.774 | 57.774 |
| 21 Wringinanom | 30.562 | 33.220 | 63.782 | 63.782 | 63.782 | 63.782 |
| 22 Wonocolo | 39.038 | 39.269 | 78.307 | 78.307 | 78.307 | 78.307 |
| 23 Giriwangi | 21.986 | 22.164 | 44.150 | 44.150 | 44.150 | 44.150 |
| 24 Jantungpulo | 23.547 | 23.956 | 47.503 | 47.503 | 47.503 | 47.503 |
| 25 Tambaksari | 44.713 | 44.757 | 89.470 | 89.470 | 89.470 | 89.470 |
| 26 Tambaksari | 48.842 | 48.687 | 97.530 | 97.530 | 97.530 | 97.530 |
| 27 Asriantoro | 20.905 | 22.084 | 42.989 | 42.989 | 42.989 | 42.989 |
| 28 Perwira | 23.766 | 24.716 | 48.484 | 48.484 | 48.484 | 48.484 |
| 29 Lamongan | 23.472 | 24.716 | 48.188 | 48.188 | 48.188 | 48.188 |
| 30 Pagedangan | 28.044 | 29.527 | 58.571 | 58.571 | 58.571 | 58.571 |

Sumber: Data Penduduk Pendukung dan Pencairan Sipil Kota Surabaya
Tipe : Rapor of Information and Civil Registration Service of Surabaya City

6. INDUSTRI/INDUSTRY

Tabel 6.6.01.09
Banyaknya Industri Besar dan Sedang menurut
Golongan Industri per Kecamatan
Number of Large and Medium Scale Industries
by Industrial Categories by Sub-District
2014

| Kecamatan Sub-District | Jenis Industri/Jype of Industries | | | | | | | | | |
|---------------------------|-----------------------------------|-----|-----|-----|-----|-----|-----|-----|------|------|
| | 10 | 11 | 12 | 13 | 14 | 15 | 16 | 17 | 18 | 19 |
| (1) | (2) | (3) | (4) | (5) | (6) | (7) | (8) | (9) | (10) | (11) |
| Surabaya Pusat | 4 | — | — | — | — | 2 | — | — | 18 | 19 |
| 1. Tepisan | — | 3 | — | — | — | — | — | — | — | 20 |
| 2. Samarinda | — | 3 | — | — | — | — | — | — | — | 21 |
| 3. Dukuh | — | 3 | — | — | — | — | — | — | — | 22 |
| 4. Sambutan | 5 | — | 4 | 1 | 3 | — | 3 | — | 23 | 24 |
| 5. Gunung Putri | — | — | — | — | — | — | — | — | — | 25 |
| 6. Pamonan Cimarin | 0 | — | — | — | — | — | — | — | — | — |
| 7. Samarinda | 5 | — | 3 | — | — | — | — | — | — | — |
| 8. Wates | 6 | — | 3 | — | — | — | — | — | — | — |
| 9. Kedawean | — | 18 | — | 2 | — | 1 | 2 | — | — | — |
| 10. Blimbing | — | 3 | — | — | — | — | — | — | — | — |
| 11. Surabaya Timur | — | — | — | — | — | — | — | — | — | — |
| 12. Gunung | 3 | — | 4 | — | — | 15 | 7 | 2 | — | — |
| 13. Pringغان | 2 | — | 3 | — | — | — | — | — | — | — |
| 14. Gunung Kidul | — | 17 | — | 12 | — | 3 | 3 | — | — | — |
| 15. Sambutan | 3 | — | — | — | — | — | — | — | — | — |
| 16. Mulyorejo | — | — | — | — | — | — | — | — | — | — |
| 17. Samarinda Selatan | — | — | — | — | — | — | — | — | — | — |
| 18. Samarinda Barat | — | — | — | — | — | — | — | — | — | — |
| 19. Kedungwaringin | — | — | — | — | — | — | — | — | — | — |
| 20. Kedung Panjang | — | — | — | — | — | — | — | — | — | — |
| 21. Pakuan Pakis | — | — | — | — | — | — | — | — | — | — |
| 22. Wontolo | — | — | — | — | — | — | — | — | — | — |
| 23. Emanjungan | — | — | — | — | — | — | — | — | — | — |
| 24. Jambangan | — | — | — | — | — | — | — | — | — | — |
| 25. Sumberayu Barat | — | — | — | — | — | — | — | — | — | — |
| 26. Sumberayu | 9 | — | 4 | 3 | — | 19 | 1 | — | — | — |
| 27. Sumberayu | 6 | — | — | — | — | 6 | 3 | — | — | — |
| 28. Adenrong | 14 | — | — | 3 | — | 23 | 4 | — | — | — |
| 29. Barito | — | — | — | — | — | — | — | — | — | — |
| 30. Pakal | — | — | — | — | — | — | — | — | — | — |
| 31. Lakarsono | — | — | — | 2 | 1 | 3 | — | — | — | — |
| 32. Sambutan | — | — | — | 1 | — | — | — | — | — | — |
| Jumlah/Roll | 165 | 3 | 8 | 23 | 45 | 40 | 62 | 24 | — | — |
| Ambon/Total | — | — | — | — | — | — | — | — | 44 | 44 |
| | | | | | | | | | 4 | 4 |
| | | | | | | | | | 40 | 40 |
| | | | | | | | | | 11 | 11 |
| | | | | | | | | | 106 | 106 |
| | | | | | | | | | 21 | 21 |
| | | | | | | | | | 14 | 14 |
| | | | | | | | | | 52 | 52 |

Sumber: Badan Pusat Statistik Kota Surabaya

Soucre: BPS - Statistical Office Surabaya

Tabel 6.6.01.09

Lanjutkan
Continued

6. INDUSTRI/INDUSTRY

| Kecamatan Sub-District | Jenis Industri/Jype of Industries | | | | | | | | | |
|---------------------------|-----------------------------------|-----|-----|-----|-----|-----|-----|-----|------|------|
| | 18 | 19 | 20 | 21 | 22 | 23 | 24 | 25 | 26 | 27 |
| (1) | (2) | (3) | (4) | (5) | (6) | (7) | (8) | (9) | (10) | (11) |
| Sambutan | — | — | — | — | — | — | — | — | — | — |
| Surabaya Utara | — | — | — | — | — | — | — | — | — | — |
| Patutan Caleutan | — | — | — | — | — | — | — | — | — | — |
| Tejawati | — | — | — | — | — | — | — | — | — | — |
| Gedong | — | — | — | — | — | — | — | — | — | — |
| Blimbing | — | — | — | — | — | — | — | — | — | — |
| Suroto | — | — | — | — | — | — | — | — | — | — |
| Surabaya Selatan | — | — | — | — | — | — | — | — | — | — |
| Tambakali | — | — | — | — | — | — | — | — | — | — |
| Gubeng | — | — | — | — | — | — | — | — | — | — |
| Rungat | — | — | — | — | — | — | — | — | — | — |
| Tenggilis Mendo | — | — | — | — | — | — | — | — | — | — |
| Graing Ayeji | — | — | — | — | — | — | — | — | — | — |
| Sutih | — | — | — | — | — | — | — | — | — | — |
| Mulyorejo | — | — | — | — | — | — | — | — | — | — |
| Sambutan | — | — | — | — | — | — | — | — | — | — |
| Sawahan | — | — | — | — | — | — | — | — | — | — |
| Wetan Ombo | — | — | — | — | — | — | — | — | — | — |
| Karangpiling | — | — | — | — | — | — | — | — | — | — |
| Dauh Pakis | — | — | — | — | — | — | — | — | — | — |
| Wonogiri | — | — | — | — | — | — | — | — | — | — |
| Wonoco | — | — | — | — | — | — | — | — | — | — |
| Grajagan | — | — | — | — | — | — | — | — | — | — |
| Jambirejo | — | — | — | — | — | — | — | — | — | — |
| Surabaya Barat | — | — | — | — | — | — | — | — | — | — |
| Jambirejo Barat | — | — | — | — | — | — | — | — | — | — |
| Tindes | — | — | — | — | — | — | — | — | — | — |
| Sukomakmur | — | — | — | — | — | — | — | — | — | — |
| Berong | — | — | — | — | — | — | — | — | — | — |
| Pulai | — | — | — | — | — | — | — | — | — | — |
| Simbokere | — | — | — | — | — | — | — | — | — | — |
| Ambon/Total | 44 | 4 | 40 | 11 | 106 | 21 | 14 | 52 | — | — |

Tabel : 06.01.02

Jumlah
Kecamatan

Jumlah
Distrik

Banyaknya Industri Sedang menurut
Golongan Industri per Kecamatan

2014

| Kecamatan | Jenis Industri/Type of Industries | | | | | | | |
|----------------------|-----------------------------------|----------|----------|----------|----------|----------|----------|-----|
| | 10 | 11 | 12 | 13 | 14 | 15 | 16 | 17 |
| Sub-District | (1) | (2) | (3) | (4) | (5) | (6) | (7) | (8) |
| Surabaya Pusat | 26 | 27 | 28 | 29 | 30 | 31 | 32 | 33 |
| 1. Tegalsari | | | | | | | | |
| 2. Groming | | | | | | | | |
| 3. Bulakan | | | | | | | | |
| 4. Sambutan | | | | | | | | |
| 5. Surabaya Barat | | | | | | | | |
| 6. Laweyan Cimuncul | | | | | | | | |
| 7. Sambutan | | | | | | | | |
| 8. Kalijodo | | | | | | | | |
| 9. Dukuh Atas | | | | | | | | |
| 10. Surabaya Timur | | | | | | | | |
| 11. Jumputan | | | | | | | | |
| 12. Tambaksari | | | | | | | | |
| 13. Tambaksari | | | | | | | | |
| 14. Gading Agung | | | | | | | | |
| 15. Sokabd | | | | | | | | |
| 16. Muara | | | | | | | | |
| 17. Sambutan Selatan | | | | | | | | |
| 18. Wringinharjo | | | | | | | | |
| 19. Pakuan Pait | | | | | | | | |
| 20. Wayang | | | | | | | | |
| 21. Wonocolo | | | | | | | | |
| 22. Gajayana | | | | | | | | |
| 23. Jambangan | | | | | | | | |
| 24. Surabaya Barat | | | | | | | | |
| 25. Jatimuncul | | | | | | | | |
| 26. Sambutan | | | | | | | | |
| 27. Asriwijayan | | | | | | | | |
| 28. Buntok | | | | | | | | |
| 29. Petrus | | | | | | | | |
| 30. Lekaruman | | | | | | | | |
| 31. Saminsewu | | | | | | | | |
| Jumlah/Total | 6 | 7 | 3 | 6 | 7 | 5 | 4 | |
| Jumlah/Kel | | | | | | | | |
| Surabaya Pusat | 112 | 1 | 2 | 24 | 39 | 28 | 52 | 19 |

Sumber : Badan Pusat Statistik Kota Surabaya

SOURCE : BPS - Statistic of Surabaya

Kode : BPS - Statistic of Surabaya



PROGRAM STUDI S1 LINTAS JALUR JURUSAN TEKNIK SIPIL FTSP - ITS
LEMBAR KEGIATAN ASISTENSI TUGAS AKHIR (WAJIB DIISI)

Jurusan Teknik Sipil Lt.1, Kampus ITS Sukolilo, Surabaya 601111

Telp.031-5996879, Fax.031-5947284



Form TA-04
rev01

| | |
|-------------------|---|
| NAMA PEMBIMBING | : ENDAH WAHYUNI, ST, MSc, PhD |
| NAMA MAHASISWA | : GANDARJATI NUR P |
| NRP | : 3114105029 |
| JUDUL TUGAS AKHIR | : PERENCANAAN KAPASITAS POMPA DAN PONDASI BEBAN DINAMIS PADA PUMAAT POMPA KEREMBANGAN UNTUK PROYEKSI KEBUTUHAN AIR TAHUN 2030 |
| TANGGAL PROPOSAL | : 02 Februari 2016 |
| NO. SP-MMTA | : 014831 / IT 2.3.1.1 / PP. 05.02.00 / 2016 |

| NO | TANGGAL | KEGIATAN | | PARAF ASISTEN |
|----|---------------|--|---|---------------|
| | | REALISASI | RENCANA MINGGU DEPAN | |
| 1. | 20/2016 /4 | Beban dinamis diambil dari 3x beban statis pompa | - Perencanaan dimensi pondasi | CS |
| 2. | 27/2016 /4 | - Pertukangan daya dukung | - Bandingkan daya dukung pondasi dengan daya dukung tanah, ambil yang terkecil w/ perencanaan | CS |
| 3. | 2/2016 /5 | - Analisa dinamis pondasi | - Cek analisa dinamis pondasi | CS |
| 4. | 9/2016 /6 | Pertukangan pondasi dengan jumlah 27 buah | - Kurangi penggunaan jumlah pondasi sesuai kebutuhan saja | CS |
| 5. | 13/2016 /5 | Pertukangan penyaliran poer | - cek ulang pertukangan poer dengan analisa mekanika 'kelayos' pada poer | CS |
| 6. | 16/2016 /6 | Pertukangan penulangan poer | - Cek gresir pondas pada pondasi | CS |
| 7. | 20/2016 /5 | Pertukangan geser pondas | - cek pertukangan lajip - submit draft TA | CS |
| 8. | 26/2016 /5 | Draft TA | - bisa buat naskah TA (lajip) | CS |



PROGRAM STUDI S1 LINTAS JALUR JURUSAN TEKNIK SIPIL FTSP - ITS

LEMBAR KEGIATAN ASISTENSI TUGAS AKHIR (WAJIB DIISI)

Jurusan Teknik Sipil lt.1, Kampus ITS Sukolilo, Surabaya 601111

Telp.031-5996879, Fax.031-5947284

Form TA-04
rev01

| | |
|-------------------|--|
| NAMA PEMBIMBING | : DR. IR. WASIS WARDYO, M.Sc. |
| NAMA MAHASISWA | : GANDHIJATI NUR P |
| NRP | : 3114105029 |
| JUDUL TUGAS AKHIR | : PERENCANAAN KAPASITAS POMPA DAN PONDASI BEGAN DINAMIS PADA PUSAKA POMPA KREMBANGAN UNTUK PROYEKSI KEBUTUHAN AIR TAHUN 2030 |
| TANGGAL PROPOSAL | : 02 Februari 2016 |
| NO SP-MMTA | : 0141831 / LT2. 3.1.1 / PP. 05. 02.00 / 2016 |

| NO | TANGGAL | KEGIATAN | | PARAF ASISTEN |
|----|-----------|---|--|---------------|
| | | REALISASI | RENCANA MINGGU DEPAN | |
| 1. | 15/2/2016 | Prediksi jumlah penduduk berbagai metode | - Perencanaan prediksi jumlah penduduk, daerah yang fedikasi dan berbagai metode | jr - |
| 2. | 21/2/2016 | Perhitungan kebutuhan air (inflow) | - Cari data fluktiasi pemakaian air daerah yang dilayani rumah pompa. | jr - |
| 3. | 10/3/2016 | Perhitungan inflow & outflow | - Cari perhitungan kebutuhan air (inflow) & jumlah outflow. | jr - |
| 4. | 15/3/2016 | Fluktiasi pemakaian air domestik & Non-domestik | - Buat grafik fluktiasi pemakaian (kurva) | jr - |
| 5. | 23/3/2016 | - perencana wilayah & pendekat teknologi 95 % 2030 - Volume terbesar kurva | - Lakuk kurva untuk menghitung volume tangungan reservair | jr - |
| 6. | 30/3/2016 | Kurva dengan akumasi inflow dan outflow yang ada | - Buat perhitungan Volume reseran dengan cara kumulatif | jr - |
| 7. | 4/4/2016 | - Perhitungan penggunaan pompa sesuai kebutuhan | - Perancangan pompa dengan membalik minimal 1 pompa sebagai cadangan | jr - |
| 8. | 6/4/2016 | - OKE - Rencana pompa (5+) - Asisten pompa yg pompa | - Buat skematis dapat upaya | jr |

BAB VI

KESIMPULAN DAN SARAN

6.1. Kesimpulan

Berdasarkan hasil analisis yang telah dilakukan didapatkan kesimpulan sebagai berikut :

1. Prediksi jumlah penduduk tahun 2030 pada Kecamatan Kenjeran dan Sempur adalah 566.210 orang, dari prediksi pertumbuhan pelanggan PDAM sebesar 537.900 pelanggan kebutuhan air harian maksimum sebesar 192.998.620 lt/hari atau sebesar 2.234 lt/dt.
2. Dari prediksi pelanggan PDAM 2030 kebutuhan air yang terhitung dibutuhkan kapasitas reservoir baru sebesar $16881,54 \text{ m}^3$.
3. Dibuat dimensi reservoir dengan dimensi $P = 40 \text{ m}$, $L = 22,5 \text{ m}$ dan kedalaman 10 m (kedalam tanah 5m) sebanyak 2 buah reservoir dengan kapasitas tampungan reservoir sebesar $\pm 18000 \text{ m}^3$.
4. Pompa menggunakan Grundfos 98899535 10AEF16-1-17-P-M-MA-R 60 Hz (terlampir), flow pompa sebesar 474,6 lt/dt. Jumlah pompa yang digunakan adalah 6 buah secara pararel, dengan pola 5 operasi dan 1.
5. Analisa pondasi dinamis menunjukan dengan dimensi yang digunakan dari analisa vertikal, horizontal dan rocking, pada tabel dikategorikan dalam area tidak terasa (*Not Noticeable*).

6.2. Saran

1. Perlu dilakukan analisa tekanan perpipaan bisa supaya air dapat tersalurkan kepada pelanggan dengan lancar.

DAFTAR PUSTAKA

- Ananta, S. Sidartha. 2009. *Diktat Kuliah Pondasi Beban Dinamis Edisi 6.* Surabaya: Jurusan Teknik Sipil FTSP ITS.
- Arya, Suresh C., O'Neill, Michael W., And Pincus, George. 1979. *Design Of Structures And Foundations For Vibrating Machines.* Gulf Publishing Company.
- BPS (Badan Pusat Statistik) Kabupaten Surabaya. Data Penduduk Kecamatan Kenjeran dan Semampir tahun 2010-2015.
- Bambang, T. 1993. *Hidraulika II.* Yogyakarta: Beta Offet.
- Bowles, J.E. 1977. *Foundation Analysis and Design.* McGraw-Hill Book Company, chapter 20.
- Braja. M.Das. 1996. *Mekanika Tanah (Prinsip – Prinsip Rekayasa Geoteknis),* Jilid2, Erlangga, Jakarta.
- Departemen Pekerjaan Umum Direktorat Jenderal Cipta Karya (1998). *Petunjuk Teknis Perencanaan Rancangan Teknik Sistem Penyediaan Air Minum Perkotaan,* Volume V, Jakarta.
- Nadjadji Anwar. 2012. Rekayasa Sumber Daya Air, Edisi Kedua, ITS Press, Surabaya
- PDAM Surya Sembada Kota Surabaya. 2015. *Pengendalian Kualitas Air,* Surabaya.
- PDAM Surya Sembada Kota Surabaya. 2015. *Proyek Pembangunan Reservoir ,* Surabaya.

PERMEN PU NO. 18/PRT/M/2007. 2007 . *Penyelenggaraan Pengembangan Sistem Penyedia Air Minum.* Jakarta.

Phil M.F., Budianto S., dan Kris S., 1991. *Dasar - Dasar Beton Bertulang.* Versi S1 Edisi Keempat.

Prakash, Shamsher, and Puri, Vijay K. 1988. *Foundations For Machines : Analysis And Design.* John Wiley And Sons, Inc.

Richart, F.E. Jr., R.D. Woods, and J.R. Hall, 1970, *Vibration of Soil and Foundations,* Prentice-Hall, New Jersey.

Salmon, C. G., dan Wang, C. K. 1993. *Disain Beton Bertulang,* Jilid I dan II. Bandung: Erlangga.

Subbid Pemakaian Air PDAM Kota Surabaya. 2015 . *Laporan Pemakaian Air Pelanggan.* Surabaya.

Wahyudi, H. 1999. *Daya Dukung Pondasi Dalam* . Surabaya: Jurusan Teknik Sipil FTSP ITS.

BIODATA PENULIS



Penulis dengan nama lengkap Gandarjati Nur Pramartha, lahir di Pati pada 15 Maret 1993 merupakan anak pertama dari 3 bersaudara dan beralamat di Desa Winong RT 03 RW 02 Kab.Pati, Jawa Tengah. Penulis telah menempuh pendidikan formal yaitu di SD Winong 01 (1999-2005), SMP Negeri 3 Pati (2005-2008), SMA Negeri 1 Pati (2008-2011) dan D3 Teknik Sipil Universitas Diponegoro Semarang (20011-2014). Penulis selanjutnya melanjutkan jenjang pendidikan S1 Lintas Jalur di Jurusan Teknik Sipil FTSP-ITS Surabaya melalui Tes Ujian Masuk pada tahun 2011 dan terdaftar dengan NRP 3114 105 029.

Email: Gandarjati.Nur.P@gmail.com.